

การประเมินผลความถูกต้องของเครื่องวัดพลังงานไฟฟ้าอิเล็กทรอนิกส์
ด้วยวิธีการประมวลผลภาพ

ACCURACY EVALUATION OF ELECTRONIC ENERGY METERS
USING IMAGE PROCESSING



วิทยานิพนธ์นี้เป็นส่วนหนึ่งของการศึกษาตามหลักสูตร
ปริญญาวิศวกรรมศาสตร์มหาบัณฑิต สาขาวิชวกรรมไฟฟ้า
คณะวิศวกรรมศาสตร์
มหาวิทยาลัยเทคโนโลยีราชมงคลธัญบุรี
ปีการศึกษา 2555
ลิขสิทธิ์ของมหาวิทยาลัยเทคโนโลยีราชมงคลธัญบุรี

การประเมินผลความถูกต้องของเครื่องอ้างวัดพัลังงานไฟฟ้าอิเล็กทรอนิกส์ ด้วยวิธีการประมาณผลภาพ



วิทยานิพนธ์นี้เป็นส่วนหนึ่งของการศึกษาตามหลักสูตร
ปริญญาวิศวกรรมศาสตร์มหาบัณฑิต สาขาวิชาวิศวกรรมไฟฟ้า
คณะวิศวกรรมศาสตร์
มหาวิทยาลัยเทคโนโลยีราชมงคลล้านนา
ปีการศึกษา 2555
ลิขสิทธิ์ของมหาวิทยาลัยเทคโนโลยีราชมงคลล้านนา

หัวข้อวิทยานิพนธ์	การประเมินผลความถูกต้องของเครื่องวัดพลังงานไฟฟ้า อิเล็กทรอนิกส์ด้วยวิธีการประมวลผลภาพ
ชื่อ-นามสกุล	นายอธิศักดิ์ เหรียญรุ่ง ใจน์
สาขาวิชา	วิศวกรรมไฟฟ้า
อาจารย์ที่ปรึกษา	อาจารย์ฉัตรชัย ศุภพิทักษ์สกุล, Ph.D.
ปีการศึกษา	2555

บทคัดย่อ

ความผิดพลาดของเครื่องวัดพลังงานไฟฟ้า จะมีผลกระทบต่อผู้ใช้ไฟฟ้าและการไฟฟ้าส่วนภูมิภาค จึงมีความจำเป็นต้องทำการตรวจสอบความถูกต้องของเครื่องวัดพลังงานไฟฟ้า ซึ่งการไฟฟ้าส่วนภูมิภาคมีใช้วิธีตรวจสอบ ณ จุดติดตั้งอยู่ 2 วิธี คือ การใช้นาฬิกาจับเวลา r ่วมกับเครื่องวัดกำลังไฟฟ้าแบบแคลมป์ ซึ่งวิธีนี้มีความคลาดเคลื่อนสูง และการติดตั้งเครื่องวัดพลังงานไฟฟ้ามาตรฐานเปรียบเทียบ วิธีนี้ให้ความถูกต้องสูงกว่าแต่ไม่สะดวกในใช้งานและใช้เวลาการทดสอบนานจากปัญหาดังกล่าวจึงเป็นที่มาของงานวิจัย

วิทยานิพนธ์นี้นำเสนอการใช้เทคนิคการประมวลผลภาพดิจิทัลร่วมกับเครื่องวัดพลังงานไฟฟ้ามาตรฐาน โดยคำนวณค่ากำลังไฟฟ้าจริงจากเวลาการติด – ตับ ของหลอด LED ซึ่งตรวจจับจากภาพที่บันทึกได้จากกล้องเว็บแคม ด้วยเทคนิคการลบบุคคลภาพ (Subtraction) การตรวจระดับจุดเริ่มเปลี่ยน (Threshold) และอัลกอริทึมที่ออกแบบในการแปลงภาพที่บันทึกได้ มาเปรียบเทียบความถูกต้องกับค่ากำลังไฟฟ้าจริงที่บันทึกได้จากเครื่องวัดกำลังไฟฟ้ามาตรฐาน เพื่อใช้ในการประเมินผลความถูกต้องของเครื่องวัดพลังงานไฟฟ้าที่ทำการทดสอบ

ผลการทดสอบการประเมินผลความถูกต้องของเครื่องวัดพลังงานไฟฟ้า ในห้องปฏิบัติการและณ จุดติดตั้งใช้งานจริง พบว่าเทคนิคที่นำเสนอให้ผลการประเมินที่ถูกต้องที่สีกว่าเมื่อเปรียบเทียบกับวิธีการใช้นาฬิกาจับเวลา r ่วมกับแคลมป์อ่อนเพาเวอร์มิเตอร์ โดยมีค่าความคลาดเคลื่อนเฉลี่ย 0.54% เมื่อเทียบกับวิธีการติดตั้งมิเตอร์มาตรฐานเปรียบเทียบ จะให้ผลความถูกต้องใกล้เคียงกัน แต่ใช้เวลาในการตรวจสอบน้อยกว่า และมีความสะดวกในการติดตั้งทดสอบ

คำสำคัญ: เครื่องวัดพลังงานไฟฟ้าแบบอิเล็กทรอนิกส์ เทคโนโลยีการประมวลผลภาพ เครื่องวัดพลังงานไฟฟ้ามาตรฐาน

Thesis Title	Accuracy Evaluation of Electronic Energy Meters Using Image Processing Technique
Name-Surname	Mr. Atisak Rienrungrote
Program	Electrical Engineering
Thesis Advisor	Mr. Chatchai Suppitaksakul, Ph.D.
Academic Year	2012

ABSTRACT

Accuracy of energy meters directly effect to both customers and the Provincial Electricity Authority (PEA). Thus the accuracy of energy meters needs to be evaluated regularly. According to the PEA regulations, there are two methods that normally use in the evaluation: using stopwatch work with clamp-on power meter that provides some errors. Another using the standard energy meter installed at the working site compared to the meter under testing. This technique provides a good accuracy evaluation but it is inconvenient in the installation and has to spend a lot of time during the test. From these problems, it inspires to investigate a novel technique as a research.

This thesis presents a digital image processing associate with the standard power meter to calculate the real power from the LED on-off status of the energy meters. Image processing techniques, subtraction thresholding, are applied to the LED images captured from web camera and pass to the designed algorithm in order to provide the real power. Then compared to the real power obtains from the standard power meter for evaluating the energy meter under the test.

As the experimental results both in the laboratory and on installation site, it is found that the proposed method give a better accuracy than the stopwatch method with the mean error of 0.54%. In the comparing to the standard energy meter, in term of accuracy results are almost the same. However in term of testing time, it is found that the proposed method spends much less time and more convenient than the standard energy meter method.

Keywords: electronic energy meters, image processing, standard energy meter

กิตติกรรมประกาศ

วิทยานิพนธ์ฉบับนี้สำเร็จได้ด้วยความเมตตากรุณาอย่างสูงจาก ดร. นัตรชัย ศุภพิทักษ์สกุล
อาจารย์ที่ปรึกษาวิทยานิพนธ์ ดร.ไพบูลย์ รักเหลือ ประธานกรรมการสอบวิทยานิพนธ์ ดร. ณัฐภัทร
พันธ์คง กรรมการสอบวิทยานิพนธ์ รองศาสตราจารย์ ดร. ณรงค์ บวนทอง ผู้ทรงคุณวุฒิ ที่กรุณาให้
คำแนะนำ ตลอดจนให้ความช่วยเหลือแก่ไขข้อบกพร่องต่างๆ เพื่อให้วิทยานิพนธ์ฉบับนี้มีความ
สมบูรณ์ ผู้วิจัยขอขอบพระคุณเป็นอย่างสูงไว้ ณ โอกาสนี้

ขอขอบคุณผู้ทรงคุณวุฒิที่ให้ความอนุเคราะห์ประเมินรับรองงานวิจัยและให้คำแนะนำอัน
เป็นประโยชน์ในการทำวิจัย ให้มีความชัดเจน ครบถ้วนและสามารถนำไปประยุกต์ใช้งานได้จริง
และขอบคุณในเพื่อนนักศึกษามหาวิทยาลัยเทคโนโลยีราชมงคลล้านนา ที่ให้ความร่วมมือในการ
ดำเนินกิจกรรมวิจัย ได้ความสมบูรณ์ของงาน ขอบคุณบุคลากร บัณฑิตวิทยาลัยทุกคนที่เป็น
กำลังใจ และให้ความช่วยเหลือตลอดช่วงเวลาของการศึกษาและทำการวิจัย

ขอบคุณคณาจารย์ทุกท่านที่ได้ประสิทธิประสาทวิชา จนผู้วิจัยสามารถนำเสนอ
หลักการมาประยุกต์ใช้และอ้างอิงในงานวิจัยครั้นนี้

คุณค่าอันพึงมีจากวิทยานิพนธ์ฉบับนี้ ขอบคุณเพื่อนบ้านประเทศบิดา มารดา ครู อาจารย์
และผู้มีพระคุณทุกท่าน

อธิศักดิ์ เหรียญรุ่งโรจน์

สารบัญ

	หน้า
บทคัดย่อภาษาไทย.....	๑
บทคัดย่อภาษาอังกฤษ.....	๑
กิตติกรรมประกาศ	๑
สารบัญ.....	๒
สารบัญตาราง.....	๗
สารบัญภาพ.....	๘
บทที่	
1 บทนำ	1
1.1 ความสำคัญและที่มาของวิทยานิพนธ์	1
1.2 วัตถุประสงค์.....	3
1.3 ขอบเขตของวิทยานิพนธ์	4
1.4 ขั้นตอนและวิธีการดำเนินงาน	4
1.5 ประโยชน์ที่คาดว่าจะได้รับ	5
2 ทฤษฎีและงานวิจัยที่เกี่ยวข้อง	6
2.1 ทฤษฎีที่เกี่ยวข้อง	6
2.2 งานวิจัยและเทคนิคที่เกี่ยวข้อง.....	21
2.3 วิธีการใช้นาฬิกาจับเวลาร่วมกับแคล้มป้อนเพาเวอร์มิเตอร์	22
2.4 วิธีการติดตั้งเครื่องวัดพลังงานเบรียบเที่ยบ	24
2.5 การตรวจจับการทำงานของเครื่องวัดพลังงานไฟฟ้าแบบอิเล็กทรอนิกส์	25
2.6 แผนภาพของการทำงานวิจัย (Flow Chart)	27
2.7 บทสรุป	28
3 วิธีดำเนินการวิจัย.....	29
3.1 การศึกษาความเป็นไปได้ในการใช้งานกล้องดิจิทัลจับภาพเพื่อนับค่าเวลา	31
3.2 การใช้อัลกอริทึมในการวิเคราะห์ประมวลผลค่าเวลา.....	35
3.3 การทดสอบการทำงานหลอด LED1 ของเครื่องวัดพลังงานไฟฟ้าแบบอิเล็กทรอนิกส์ ร่วมกับเครื่องวัดพลังงานไฟฟ้ามาตรฐาน	38

สารบัญ (ต่อ)

บทที่	หน้า
3.4 การทดสอบวิธีการประมวลผลภาพ โดยการป้อนโหลดที่ทราบค่า ซึ่งวัดค่าด้วยเครื่องวัดพลังงานไฟฟ้ามาตรฐานผ่านเครื่องวัดค่าพลังงานไฟฟ้าแบบอิเล็กทรอนิกส์....	41
3.5 การทดลองให้ผู้ปฏิบัติใช้งานวิธีการประมวลผลภาพ ประเมินผลความถูกต้องของเครื่องวัดพลังงานไฟฟ้าแบบอิเล็กทรอนิกส์.....	42
3.6 การวิเคราะห์และสรุปผลการตรวจสอบเครื่องวัดพลังงานไฟฟ้าแบบอิเล็กทรอนิกส์	45
3.7 บทสรุป.....	45
4 วิเคราะห์ผลการทดสอบ	46
4.1 การทดสอบในห้องปฏิบัติการ	46
4.2 การทดสอบกับเครื่องวัดพลังงานไฟฟ้านั่นที่ติดตั้งใช้งานจริง.....	57
4.3 สรุปผล.....	65
5 สรุปผลการวิจัยและข้อเสนอแนะ	66
5.1 สรุปผลการวิจัย	66
5.2 ปัญหา อุปสรรค ในการทำวิจัย	66
5.3 ข้อเสนอแนะในการทำวิจัย	67
รายการอ้างอิง.....	68
ภาคผนวก.....	69
ภาคผนวก ก รายละเอียดคุณสมบัติเครื่องวัดทางไฟฟ้า	70
ภาคผนวก ข ผลงานตีพิมพ์เผยแพร่	82
ประวัติผู้เขียน	98

สารบัญตาราง

ตารางที่	หน้า
4.1 การทดสอบค่าเวลาการกระแสไฟของหลอด LED1 ของเครื่องวัดพลังงานไฟฟ้าแบบอิเล็กทรอนิกส์ด้วยโหลดที่มีค่าตัวประกอบกำลังต่างกัน	48
4.2 การพิจารณาผลลัพธ์ของการลบจุดภาพในสถานะต่างๆ.....	50
4.3 ผลการทดสอบช่วงการทำงานของหลอด LED1 ใน 1 รอบการทำงาน	52
4.4 การทดสอบอัลกอริทึมในการประมวลผลค่าเวลา.....	53
4.5 ผลการทดสอบการแปลงค่าเวลาที่บันทึกได้เป็นค่ากำลังไฟฟ้าจริง.....	53
4.6 การทดสอบค่าเวลาการทำงานของหลอด LED1 เปรียบเทียบกับเครื่องวัดพลังงานไฟฟ้ามาตรฐาน	54
4.7 ผลการทดสอบใช้วิธีการประมวลผลภาพดิจิทัลประเมินผลความถูกต้องเครื่องวัดพลังงานไฟฟ้าแบบอิเล็กทรอนิกส์เปรียบเทียบกับเครื่องวัดพลังงานไฟฟ้ามาตรฐาน.....	56
4.8 ผลการประเมินผลความถูกต้องของเครื่องวัดพลังงานไฟฟ้าแบบอิเล็กทรอนิกส์ด้วยวิธีการประมวลผลภาพกับวิธีการจับเวลา.r' ร่วมกับแคล้มป้ออนเพาเวอร์มิเตอร์เปรียบเทียบกับเครื่องวัดพลังงานไฟฟ้ามาตรฐาน	62
4.9 ผลการประเมินผลความถูกต้องของเครื่องวัดพลังงานไฟฟ้าแบบอิเล็กทรอนิกส์ผลิตภัณฑ์ Actaris ด้วยวิธีการประมวลผลภาพกับวิธีการจับเวลา.r' ร่วมกับแคล้มป้ออนเพาเวอร์มิเตอร์เปรียบเทียบกับเครื่องวัดพลังงานไฟฟ้ามาตรฐาน	64

สารบัญภาพ

ภาพที่	หน้า
2.1 โครงสร้างและหลักการทำงานของเครื่องวัดพลังงานไฟฟ้า 1 เฟส แบบเหนี่ยวนำ.....	7
2.2 เครื่องวัดพลังงานไฟฟ้า 1 เฟส 2 สาย	8
2.3 เครื่องวัดพลังงานไฟฟ้า 1 เฟส 2 สายประกอบหม้อแปลงกระแสแรงต่ำ.....	8
2.4 เครื่องวัดพลังงานไฟฟ้า 3 เฟส 4 สาย	9
2.5 เครื่องวัดพลังงานไฟฟ้า 3 เฟส 4 สาย ประกอบหม้อแปลงกระแสแรงต่ำ.....	9
2.6 เครื่องวัดพลังงานไฟฟ้า 3 เฟส 3 สาย ประกอบหม้อแปลงกระแสแรงสูง	10
2.7 มิเตอร์ไฟฟ้าแบบอิเล็กทรอนิกส์.....	11
2.8 มิเตอร์ไฟฟ้าแบบผสมผสาน	11
2.9 วงจรการต่อสายเครื่องวัดพลังงานไฟฟ้าในระบบ 1 เฟส 2 สาย	12
2.10 การวัดกำลังไฟฟ้าโดยใช้เครื่องวัดพลังงานไฟฟ้า 3 เครื่องและเวกเตอร์ไ/dozeagram	13
2.11 การใช้เครื่องวัดพลังงานไฟฟ้า 2 เครื่อง ต่อวัดกำลังไฟฟ้า 3 เฟส	14
2.12 การคิดค่ากิโลวัตต์เฉลี่ย.....	16
2.13 การแปลงภาพແອນະລືອກໃຫ້ເປັນກາພົດຈິກທັດ	17
2.14 ระบบการประมวลผลກາພົດຈິກທັດ	18
2.15 ກາພແບບ RGB.....	18
2.16 ກາພແບບ Gray scale หรือກາພຣະດັບສີເຫາ	19
2.17 ກາພແບບ Binary หรือກາພຂາ-ດຳ	19
2.18 การแปลงພາຈາກກາພສີເຫາໃຫ້ເປັນກາພສີຂາວດຳ	20
2.19 การໃໝ່ນຳພາຈັນເວລາຮ່ວມກັນແຄດນິນປຶອນເພງເວອຣີມີເຕອວ໌	22
2.20 การຕິດຕັ້ງເຄື່ອງວັດພັດງານไฟฟ້າເປີຍບໍ່ເຖິງ	24
2.21 การຕ່ອງຈາກເຄື່ອງວັດພັດງານไฟฟ້າມາຕຽບ	26
2.22 ຂັ້ນຕອນການທຳມານີ້.....	27
3.1 ບລືອກໄໂດ້ແກຣມກະບວນການປະເມີນພົດກາວມຄຸກຕ້ອງຂອງເຄື່ອງວັດພັດງານไฟฟ້າ.....	29
3.2 ບລືອກໄໂດ້ແກຣມການປະເມີນພົດກາພົດຈິກທັດ (Image Processing).....	30
3.3 ກດືອງດິທິທັດພົດກົມທີ ANITECH ຮູນ IR160	31
3.4 ເຄື່ອງວັດພັດງານไฟຟັ້ນພົດກົມທີ EDMi ຮູນ Mk6N	32
3.5 ຕຳແໜ່ງບັນທຶກການທຳມານຂອງເຄື່ອງວັດ	33

สารบัญภาพ (ต่อ)

ภาพที่	หน้า
3.6 การทำงานใน 1 รอบของหลอด LED1 ที่บันทึกได้.....	34
3.7 การแปลงภาพสี RGB เป็นภาพระดับสีเทา	36
3.8 การลบจุดภาพในระดับภาพสีเทา.....	36
3.9 การตรวจระดับจุดเริ่มเปลี่ยนความสว่างของภาพ	37
3.10 การจับลำดับภาพ	37
3.11 เครื่องวัดพลังงานไฟฟ้ามาตรฐานผลิตภัณฑ์ DRANETZ รุ่น PV 440	39
3.12 การติดตั้งเครื่องวัดพลังงานไฟฟ้าแบบอิเล็กทรอนิกส์บนแผงทดสอบ	40
3.13 การติดตั้งหลอดอินแคนเดสเซ็นต์บนแผงทดสอบ	40
3.14 การทดสอบการทำงานของหลอด LED1	41
3.15 การปรับตั้งค่าโปรแกรมการวัดของเครื่องวัดพลังงานไฟฟ้ามาตรฐาน	41
3.16 การประยุกต์ใช้เทคโนโลยีการประมวลผลภาพตรวจสอบเครื่องวัดพลังงานไฟฟ้าแบบ อิเล็กทรอนิกส์.....	42
3.17 การวัดกำลังไฟฟ้าจริงด้วยแคล้มปืืออนเพาเวอร์มิเตอร์	43
3.18 การวัดค่าเวลาและคำนวนค่ากำลังไฟฟ้าจริงจาก LED1	43
3.19 แบบฟอร์มการประเมินผลความถูกต้องของเครื่องวัดพลังงานไฟฟ้า	44
4.1 การรับภาพสีแปลงเป็นภาพระดับสีเทา.....	47
4.2 การบันทึกภาพด้วยกล้องดิจิทัลบริเวณหลอด LED1	47
4.3 ระดับสีเทาเป็นอาร์เรย์ 1 มิติ	47
4.4 เปรียบเทียบความสัมพันธ์ระหว่างค่าเวลาการกระพริบของหลอด LED1 กับค่า กำลังไฟฟ้าจริง โดยใช้โหลดที่มีเพาเวอร์แฟกเตอร์ต่างกัน 2 ประเภท	49
4.5 การพิจารณาระดับความสว่างของจุดภาพ	51
4.6 การทดสอบระดับจุดเปลี่ยนภาพ.....	51
4.7 การวัดกำลังไฟฟ้าจริงเฟส A ด้วยแคล้มปืืออนเพาเวอร์มิเตอร์.....	57
4.8 การวัดกำลังไฟฟ้าจริงเฟส B ด้วยแคล้มปืืออนเพาเวอร์มิเตอร์	58
4.9 การวัดกำลังไฟฟ้าจริงเฟส C ด้วยแคล้มปืืออนเพาเวอร์มิเตอร์	58
4.10 การวัดค่าเวลาด้วยนาฬิกาจับเวลา	59
4.11 การคำนวนค่ากำลังไฟฟ้าจริงจากการจับเวลาจาก LED1	59

สารบัญภาพ (ต่อ)

ภาพที่	หน้า
4.12 แบบฟอร์มการประเมินผลความถูกต้องเครื่องวัดพลังงานไฟฟ้า	60
4.13 การใช้เทคโนโลยีประมวลผลภาพประเมินผลความถูกต้องเครื่องวัดพลังงานไฟฟ้า	61
4.14 การใช้อัลกอริทึมประมวลผลภาพความถูกต้องเครื่องวัดพลังงานไฟฟ้า.....	61
4.15 จุดติดตั้งกล้องดิจิทัลบนทึกภาพหลอด LED.....	63
4.16 การติดตั้งกล้องดิจิทัลกับเครื่องวัดพลังงานไฟฟ้าแบบอิเล็กทรอนิกส์ผลิตภัณฑ์ Actaris	63
4.17 การใช้เทคโนโลยีประมวลผลภาพประเมินผลความถูกต้องเครื่องวัดพลังงานไฟฟ้า แบบอิเล็กทรอนิกส์ผลิตภัณฑ์ Actaris	64



บทที่ 1

บทนำ

1.1 ความสำคัญและที่มาของวิทยานิพนธ์

พลังงานไฟฟ้าที่ผู้ใช้ไฟใช้ในการดำเนินชีวิต หรือประกอบกิจกรรมต่างๆ นั้น จะมีเครื่องวัดพลังงานไฟฟ้า (Energy Meter) เป็นเครื่องมือสำหรับใช้บันทึกปริมาณพลังงานไฟฟ้าที่ผู้ใช้ไฟฟ้าบริโภคไปอย่างไร ค่าตามหากเครื่องวัดพลังงานไฟฟ้าทำงานไม่ถูกต้อง จะส่งผลต่อการคำนวณค่าพลังงานไฟฟ้าไม่ถูกต้อง เช่นกัน ซึ่งก่อให้เกิดผลกระทบโดยตรงต่อผู้ใช้ไฟฟ้าและองค์กรขาดความน่าเชื่อถือได้ว่าเครื่องวัดพลังงานไฟฟ้าเป็นอุปกรณ์ที่มีความสำคัญอย่างยิ่งในการใช้ไฟฟ้าจึงต้องมีการตรวจสอบเครื่องวัดพลังงานไฟฟ้า โดยวิธีการตรวจสอบเครื่องวัดพลังงานไฟฟ้าที่จุดติดตั้งหน้างานมี 2 วิธีการ คือ วิธีการใช้นาฬิกาจับเวลา ร่วมกับแคล้มป้อนบนเพาเวอร์มิเตอร์ [1] ซึ่งวิธีนี้ทำได้สะดวก รวดเร็ว แต่มีความคลาดเคลื่อนสูงจากการจับเวลาและการตรวจสอบขณะโหลดเปลี่ยนแปลง ส่วนวิธีการติดตั้งเครื่องวัดพลังงานไฟฟ้ามาตรฐานเบรียบเทียบ [2] วิธีการนี้ให้ผลการทดสอบที่ถูกต้องกว่า แต่ใช้เวลาในการทดสอบนาน

ทั้งนี้การไฟฟ้าส่วนภูมิภาคเมืองพัทยาได้มีแผนงานตรวจสอบความถูกต้องของเครื่องวัดพลังงานไฟฟ้าทุกเครื่อง โดยมีผู้ใช้ไฟจำนวน 116,000 รายแบ่งเป็นผู้ใช้ไฟรายย่อยจำนวน 113,500 ราย และผู้ใช้ไฟรายใหญ่จำนวน 2,500 ราย ซึ่งระดับความรุนแรงของปัญหาเครื่องวัดพลังงานไฟฟ้าทำงานไม่ถูกต้องสำหรับผู้ใช้ไฟรายใหญ่สูงกว่าผู้ใช้ไฟรายย่อยมาก และส่วนใหญ่ เครื่องวัดพลังงานไฟฟ้าที่ติดตั้งให้กับผู้ใช้ไฟรายใหญ่จะเป็นแบบอิเล็กทรอนิกส์ซึ่งการตรวจสอบเครื่องวัดพลังงานไฟฟ้าสามารถทำได้ดังนี้

1.1.1 วิธีการติดตั้งเครื่องวัดพลังงานไฟฟ้ามาตรฐานเบรียบเทียบ [2]

วิธีการนี้จะใช้เครื่องวัดพลังงานไฟฟ้ามาตรฐานที่มีคุณลักษณะเหมือนกันกับเครื่องวัดพลังงานไฟฟ้าที่ถูกเทียบ เช่น ชนิด ขนาด จำนวนเฟส รอบต่อวินาที ความแม่นยำ เป็นต้น โดยมาต่ออนุกรมกันซึ่งเครื่องวัดพลังงานไฟฟ้าสามารถแบ่งตามลักษณะการวัดคือ เครื่องวัดพลังงานไฟฟ้าที่วัดค่าโดยตรง (Direct Energy Meters) และเครื่องวัดพลังงานไฟฟ้าที่วัดค่าทางอ้อม (Indirect Energy Meters) การติดตั้งเบรียบเทียบจะใช้เวลา 24 ชั่วโมง จากนั้นนำค่าพลังงานที่วัดได้ทั้ง 2 เครื่อง มาเบรียบเทียบกันหากผลการประเมินอยู่ในช่วง $\pm 2.5\%$ ถือว่าเครื่องวัดพลังงานไฟฟ้าที่ถูกเบรียบเทียบ

อยู่ในเกณฑ์ปกติสำหรับวิธีการติดตั้งเครื่องวัดพลังงานไฟฟ้ามาตรฐานเปรียบเทียบมีข้อดี และข้อเสียดังนี้

1) ข้อดี

1. วิเคราะห์ผลการตรวจสอบได้่ายมีการคำนวณไม่ซับซ้อนเห็นผลชัดเจน
2. เครื่องมือที่ใช้เพียงเครื่องวัดพลังงานไฟฟ้ามาตรฐานเพียงอย่างเดียว

2) ข้อเสีย:

1 ต้องมีการตัดกระแสไฟฟ้าระหว่างการติดตั้งเครื่องวัดพลังงานไฟฟ้าเปรียบเทียบสำหรับเครื่องวัดพลังงานวัดค่าโดยตรง (Direct Energy Meters) ทำให้ต้องหยุดการทำงานของอุปกรณ์ไฟฟ้าเพื่อความปลอดภัยของผู้ปฏิบัติและอุปกรณ์ไฟฟ้า

2. หากเป็นมิเตอร์วัดค่าแบบทางอ้อม (Indirect Energy Meter) ต้องต่อวงจรสายคอนโทรลใหม่แต่ไม่ตัดไฟฟ้า ซึ่งต้องใช้ความระมัดระวังเกิดความไม่ปลอดภัยในการทำงาน

3. ต้องใช้พื้นที่ในการติดตั้งเครื่องวัดพลังงานไฟฟ้าเปรียบเทียบ
4. ใช้เวลาในการเปรียบเทียบไม่เป็นเวลา 24 ชั่วโมง ทำให้ทราบผลการตรวจสอบช้า
5. เสียบุคลากรในการทำงานต้องกลับมาปลดเก็บเครื่องวัดพลังงานเปรียบเทียบ
6. ต้องติดตั้งเครื่องวัดพลังงานไฟฟ้ามาตรฐานเท่ากับจำนวนงานในแต่ละวัน
7. ผู้ใช้ไฟต้องเสียค่าใช้จ่ายในการติดตั้งเครื่องวัดพลังงานเปรียบเทียบ
8. ไม่สามารถตรวจสอบการละเมิดลิททรีที่ไม่ได้กระทำการกับตัวเครื่องวัดได้

1.1.2 วิธีการใช้นาฬิกาจับเวลาร่วมกับแคล้มป้อนเพาเวอร์มิเตอร์ [1]

วิธีการวัดรอบการทำงานของเครื่องวัดพลังงานไฟฟ้า โดยการใช้นาฬิกาจับเวลาของงานหมุนหรืองานเที่ยงของเครื่องวัดพลังงานไฟฟ้า โดยใช้นาฬิกาจับเวลาเป็นตัววัดความเร็วรอบของเครื่องวัดพลังงานไฟฟ้าและเปรียบเทียบด้วยแคล้มป้อนเพาเวอร์มิเตอร์ ซึ่งเป็นวิธีการที่ง่ายและรวดเร็วกว่าวิธีการติดตั้งเครื่องวัดพลังงานไฟฟ้ามาตรฐานเปรียบเทียบ แต่พบว่าผลการตรวจสอบมีความคลาดเคลื่อนสาเหตุเนื่องจาก

- 1) โหลดมีการเปลี่ยนแปลงขณะตรวจสอบ และการควบคุมโหลดของผู้ใช้ไฟทำได้ยาก
- 2) การใช้แคล้มป้อนเพาเวอร์มิเตอร์แบบ 1 เพส ตรวจสอบเครื่องวัดพลังงานไฟฟ้า 3 เพส
- 3) ความแม่นยำของแคล้มป้อนเพาเวอร์มิเตอร์
- 4) ความแม่นยำในการจับเวลา

5) ความพร้อมเพรียงกันในการจับเวลาและวัดค่าพลังงานด้วยแคล้มอนเพาเวอร์มิเตอร์

6) ความละเอียดของนาฬิกาจับเวลา

7) การคำนวณค่าความคลาดเคลื่อนผิดพลาด

การวัดรอบการทำงานของมิเตอร์ไฟฟ้า แบ่งออกตามลักษณะงานหมุนของมิเตอร์สามารถแบ่งออกเป็น 3 ประเภท ได้แก่

1) มิเตอร์ไฟฟ้าแบบเหนี่ยวนำ (Induction Energy Meters) จะมีงานหมุนแบบสีดำเป็นจุดสังเกตการทำงานติดตั้งให้กับผู้ใช้ไฟฟารายอย่างที่ใช้กระแสไฟฟ้าตั้งแต่ขนาด 5 แอมป์ 1 เฟส ไปจนถึงขนาด 30 แอมป์ 3 เฟส

2) มิเตอร์ไฟฟ้าแบบอิเล็กทรอนิกส์ (Electronic Energy Meters) จะแสดงการทำงานด้วยหลอดแอลอีดี หรือเป็นหน้าจอ แอลซีดี (LCD Display) มีจุดบรรทัดติดตั้งให้กับผู้ใช้ไฟฟ้าได้ทุกประเภท

3) มิเตอร์แบบไฮบริด (Hybrid Energy Meters) เป็นมิเตอร์ที่แสดงผลได้ทั้งสองแบบข้างต้น

การทำงานของมิเตอร์ไฟฟ้าจะแสดงผลแตกต่างกันออกไป เนื่องจากมิเตอร์ไฟฟ้าที่มิใช้งานมีมากหลายประเภท หลายผลิตภัณฑ์ซึ่งในปัจจุบันการพัฒนาและออกแบบมิเตอร์ไฟฟ้าเพื่อใช้งานในอนาคตเป็นมิเตอร์แบบอิเล็กทรอนิกส์ทั้งหมด เพื่อรับรับเทคโนโลยีใหม่ๆ ที่จะเกิดขึ้นในวิจัยนี้จึงนำเสนอ การตรวจสอบมิเตอร์ไฟฟ้าแบบอิเล็กทรอนิกส์ด้วยวิธีการประมวลผลภาพ ซึ่งให้ผลการตรวจสอบที่ถูกต้อง แม่นยำ สะดวกและรวดเร็กว่าวิธีการที่ใช้อยู่เดิมเพื่อเป็นการพัฒนาการตรวจสอบมิเตอร์ไฟฟ้า โดยการนำภาพที่จับได้จากกล้องเว็บแคมประมวลผลโดยการทำ Thresholding และใช้เทคนิคการทำ Subtractions ใน การประมวลผลภาพ และใช้อัลกอริทึมแปลงค่าที่ได้เป็นค่าพลังงานไฟฟ้าที่ใช้จริง เพื่อเป็นค่าเปรียบเทียบกับเครื่องมือวัดพลังงานทางไฟฟ้า และประมวลผลค่าความคลาดเคลื่อนของเครื่องวัดพลังงานไฟฟ้าที่ทำการตรวจสอบ

1.2 วัตถุประสงค์

1.2.1 เพื่อศึกษาหลักการทำงาน การวัดค่าพลังงานไฟฟ้า และการคำนวณค่ากำลังไฟฟ้าของเครื่องวัดพลังงานไฟฟ้าแบบต่างๆ

1.2.2 เพื่อศึกษาวิธีการประเมินผลความถูกต้องของเครื่องวัดพลังงานไฟฟ้าที่มิใช้ในปัจจุบัน

1.2.3 เพื่อศึกษาวิธีการประเมินผลความถูกต้องที่เหมาะสมกับเครื่องวัดพลังงานไฟฟ้าที่ติดตั้งใช้งานจริง

1.2.4 เพื่อพัฒนาวิธีการตรวจสอบเครื่องวัดพลังงานไฟฟ้าแบบอิเล็กทรอนิกส์ได้ถูกต้องปลอดภัย และเพิ่มความน่าเชื่อถือต่อผู้ใช้ไฟฟ้า

1.3 ขอบเขตของวิทยานิพนธ์

1.3.1 รวบรวมข้อมูลวิธีการตรวจวัดประเมินผลความถูกต้องของเครื่องวัดพลังงานไฟฟ้าที่มิใช้อยู่ในปัจจุบัน

1.3.2 สามารถใช้กล้องดิจิทัลจับค่าเวลาจากภาพการทำงานของเครื่องวัดพลังงานไฟฟ้าแบบอิเล็กทรอนิกส์ที่บันทึกได้

1.3.2 สามารถใช้เทคนิคการประมวลผลภาพมาวิเคราะห์และรายงานผลความถูกต้องของเครื่องวัดพลังงานไฟฟ้าแบบอิเล็กทรอนิกส์โดยเปรียบเทียบกับเครื่องมือวัดพลังงานไฟฟ้ามาตรฐานของการไฟฟ้าส่วนภูมิภาคได้

1.3.4 เทคนิคการประมวลผลภาพดิจิทัลสามารถประเมินผลความถูกต้องโดยมีค่าความผิดพลาดไม่เกิน $\pm 2.5\%$

1.4 ขั้นตอนและวิธีการดำเนินงาน

1.4.1 ศึกษาหลักการทำงานการตรวจวัดพลังงานไฟฟ้าและรวบรวมวิธีการประเมินผลความถูกต้องของเครื่องวัดพลังงานไฟฟ้าแบบต่างๆ

1.4.2 คัดเลือกวิธีการตรวจวัด เพื่อประเมินผลความถูกต้องของเครื่องวัดพลังงานไฟฟ้าแบบอิเล็กทรอนิกส์

1.4.3 ทดสอบความถูกต้องของเทคนิคการประมวลผลภาพดิจิทัล

1.4.4 เก็บค่าที่บันทึกได้จากเครื่องวัดพลังงานไฟฟ้ามาตรฐาน และวิธีการประมวลผลภาพดิจิทัล

1.4.5 วิเคราะห์และสรุปผลการตรวจสอบเครื่องวัดพลังงานไฟฟ้าแบบอิเล็กทรอนิกส์ด้วยวิธีการประมวลผลภาพ

1.5 ประโยชน์ที่คาดว่าจะได้รับ

1.5.1 ได้วิธีการประเมินผลความถูกต้องเครื่องวัดพัลส์งานไฟฟ้าแบบอิเล็กทรอนิกส์ที่มีความถูกต้องมากขึ้น

1.5.2 เพิ่มความปลอดภัย ความสะดวก รวดเร็ว ในการปฏิบัติงานตรวจสอบประเมินผลการทำงานของเครื่องวัดพัลส์งานไฟฟ้า

1.5.3 สร้างความมั่นใจและความน่าเชื่อถือให้กับผู้ใช้ไฟฟ้า



บทที่ 2

ทฤษฎีและงานวิจัยที่เกี่ยวข้อง

เนื้อหาในบทนี้นำเสนอทฤษฎีและงานวิจัยที่เกี่ยวกับเครื่องวัดพลังงานไฟฟ้า การประเมินผลค่าความถูกต้องด้วยเทคนิค วิธีการต่างๆ และการนำเทคโนโลยีประมวลผลภาพดิจิทัลมาประยุกต์ใช้ตรวจสอบความถูกต้องของเครื่องวัดพลังงานไฟฟ้าเพื่อความปลอดภัยและความน่าเชื่อถือในการทำงาน สามารถใช้ประเมินผล จุดติดตัว ใช้งานเครื่องวัด และเพื่อพัฒนาแนวทางการตรวจสอบมิเตอร์ไฟฟ้าให้มีความถูกต้องยิ่งขึ้น

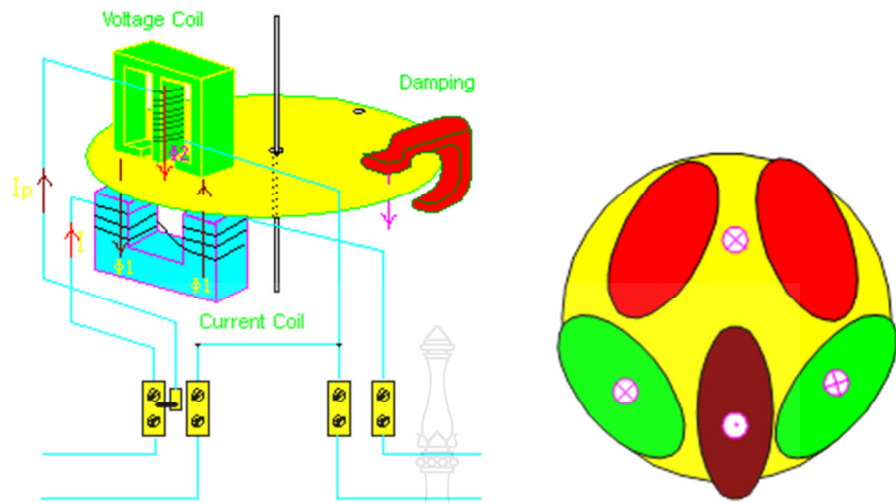
ทฤษฎีได้กล่าวถึงหลักการทำงานของเครื่องวัดพลังงานไฟฟ้าของเครื่องวัดพลังงานไฟฟ้าแบบต่างๆ

2.1 ทฤษฎีที่เกี่ยวข้อง

2.1.1 กิโลวัตต์ชั่วโมงหรือเครื่องวัดพลังงานไฟฟ้า [3]

เครื่องวัดพลังงานไฟฟ้าส่วนใหญ่เป็นเครื่องวัดที่ทำงานด้วยการเหนี่ยวนำไฟฟ้าถูกสร้างขึ้นมาเพื่อวัดปริมาณกำลังไฟฟ้ากระแสสลับทั้งในบ้านเรือนและในโรงงานอุตสาหกรรมโดยมีหน่วยวัดพลังงานไฟฟ้าเป็นกิโลวัตต์ชั่วโมง (Kilowatt Hour) สามารถจำแนกตามโครงสร้างได้ 3 ประเภท ดังนี้ เครื่องวัดพลังงานไฟฟ้าแบบเหนี่ยวนำ (Induction Watt Hour Meters) เครื่องวัดพลังงานไฟฟ้าแบบอิเล็กทรอนิกส์ (Electronic Watt Hour Meters) และเครื่องวัดพลังงานไฟฟ้าแบบผสมผสาน (Hybrid Watt Hour Meters)

1) เครื่องวัดพลังงานไฟฟ้าแบบเหนี่ยวนำ (Induction Watt Hour Meters) มีหลักการทำงานเหมือนกับเครื่องวัดค่าทางไฟฟ้าชนิดที่ทำงานด้วยการเหนี่ยวนำโดยมีส่วนประกอบที่เหมือนกันคือ ชุด漉คกระแสงไฟฟ้า (Current Coil) และชุด漉แครงดันไฟฟ้า (Potential Coil) ส่วนที่แตกต่างกันก็คือ ในเครื่องวัดค่าทางไฟฟ้าจะแสดงค่าด้วยการบ่ายเบนของเข็มซึ่งใช้ชี้ก้านสเกลส่วนเครื่องวัดพลังงานไฟฟ้าจะแสดงค่าโดยใช้แม่เหล็กเหนี่ยวนำให้เกิดกระแสงไฟหวานทำให้箭หนาปิดเพื่อไปขับชุดตัวเลขหรือชุดเข็มซึ่งให้แสดงค่าอุกมานหน้าปัด



ภาพที่ 2.1 โครงสร้างและหลักการทำงานของเครื่องวัดพลังงานไฟฟ้า 1 เฟส แบบเหนี่ยวแน่น [3]

โครงสร้างดังภาพที่ 2.1 ประกอบด้วย ชุด漉กระ射ต่ออนุกรมกับโหลดและชุด漉ด แรงดันต่อขานานกับโหลดชุด漉ดทั้งสองชุดจะพันอยู่บนแกนเหล็กที่ออกแบบโดยเฉพาะและมีจานอะลูมิเนียมบางๆ ยึดติดกับแกนหมุนวางแผนอยู่ในช่องว่างระหว่างชุด漉ดทั้งสอง

หลักการทำงานของเครื่องวัดพลังงานไฟฟ้าแบบเหนี่ยวแน่นนำชุด漉กระ射และชุด漉ด แรงดันทำหน้าที่สร้างสนามแม่เหล็กส่งผ่านไปยังจานอะลูมิเนียมที่วางอยู่ระหว่างชุด漉ดทั้งสองทิศทางที่เกิดขึ้นเป็นไปตามกฎมือซ้ายของเฟลมมิง ทำให้แผ่นโลหะตัวนำเกิดการเคลื่อนที่รอบแกนหมุนแรงบิดที่เกิดขึ้นเป็นปฏิกิริยาโดยตรงกับกำลังไฟฟ้าที่ไหลผ่านมิตอร์ไปยังโหลดทำให้เกิดแรงดันไฟฟ้าเหนี่ยวแน่นและมีกระแสไฟ流วน (Eddy Current) เกิดขึ้นในจานอะลูมิเนียมแรงด้านระหว่างกระแสไฟ流วนและสนามแม่เหล็กของชุด漉ดแรงดันจะทำให้เกิดแรงผลักขึ้นจากอะลูมิเนียมจึงหมุนไปได้ที่แกนของจานอะลูมิเนียมจะมีเพียงติดอยู่เพื่อนี้จะไปขับชุดตัวเลขที่หน้าปัดของเครื่องวัดแรงผลักที่เกิดขึ้นจะเป็นสัดส่วนระหว่างความเข้มของสนามแม่เหล็กของชุด漉ดแรงดันและกระแสไฟ流วนในจานอะลูมิเนียมและขึ้นอยู่กับจำนวนรอบของชุด漉ดด้วยส่วนจำนวนรอบการหมุนของจานอะลูมิเนียมขึ้นอยู่กับการใช้พลังงานไฟฟ้าของโหลดเครื่องวัดพลังงานไฟฟ้าแบบเหนี่ยวแน่นสามารถแบ่งได้หลายชนิด ดังนี้

1. เครื่องวัดพลังงานไฟฟ้า 1 เฟส 2 สาย (Single Phase Watt-Hour Meters)



ภาพที่ 2.2 เครื่องวัดพลังงานไฟฟ้า 1 เฟส 2 สาย

2. เครื่องวัดพลังงานไฟฟ้า 1 เฟส 2 สายประกอบหม้อแปลงกระแสแรงต่ำ (Single Phase Watt-Hour Meters with Low Voltage Current Transformer)



ภาพที่ 2.3 เครื่องวัดพลังงานไฟฟ้า 1 เฟส 2 สายประกอบหม้อแปลงกระแสแรงต่ำ

3. เครื่องวัดพลังงานไฟฟ้า 3 เฟส 4 สาย (Three Phases Four Wires Watt-Hour Meters)



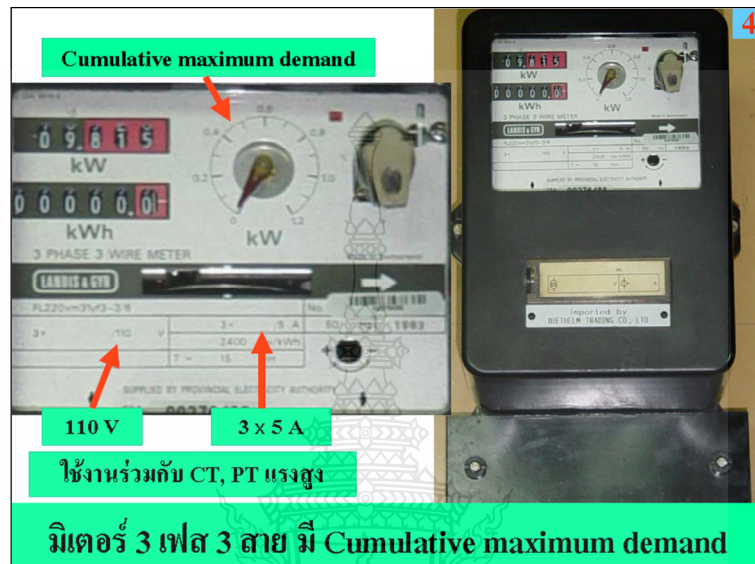
ภาพที่ 2.4 เครื่องวัดพลังงานไฟฟ้า 3 เฟส 4 สาย

4. เครื่องวัดพลังงานไฟฟ้า 3 เฟส 4 สาย ประกอบหม้อแปลงกระแสแรงต่ำ (Three Phases Four Wires Watt-Hour Meters with Low Voltage Current Transformer)



ภาพที่ 2.5 เครื่องวัดพลังงานไฟฟ้า 3 เฟส 4 สาย ประกอบหม้อแปลงกระแสแรงต่ำ

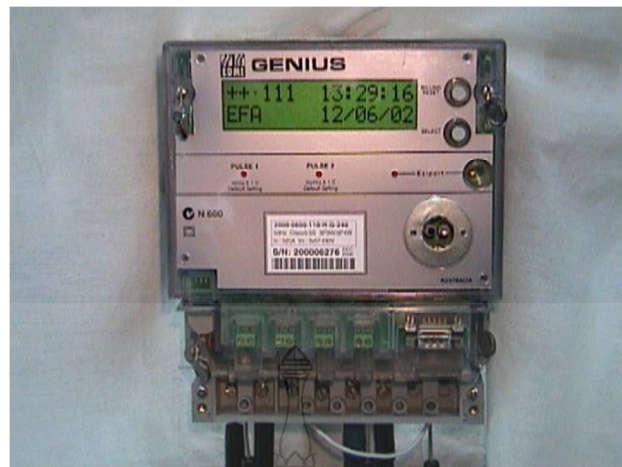
5. เครื่องวัดพลังงานไฟฟ้า 3 เฟส 3 สาย ประกอบหม้อแปลงกระแสแรงสูง (Three Phases Three Wires Watt-Hour Meters with High Voltage Current Transformer and Potential Transformer)



ภาพที่ 2.6 เครื่องวัดพลังงานไฟฟ้า 3 เฟส 3 สาย ประกอบหม้อแปลงกระแสแรงสูง

2) เครื่องวัดพลังงานไฟฟ้าแบบอิเล็กทรอนิกส์ [3] การพัฒนาเครื่องวัดพลังงานไฟฟ้าในปัจจุบันส่วนใหญ่จะเป็นเครื่องวัดพลังงานแบบดิจิทัล เนื่องจากมีข้อดีหลายประการเมื่อเทียบกับชนิดแอนะล็อก เช่น ในด้านความเร็ว ความเที่ยงตรง ความละเอียด ลดความผิดพลาดของผู้ใช้ มีฟังก์ชันต่างๆ ให้เลือกมาก มีระบบป้องกันวงจรภายในดี มีค่าความต้านทานภายในพุทธสูงไม่โหลดวงจร

การทำงานของเครื่องวัดพลังงานไฟฟ้าแบบอิเล็กทรอนิกส์มีส่วนประกอบการทำงานดังต่อไปนี้ แหล่งจ่ายไฟหลัก แหล่งจ่ายไฟสำรองส่วนการตรวจวัดแรงดันและกระแส วงจรประมวลผลรวม หน่วยความจำ และหน่วยควบคุม ซึ่งหน่วยควบคุมจะเป็นตัวสื่อสารระหว่างวงจรประมวลผลรวมกับหน่วยความจำ ควบคุมจอแสดงผล LCD และสร้างสัญญาณพัลส์ออกทาง LED ที่สัมพันธ์กับค่ากำลังไฟฟ้าที่โหลดผ่านเครื่องวัด



ภาพที่ 2.7 มิเตอร์ไฟฟ้าแบบอิเล็กทรอนิกส์

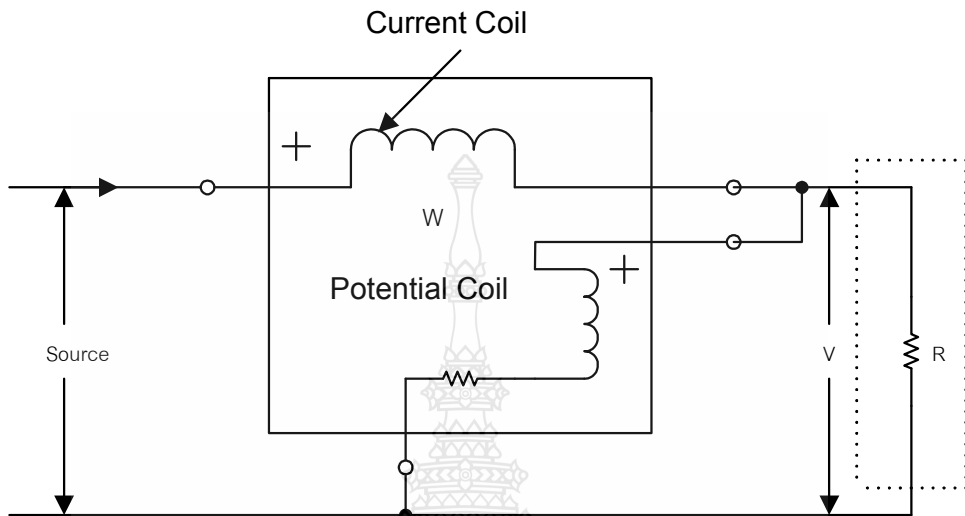
3) เครื่องวัดพลังงานไฟฟ้าแบบผสมผสาน [3] เป็นเครื่องวัดพลังงานที่แสดงผลได้ทาง 2 แบบคือ ทั้งแบบดิจิทัลและแบบทางกล โดยหลักการทำงานเหมือนกับเครื่องวัดพลังงานไฟฟ้าแบบเหนียวแน่นะและมีวงจรรวม หน่วยความจำ การแสดงผลทางหน้าจอ LCD เช่นเดียวกับเครื่องวัดพลังงานไฟฟ้าแบบอิเล็กทรอนิกส์ นับว่าเป็นการพัฒนาเครื่องวัดพลังงานไฟฟ้าก่อนที่จะเป็นแบบอิเล็กทรอนิกส์ ดังภาพที่ 2.8



ภาพที่ 2.8 มิเตอร์ไฟฟ้าแบบผสมผสาน

2.1.2 วิธีการต่อสายและการคำนวณค่ากำลังไฟฟ้าของเครื่องวัดค่าพลังงานชนิดต่างๆ [4]

- 1) วิธีการต่อสายเครื่องวัดพลังงานไฟฟ้าในระบบ 1 เฟส 2 สาย



ภาพที่ 2.9 วิธีการต่อสายเครื่องวัดพลังงานไฟฟ้าในระบบ 1 เฟส 2 สาย [4]

ค่ากำลังไฟฟ้าจริงที่วัดได้จะมีค่าเท่ากับ

$$P = V \times I \times \cos \theta \quad (2.1)$$

โดยที่ P คือ กำลังไฟฟ้าจริง (วัตต์)

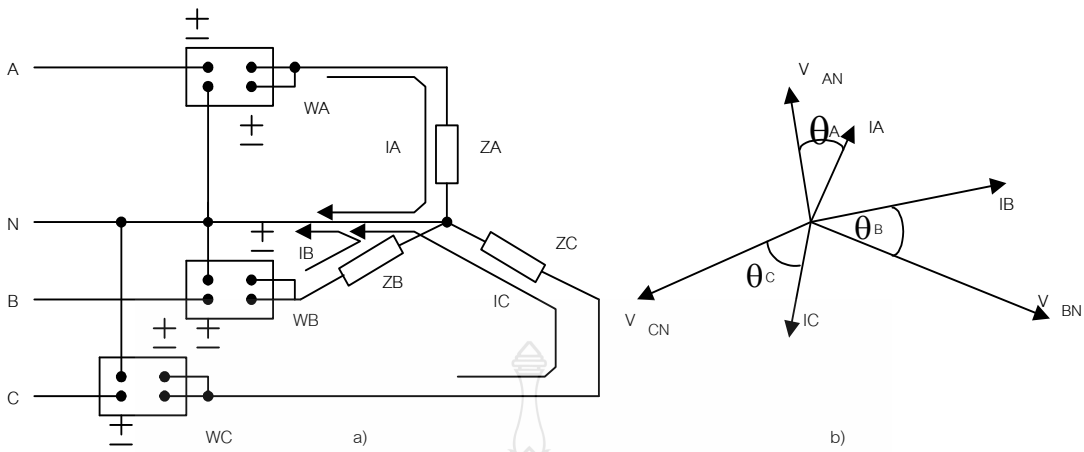
V คือ แรงดันไฟฟ้า (โวลต์)

I คือ กระแสไฟฟ้า (แอมป์)

- 2) วิธีการต่อสายเครื่องวัดพลังงานไฟฟ้าในระบบไฟฟ้า 3 เฟส

การต่อเครื่องวัดพลังงานไฟฟ้าเพื่อวัดค่ากำลังไฟฟ้า 3 เฟส ทำได้ 2 วิธี คือ ใช้เครื่องวัดพลังงานไฟฟ้า 3 เครื่อง และใช้เครื่องวัดพลังงานไฟฟ้า 2 เครื่อง

1. การใช้เครื่องวัดพลังงานไฟฟ้า 3 เครื่อง (Three Wattmeter Method) การใช้เครื่องวัดพลังงานไฟฟ้า 3 เครื่อง เพื่อวัดกำลังไฟฟ้าของวงจรไฟฟ้าที่มีโหลดต่อแบบวยระบบ 3 เฟส 4 สาย ดังภาพที่ 2.10



ภาพที่ 2.10 การวัดกำลังไฟฟ้าโดยใช้เครื่องวัดพลังงานไฟฟ้า 3 เครื่องและเวกเตอร์ไคลอแกร์ [4]

ค่ากำลังไฟฟ้าจริงที่วัดได้จะมีค่าเท่ากับ

$$W_A = V_{AN} I_A \cos \theta_A \quad W_B = V_{BN} I_B \cos \theta_B \quad W_C = V_{CN} I_C \cos \theta_C \quad (2.2)$$

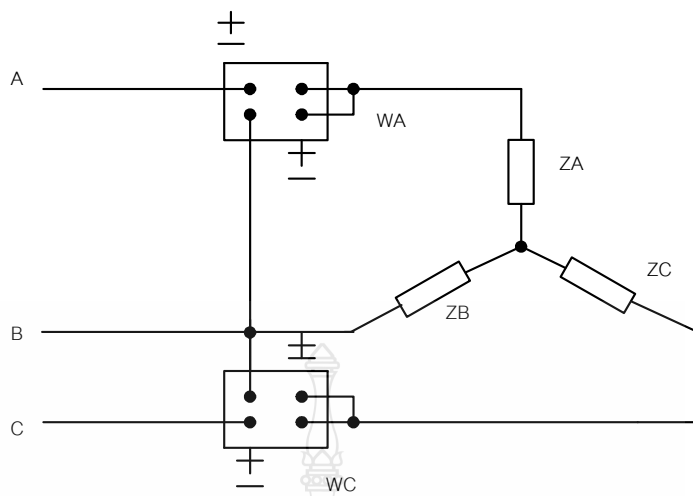
จากสมการนี้ ทำให้ทราบว่าเครื่องวัดพลังงานไฟฟ้า W_A , W_B และ W_C จะอ่านค่ากำลังไฟฟ้าเฟส A, B และ C ตามลำดับ ดังนั้นสมการค่ากำลังไฟฟ้ารวม (P_T) ระบบ 3 เฟส 4 สาย ดังนี้

$$P_T = V_{AN} I_A \cos \theta_A + V_{BN} I_B \cos \theta_B + V_{CN} I_C \cos \theta_C$$

$$P_T = W_A + W_B + W_C \text{ (วัตต์)} \quad (2.3)$$

$$P_T = \text{ค่ากำลังไฟฟ้าจริงรวม (วัตต์)}$$

2. การใช้เครื่องวัดพลังงานไฟฟ้า 2 เครื่อง (Two Wattmeter Method) การใช้เครื่องวัดพลังงานไฟฟ้า 2 เครื่อง เพื่อวัดกำลังไฟฟ้าของวงจรไฟฟ้าที่มีโหลดต่อแบบเดลต้า ระบบ 3 เฟส 3 สาย การต่อเครื่องวัดพลังงานไฟฟ้า 2 เครื่อง แสดงในภาพที่ 2.11



ภาพที่ 2.11 การใช้เครื่องวัดพลังงานไฟฟ้า 2 เครื่อง ต่อวัดกำลังไฟฟ้า 3 เฟส [4]

การคำนวณกำลังไฟฟ้าจริงด้วยการใช้เครื่องวัดพลังงานไฟฟ้า 2 เครื่อง มีดังนี้

$$W_1 = (V_{ab})(I_a) \cos \theta_{ab} \quad (2.4)$$

$$W_2 = (V_{cb})(I_c) \cos \theta_{cb} \quad (2.5)$$

θ_{ab} = มุมระหว่าง V_{ab} กับ I_a

θ_{cb} = มุมระหว่าง V_{cb} กับ I_c

$$P_T = (V_{ab})(I_a) \cos \theta_{ab} + (V_{cb})(I_c) \cos \theta_{cb} \quad (2.6)$$

โดยที่

$$\cos \theta_{ab} = \cos(30 + \theta_1)$$

$$\cos \theta_{cb} = \cos(30 - \theta_3)$$

$$\cos(30 + \theta_1) = \cos(30) \cos(\theta_1) - \sin(30) \sin(\theta_1)$$

$$\cos(30 - \theta_3) = \cos(30) \cos(\theta_3) + \sin(30) \sin(\theta_3)$$

แทนค่า $\cos \theta_{ab}$ และ $\cos \theta_{cb}$ ในสมการที่ 2.6 จะได้

$$P_T = (V_{ab})(I_a)[\cos(30)\cos(\theta_1) - \sin(30)\sin(\theta_1)] + (V_{cb})(I_c)[\cos(30)\cos(\theta_3) + \sin(30)\sin(\theta_3)] \quad (2.7)$$

กำลังไฟฟ้ารวมระบบ 3 เฟส 3 สาย มีค่าดังนี้

$$P_T = W_1 + W_2 \quad (2.8)$$

ข้อพิจพลดາดในการวัด [4]

ค่าความถูกต้อง (Accuracy) หมายถึง ความใกล้เคียงระหว่างค่าที่เป็นจริงกับค่าที่อ่านได้จากเครื่องวัด เป็นเป็นสมการดังนี้

$$A = 1 - \frac{Yn - Xn}{Yn} \quad (2.9)$$

โดยที่ Yn คือ ค่าจริง

Xn คือ ค่าที่วัดได้

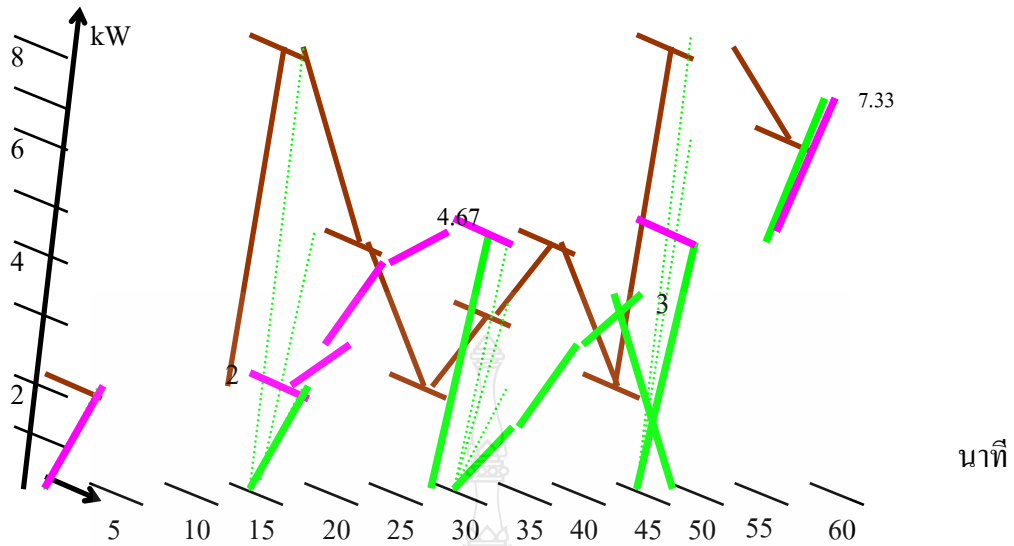
และ

$$\text{เบอร์เซ็นต์ความถูกต้อง} = A \times 100 \% \quad (2.10)$$

การคิดค่ากิโลวัตต์เฉลี่ย (Demand) [3]

ค่ากิโลวัตต์เฉลี่ย คือ ค่าพลังงานไฟฟ้า (หน่วย) ที่ใช้ไปในช่วงเวลาหนึ่งเวลาใด และหารด้วยระยะเวลาในช่วงเวลานั้น ซึ่งการไฟฟ้าส่วนภูมิภาคคิดค่ากิโลวัตต์เฉลี่ยในช่วงเวลา 15 นาที ดังนั้น ค่ากิโลวัตต์เฉลี่ยในช่วงเวลา 15 นาที จะเท่ากับจำนวนหน่วยที่ใช้ไปในช่วงเวลา 15 นาที หารด้วยเวลาในหน่วยของชั่วโมง คือ $(15\text{นาที} / 60\text{นาที}) = 1/4$

$$\text{ค่ากิโลวัตต์เฉลี่ย} = (\text{กิโลวัตต์ชั่วโมง} / (1/4)) = (4 \times \text{กิโลวัตต์ชั่วโมง})$$



ภาพที่ 2.12 การคิดค่ากิโลวัตต์เฉลี่ย

ค่ากิโลวัตต์เฉลี่ยในช่วงเวลา 0 - 15 นาทีแรก

$$\frac{\{[2 \times (5/60)] + [2 \times (5/60)] + [2 \times (5/60)]\}}{(15/60)} = 2 \text{ kW}$$

ค่ากิโลวัตต์เฉลี่ยในช่วงเวลา 15 - 30 นาที

$$\frac{\{[8 \times (5/60)] + [4 \times (5/60)] + [2 \times (5/60)]\}}{(15/60)} = 4.67 \text{ kW}$$

ค่ากิโลวัตต์เฉลี่ยในช่วงเวลา 30 - 45 นาที

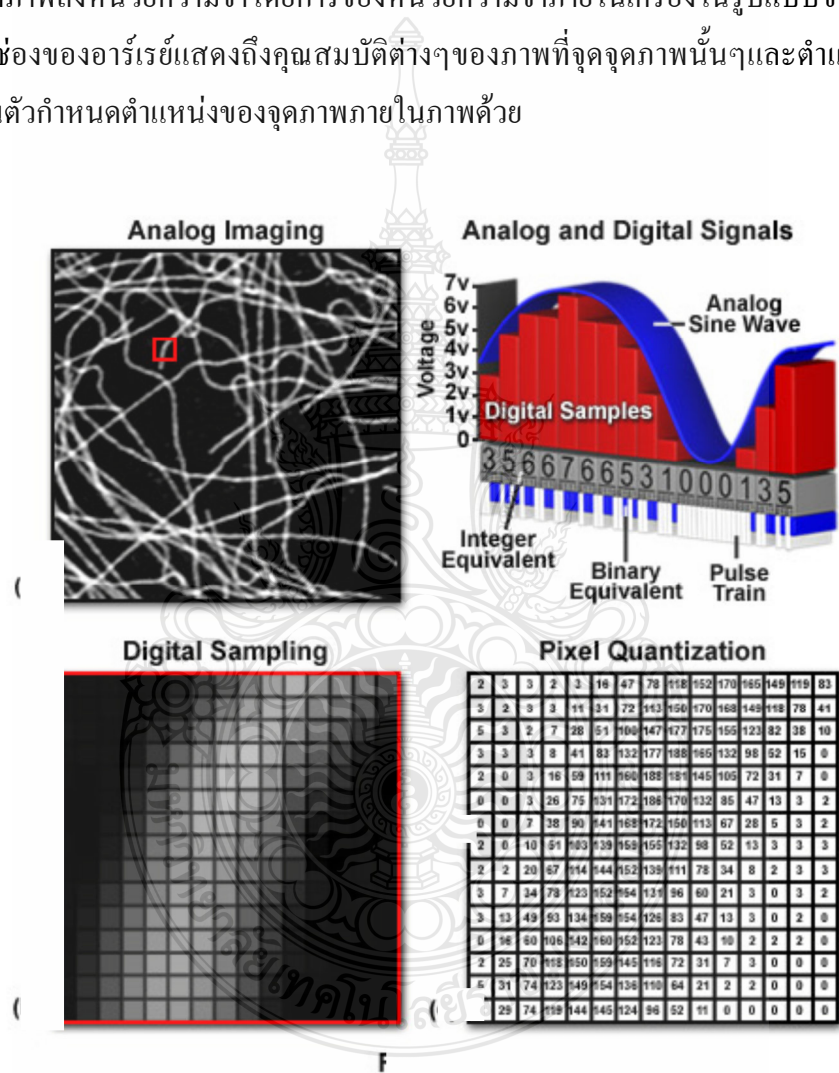
$$\frac{\{[3 \times (5/60)] + [4 \times (5/60)] + [2 \times (5/60)]\}}{(15/60)} = 3 \text{ kW}$$

ค่ากิโลวัตต์เฉลี่ยในช่วงเวลา 45 - 60 นาที

$$\frac{\{[8 \times (5/60)] + [8 \times (5/60)] + [6 \times (5/60)]\}}{(15/60)} = 7.33 \text{ kW}$$

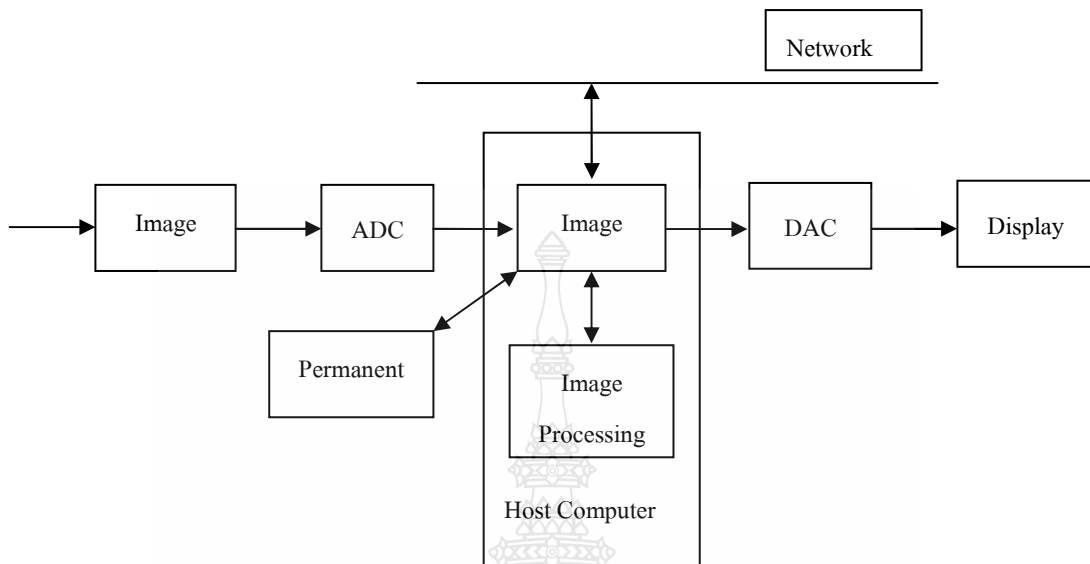
2.1.3 ความรู้เบื้องต้นเกี่ยวกับการประมวลผลภาพดิจิทัล

การประมวลผลภาพดิจิทัลจะนำข้อมูลภาพที่เป็นสัญญาณอนาล็อก (Analogue Signal) แปลงให้อยู่ในรูปของสัญญาณดิจิทัล (Digital Signal) เพื่อใช้ในการประมวลผลผ่านทางคอมพิวเตอร์ ในการแปลงภาพให้เป็นสัญญาณดิจิทัลนั้นระบบจะนำภาพที่รับเข้ามาไปคำนวณโดยกระบวนการ Sampling และ Quantization และส่งข้อมูลออกมายังรูปแบบดิจิทัลจากนั้นคอมพิวเตอร์ จะเก็บข้อมูลภาพลงหน่วยความจำโดยการจ่องหน่วยความจำภายในเครื่องในรูปแบบของอาร์เรย์โดยค่าในแต่ละช่องของอาร์เรย์แสดงถึงคุณสมบัติต่างๆ ของภาพที่จุดจุดภาพนั้นๆ และตำแหน่งของช่องอาร์เรย์ก็เป็นตัวกำหนดตำแหน่งของจุดภาพภายในภาพด้วย



ภาพที่ 2.13 การแปลงภาพแอนะล็อกให้เป็นภาพดิจิทัล [5]

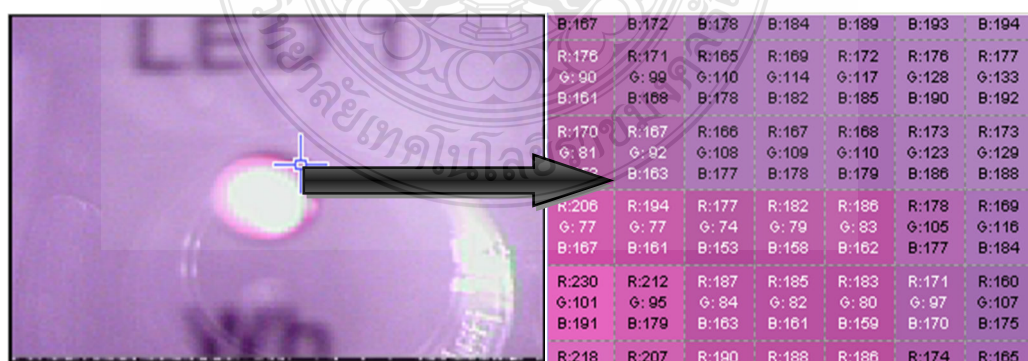
1) ระบบการประมวลผลภาพดิจิทัล



ภาพที่ 2.14 ระบบการประมวลผลภาพดิจิทัล

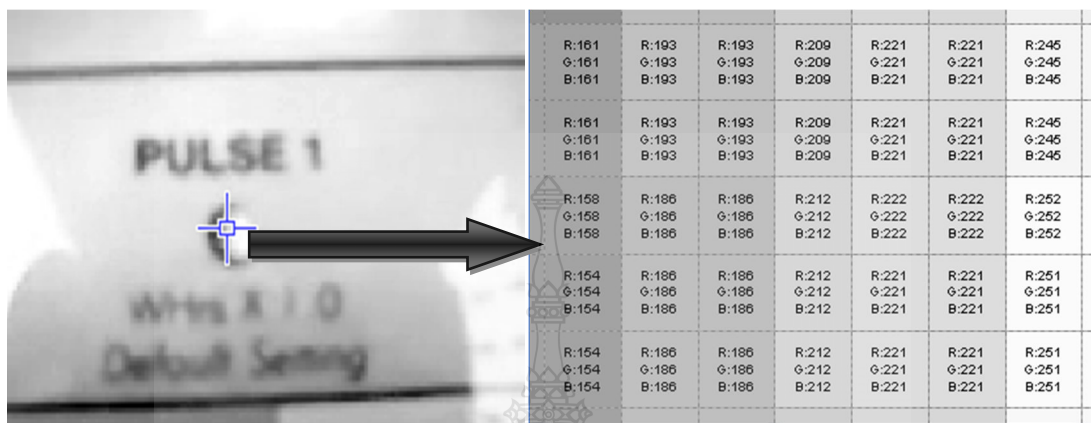
ภาพดิจิทัลที่ได้จะมีรูปแบบการเก็บเป็นแมทริกซ์ซึ่งจะมีการจัดเก็บภาพแต่ละชุดต่างกันขึ้นอยู่กับระบบสืบของภาพดังกล่าวโดยแบ่งชนิดของภาพได้ดังนี้

RGB Image หรือ True Color Image เป็นภาพที่เก็บโดยใช้อาร์เรย์ 3 มิติขนาด $m \times n \times 3$ โดยที่ m คือ ความยาวและ n คือ ความกว้างของภาพในหน่วยจุดภาพส่วนมิติสุดท้ายนั้นในแต่ละมิติจะเก็บค่าสีแยกกันคือสีแดง (Red) สีเขียว (Green) และสีน้ำเงิน (Blue)



ภาพที่ 2.15 ภาพแบบ RGB

Gray Scale Image เป็นภาพที่เก็บโดยใช้รูปแบบของอาร์เรย์ 2 มิติ โดยค่าที่เก็บจะมีค่าอยู่ในช่วงๆ หนึ่ง 0 – 255 ซึ่งระดับของลักษณะนักบุคนาดของบิตที่ใช้เก็บค่าสี



ภาพที่ 2.16 ภาพแบบ Gray scale หรือภาพระดับสีเทา

Binary Image หรือภาพขาว-ดำเป็นภาพที่ใช้เนื้อที่เพียง 1 บิตต่อจุดภาพ โดยค่าสีจะมีแค่สองค่าคือ 0 หรือสีดำและ 1 หรือสีขาว



ภาพที่ 2.17 ภาพแบบ Binary หรือภาพขาว-ดำ [5]

2) การแปลงระดับสีของภาพสี RGB เป็นภาพระดับสีเทา [5]

ภาพระดับสีเทา คือ ภาพขาว-ดำ-เทา โดยจะมีระดับความเข้มของสีเทาคือ 0-255 (8 bit) ภาพระดับสีเทาเกิดจากการแปลงภาพสี RGB ที่อยู่ในรูปแบบสี 3 มิติมาเป็นภาพระดับสีเทาเหลือเพียง 1 มิติ โดยใช้สูตรทางคณิตศาสตร์เพื่อให้ง่ายต่อการคำนวณซึ่งการแปลงสีมีอยู่ด้วยกัน 2 รูปแบบ ที่นิยมคือ

1. การเฉลี่ยค่าของแม่สีทั้งสามซึ่งเป็นวิธีที่ง่ายแต่ก็อาจมีความผิดพลาดของแม่สีได้
2. คิดตามความสว่างของแต่ละแม่สีโดยมีรูปแบบดังสมการที่ 2.11

$$\text{Gray} = (0.299 \times R) + (0.587 \times G) + (0.114 \times B) \quad (2.11)$$

โดยที่ Gray คือค่าความเข้มของสีเทาโดยจะมีค่าระหว่าง 0-255

R คือ ค่าความเข้มของสีแดง โดยจะมีค่าระหว่าง 0-255

G คือ ค่าความเข้มของสีเขียว โดยจะมีค่าระหว่าง 0-255

B คือ ค่าความเข้มของสีน้ำเงิน โดยจะมีค่าระหว่าง 0-255

3) วิธีการแปลงภาพระดับสีเทาเป็นภาพขาวดำ

ในขั้นตอนนี้เป็นการนำรูปภาพระดับสีเทามาทำการแปลงให้เป็นภาพขาว-ดำ จะทำให้สามารถแยกภาพออกจากพื้นหลังได้อย่างชัดเจน โดยขั้นตอนในการแปลงภาพนั้นจะใช้เทคนิค Threshold

โดยการนำค่า Threshold ที่ปรับตั้งไว้ มาทำการเปรียบเทียบแต่ละพิกเซลจนครบทุกพิกเซล เพื่อตรวจสอบว่าพิกเซลนั้นควรเป็นส่วนของพื้นหลังหรือส่วนของตัวอักษร เช่น จากการปรับตั้งค่า Threshold เป็น 3 นำค่าไปเปรียบเทียบทุกพิกเซล ค่าที่พิกเซลใดมีค่าน้อยกว่า Threshold ให้พิกเซลนั้นเป็น 0 สีดำ พิกเซลใดมากกว่าหรือเท่ากับค่า Threshold ให้พิกเซลนั้นเป็น 1 สีขาว ดังภาพที่ 2.18

0	5	7
1	2	9
1	7	10

ก) ภาพสีเทา

0	1	1
0	0	1
0	1	1

ข) ภาพสีขาวดำ

ภาพที่ 2.18 การแปลงภาพจากภาพสีเทาให้เป็นภาพสีขาวดำ

2.2 งานวิจัยและเทคนิคที่เกี่ยวข้อง

จากการทบทวนบทความงานวิจัยด้านการประเมินผลความถูกต้องของเครื่องวัดพลังงานไฟฟ้าสำหรับการทำวิทยานิพนธ์นี้แบ่งออกเป็น 2 ส่วน คือ วิธีการและเครื่องมือที่ใช้ในงานตรวจสอบเครื่องวัดพลังงานไฟฟ้าและงานที่ประยุกต์ใช้เทคโนโลยีประมวลผล สรุปได้พ้อสังเขปดังนี้

วิธีการและเครื่องมือที่ใช้ในงานตรวจสอบเครื่องวัดพลังงานไฟฟ้ามีอยู่ด้วยกัน 4 แบบ คือ

วิธีที่ 1 การตรวจสอบมิเตอร์ไฟฟ้าด้วย Clamp on Power Tester [1] ข้อดีของวิธีการนี้คือ สะดวก สามารถใช้ตรวจสอบการละเอียดมิเตอร์ไฟฟ้า ซึ่งไม่ว่าจะทำการที่สายไฟโดยตรง หรือสายคอนโทรลหรือที่ตัวเครื่องวัดพลังงานไฟฟ้าได้ และสามารถประเมินผลความถูกต้องของมิเตอร์ไฟฟ้าโดยไม่ต้องหยุดการทำงานของอุปกรณ์ไฟฟ้าภายในขณะตรวจสอบ แต่ข้อเสียของวิธีการนี้คือไม่สามารถประเมินผลได้ถูกต้องกรณีโหลดเปลี่ยนแปลงขณะจับเวลาเนื่องจากค่าเฉลี่ยของค่าพลังงานไฟฟ้าที่วัดได้จาก Clamp on Power Tester ไม่ตรงกับการจับเวลาใน 1 รอบการทำงาน

วิธีที่ 2 การนำมิเตอร์เปรียบเทียบกับมิเตอร์ไฟฟ้ามาตรฐาน [2] วิธีการนี้ให้ความถูกต้องในการประเมินผลกว่าแต่ต้องใช้เวลาในการติดตั้งเครื่องวัดมาตรฐานเปรียบเทียบเวลา 24 ชั่วโมงสำหรับ มิเตอร์วัดค่าแบบทางตรงต้องมีการดับไฟเพื่อติดตั้งมิเตอร์มาตรฐานเปรียบเทียบส่วนมิเตอร์วัดค่าแบบทางอ้อมต้องต่อวงจรสายคอนโทรลใหม่โดยที่มีกระแสไฟฟ้าทำให้เกิดความเสี่ยงในการปฏิบัติงาน และต้องหาพื้นที่สำหรับติดตั้งมิเตอร์มาตรฐานเปรียบเทียบ

วิธีที่ 3 การใช้ชุดทดสอบค่าความคลาดเคลื่อนของกิโลวัตต์ชาร์มิเตอร์โดยใช้การบันทึกภาพวิดีโอที่งานหมุน [6] โดยติดต่อความคุณกับชุดควบคุมโหลดแบบไร้สายเพื่อปรับระดับโหลด ใช้เทคนิคการเปรียบเทียบภาพจับเวลาของงานหมุนในหนึ่งรอบมาประมาณผลค่าความคลาดเคลื่อน ผลที่วัดได้ต่างจากค่าที่ศูนย์ทดสอบ น้อยกว่า 0.1 % ข้อดีของวิธีนี้คือการใช้งานสะดวก และใช้เวลาในการทดสอบน้อยผลการทดสอบมีความถูกต้องและอุปกรณ์ที่ใช้มีราคาถูกแต่มีข้อเสียคือ ต้องหยุดการทำงานของอุปกรณ์ไฟฟ้าขณะทดสอบและไม่สามารถทดสอบกับเครื่องวัดพลังงานไฟฟ้าแบบอิเล็กทรอนิกส์ที่ส่วนใหญ่จะเป็นผู้ใช้ไฟฟ้ารายใหญ่ที่มีความสำคัญสูง

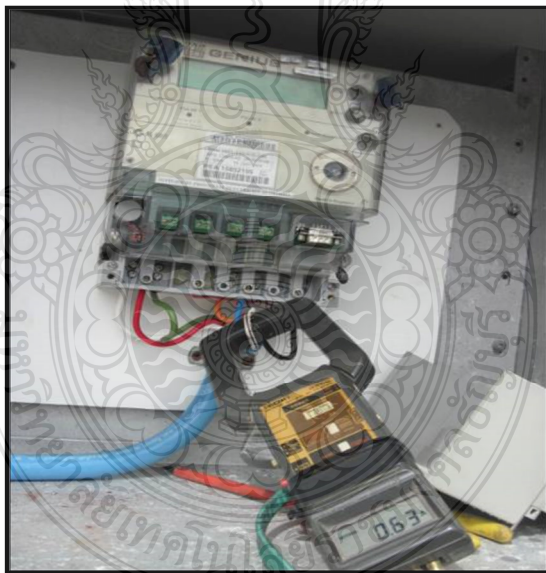
วิธีที่ 4 การใช้เครื่องมือตรวจสอบมิเตอร์ไฟฟ้าแรงต่ำ Unipower 3010 [7] โดยการใช้หลักการการสะท้อนแสงอินฟารेडพร้อมทั้งวัดค่าพลังงานไฟฟ้า และประมาณผลค่าความเที่ยงตรงของเครื่องวัดพลังงานไฟฟ้าได้อย่างถูกต้องโดยใช้มาตรฐาน IEC 514 และ IEC 736 ในการตรวจสอบ และสามารถแสดงผลทางปรินท์เตอร์หรือบนหน้าจอคอมพิวเตอร์ได้ค่าความคลาดเคลื่อนในการวัดน้อยกว่า 1 % ข้อดีของวิธีการนี้คือผลการประเมินมีความถูกต้องใช้งานง่าย ไม่ต้องหยุดการทำงาน

ของໂທລດ ແຕ່ມີຂໍ້ເສີຍຄືອເຄື່ອງມືອມີຣາຄາສູງ ໄນສາມາດແປ່ງປັບປຸງຄ່າອັດຮາສ່ວນໄດ້ ຂີ.ຖື.ສໍາຫຼັບ
ຄລ້ອງສາຍໄພມິນາດເລັກໄມ່ເໜາະກັບສາຍໄພທີ່ມິນາດໃໝ່

ເທິງໂນໂລຢີກາປະມາລຸກຄາພົງເປັນວິທີກາຮ່ານີ້ທີ່ນ່າສນໃຈ ສາມາດນຳມາປະຢູກຕໍ່ໃຊ້ກັນ
ງານຕຽບສອນຄວາມຄູກຕ້ອງຂອງເຄື່ອງວັດພລັງຈານໄຟຟ້າໄດ້ ເນື່ອຈາກປັ້ງຈຸບັນອຸປະກອນພິວເຕອົມ
ຄວາມຄູກແລະກາປະມາລຸກຮວດເຮົາບື້ນນາກຫຼຶ່ງສາມາດປະມາລສັງຄູນກາພໄດ້ຄູກຕ້ອງໂດຍໄມ່ຕ້ອງ
ໜຸດການທຳມານຂອງອຸປະກອນໄຟຟ້າກາຍໃນແລກການໃໝ່ຈາກນັ້ນ ສະດວກ ຮັດເຮົາ

2.3 ວິທີການໃໝ່ນາພິກາຈັນເວລາຮ່ວມກັບແຄລົມປ້ອອນເພາວເວົ່ວມືເຕອຮ໌ [1]

ວິທີການວັດຮອບການທຳມານຂອງເຄື່ອງວັດພລັງຈານໄຟຟ້ານີ້ ທຳໄດ້ໂດຍສັງເກດການທຳມານຈາກຈານ
ໜຸນສໍາຫຼັບມືເຕອຮ໌ແບນແມຄານິກສ໌ ຢ້ອງຫລຸດແອດ ອີ.ດີ.ສໍາຫຼັບມືເຕອຮ໌ແບນອີເລີກທຣອນິກສ໌ ພໍ້ອມວັດ
ຄ່າພລັງຈານໄຟຟ້າທີ່ໃໝ່ໃນໝະທຳການຕຽບສອນເຄື່ອງວັດພລັງຈານໄຟຟ້າ ຈາກນັ້ນນຳເວລາທີ່ໄດ້ມາ
ຄໍານວັນທາຄ່າພລັງຈານໄຟຟ້າແລະການເປີຍບ່ອນກັບຄ່າທີ່ໄດ້ຈາກເຄື່ອງວັດພລັງຈານໄຟຟ້າທີ່ໃໝ່
ຕຽບສອນ



ກາພທີ່ 2.19 ກາຣໃໝ່ນາພິກາຈັນເວລາຮ່ວມກັບແຄລົມປ້ອອນເພາວເວົ່ວມືເຕອຮ໌

การคำนวณหาค่ากำลังไฟฟ้าจริงโดยการวัดรอบการทำงานของเครื่องวัดพลังงานไฟฟ้าสามารถคำนวณได้จากสมการดังต่อไปนี้

$$P_M = \frac{3600 \times N \times CT_{RATIO} \times PT_{RATIO}}{(Imp/kWh) \times T} \quad (2.12)$$

โดยที่	P_M	คือ ค่ากำลังไฟฟ้าจริงของเครื่องวัดพลังงานไฟฟ้าที่ถูกเปรียบเทียบ (กิโลวัตต์)
	N	คือ จำนวนรอบของการทำงาน (รอบ)
	CT_{RATIO}	คือ อัตราส่วนของหม้อแปลงกระแส; หากไม่มีให้ค่าเป็น 1
	PT_{RATIO}	คือ อัตราส่วนของหม้อแปลงแรงดัน; หากไม่มีให้ค่าเป็น 1
	(Imp/kWh)	คือ จำนวนรอบการทำงานของเครื่องวัดต่อ 1 กิโลวัตต์
	T	คือ เวลาที่วัดได้ (วินาที)

สมการคำนวณหาค่ากำลังไฟฟ้าจริงที่ได้จากเครื่องวัดพลังงานไฟฟ้าแบบ 3 เฟส 3 สาย 2 อลิเมนท์

$$P1 = (V_{ab})(I_a) \cos \theta_{ab} \quad (2.13)$$

$$P2 = (V_{cb})(I_c) \cos \theta_{cb} \quad (2.14)$$

$$P_T = (P1 + P2) / 1,000 \quad (2.15)$$

โดยที่	P_T	คือ กำลังไฟฟ้าจริงจากเครื่องวัดพลังงานไฟฟ้ามาตรฐาน (กิโลวัตต์)
	P1	คือ กำลังไฟฟ้าจริงของชุดที่ 1 (วัตต์)
	P2	คือ กำลังไฟฟ้าจริงของชุดที่ 2 (วัตต์)
	V_{ab}	คือ แรงดันไฟฟ้าระหว่างเฟส A กับเฟส B (โวลต์)
	V_{cb}	คือ แรงดันไฟฟ้าระหว่างเฟส C กับเฟส B (โวลต์)
	I_a	คือ กระแสไฟฟ้าที่ไหลผ่านเฟส A (แอมป์)
	I_c	คือ กระแสไฟฟ้าที่ไหลผ่านเฟส C (แอมป์)
	θ_{ab}	คือ มุนราห์ว่าง V_{ab} กับ I_a (องศา)
	θ_{cb}	คือ มุนราห์ว่าง V_{cb} กับ I_c (องศา)

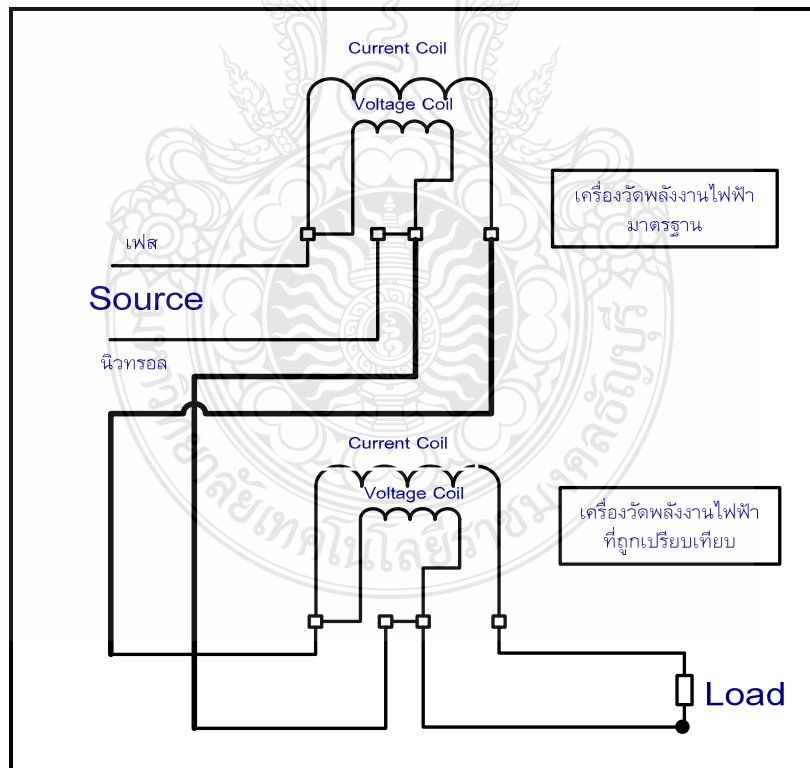
จากนั้นเปรียบเทียบค่ากำลังไฟฟ้าจริงที่ได้จากเครื่องวัดพลังงานไฟฟ้ามาตรฐานกับเครื่องวัดพลังงานไฟฟ้าที่ถูกเปรียบเทียบ หากผลการเปรียบเทียบอยู่ในช่วง $\pm 2.5\%$ ถือว่าเครื่องวัดพลังงานไฟฟ้าอยู่ในเกณฑ์ปกติ มีสมการคำนวณดังนี้

$$\text{เบอร์เซ็นต์ความผิดพลาด} = \frac{P_T - P_M}{P_T} \times 100 \quad (2.16)$$

โดยที่ P_T คือ กำลังไฟฟ้าจริงจากเครื่องวัดพลังงานไฟฟ้ามาตรฐาน (กิโลวัตต์)
 P_M คือ ค่ากำลังไฟฟ้าจริงของเครื่องวัดพลังงานไฟฟ้าที่ถูกเปรียบเทียบ (กิโลวัตต์)

2.4 วิธีการติดตั้งเครื่องวัดพลังงานเปรียบเทียบ [3]

การติดตั้งเครื่องวัดพลังงานเปรียบเทียบ คือการนำเครื่องวัดพลังงานไฟฟ้าที่มีคุณลักษณะเหมือนกันมาต่ออนุกรมกับเครื่องวัดพลังงานไฟฟ้าที่ถูกเทียบ ลักษณะการติดตั้งดังภาพที่ 2.20



ภาพที่ 2.20 การติดตั้งเครื่องวัดพลังงานไฟฟ้าเปรียบเทียบ [2]

โดยนำสายไฟฟ้าด้านแหล่งจ่ายต่อทางด้านเข้าของเครื่องวัดพลังงานไฟฟ้ามาตรฐาน ด้านออกของเครื่องวัดพลังงานไฟฟ้ามาตรฐาน เชื่อมต่อทางด้านเข้าของเครื่องวัดพลังงานไฟฟ้าที่ต้องการเปรียบเทียบ และด้านออกของเครื่องวัดพลังงานไฟฟ้าที่ถูกเปรียบเทียบต่อไปยังโหลด โดยติดตั้งไว้เป็นระยะเวลา 24 ชั่วโมง จากนั้นนำค่าพลังงานที่วัดได้จากเครื่องวัดพลังงานไฟฟ้าที่ถูกเปรียบเทียบมาเปรียบเทียบกับเครื่องวัดพลังงานไฟฟ้ามาตรฐาน ซึ่งหากผลการเปรียบเทียบอยู่ในช่วง $\pm 2.5\%$ อีกทั้งเครื่องวัดพลังงานไฟฟ้าอยู่ในเกณฑ์ปกติ มีสมการการคำนวณ ดังนี้

$$\text{เบอร์เซ็นต์ความผิดพลาด} = \frac{Y_s - Y_c}{Y_s} \times 100 \quad (2.17)$$

โดยที่ Y_s คือ ค่าพลังงานที่อ่านได้จากเครื่องวัดพลังงานไฟฟ้ามาตรฐาน (หน่วย)

Y_c คือ ค่าพลังงานที่อ่านได้จากเครื่องวัดพลังงานไฟฟ้าที่ถูกเปรียบเทียบ (หน่วย)

1 หน่วย คือ 1 กิโลวัตต์-ชั่วโมง

2.5 การตรวจจับการทำงานของเครื่องวัดพลังงานไฟฟ้าแบบอิเล็กทรอนิกส์

การแสดงผลค่ากำลังไฟฟ้าของเครื่องวัดพลังงานไฟฟ้า สามารถคำนวณจากระยะเวลาการกระแสของโหลดแอลอีดี โดยสังเกตได้การ ติด – ดับ ของโหลดแอลอีดี ใน 1 รอบ ทั้งนี้ระยะเวลาการกระแสจะขึ้นอยู่กับโหลด เช่น หากโหลดน้อยจะใช้เวลามาก และหากโหลดมากจะใช้เวลาน้อยเป็นต้น

2.5.1 การตรวจจับการทำงานของโหลดแอลอีดีด้วยกล้องดิจิทัล

การตรวจสอบจะใช้กล้องดิจิทัลบันทึกภาพเคลื่อนไหวของโหลดแอลอีดีโดยมีค่าที่สำคัญต่อการประมวลผล คือค่าเฟรมเรต (Frame Rate)

เฟรมเรต คือ อัตราการบันทึกภาพได้ในหนึ่งวินาที เช่น กล้องเว็บแคมมีค่าเท่ากับ 30 เฟรมเรต หมายถึง กล้องสามารถบันทึกภาพได้ 30 ภาพต่อ 1 วินาที เป็นต้น ซึ่งสามารถหาค่าเวลาระหว่างภาพขณะที่โหลดแอลอีดีสว่าง ตำแหน่งที่ 1 และตำแหน่งที่ 2 ได้ดังนี้

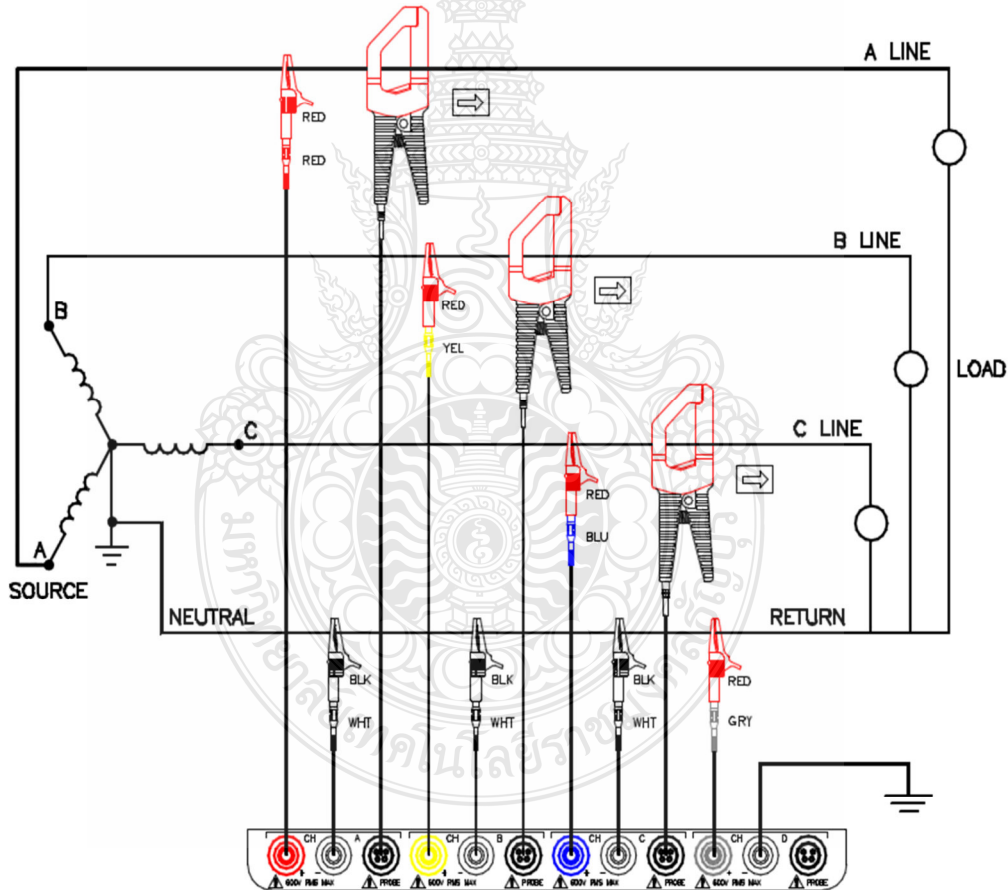
$$\text{เวลา (วินาที)} = \frac{\text{ลำดับภาพที่ } 2 - \text{ลำดับภาพที่ } 1}{\text{เฟรมเรต (ภาพต่อวินาที)}} \quad (2.18)$$

ในที่นี่ใช้กล้องเว็บแคมมีค่าเท่ากับ 30 ภาพต่อ 1 วินาที เนื่องจากข้อมูลภาพที่นำมาประมวลผลไม่ต้องการความละเอียดสูงนักและเพื่อการประมวลผลได้รวดเร็วจึงตั้งค่าความละเอียดที่ 160×120 pixels

ดังนั้นเมื่อหน่วยควบคุม (Microcontroller) ส่งสัญญาณพัลส์ออกทาง แหล่งจ่ายไฟ ที่มีความสัมพันธ์กับค่ากำลังไฟฟ้าจริง ก็จะสามารถคำนวณค่าพลังงานไฟฟ้าได้จากการ 2.11

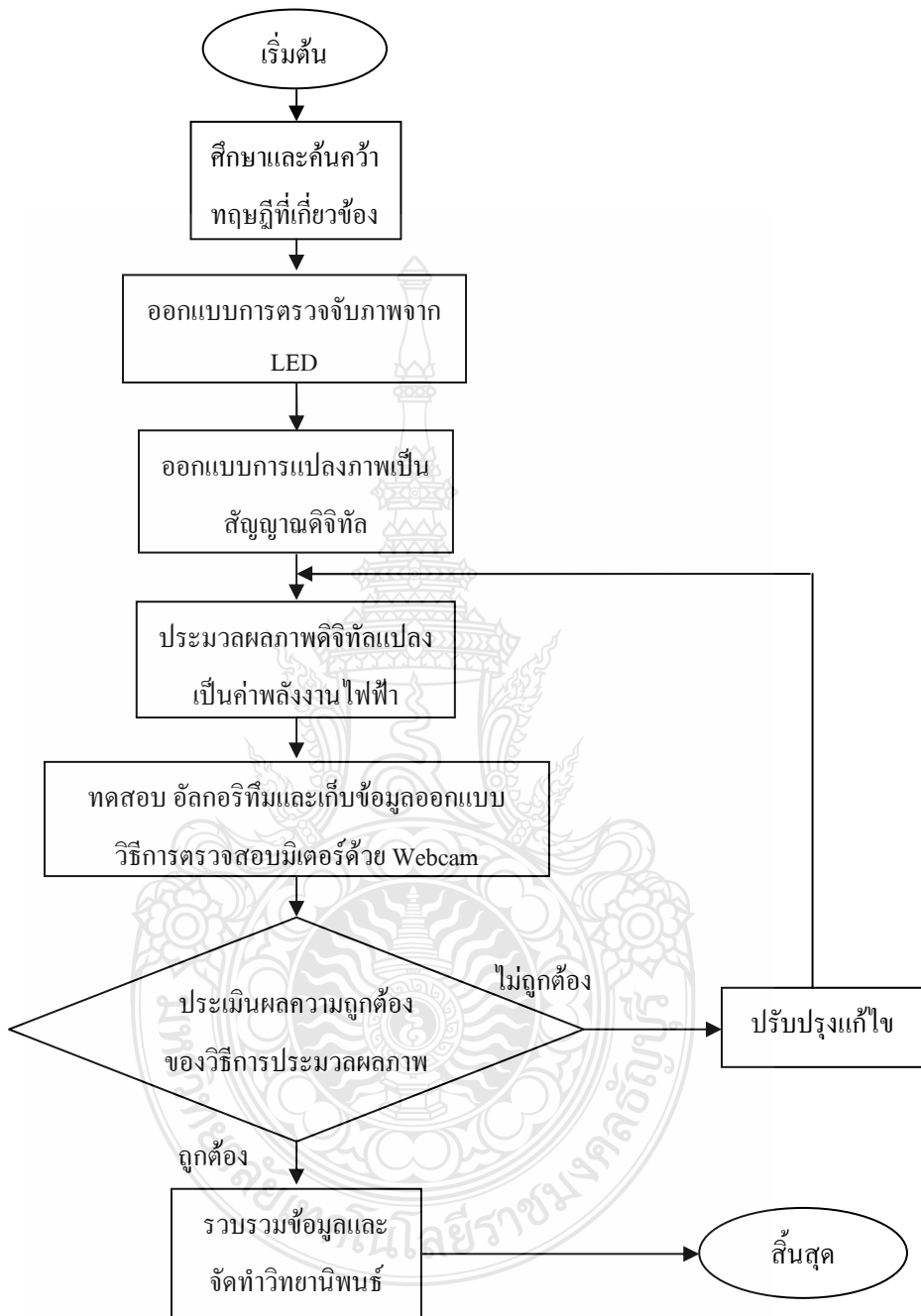
2.5.2 การวัดค่าพลังงานไฟฟ้าจริงจากเครื่องวัดพลังงานไฟฟ้ามาตรฐาน

เครื่องวัดพลังงานไฟฟ้ามาตรฐาน ผลิตภัณฑ์ DRANETZ รุ่น Power Visa ซึ่งมีความละเอียดและความถูกต้องสูงมาเป็นข้อมูลอ้างอิงสามารถส่งข้อมูลออกมายังไฟล์ Excel ด้วยโปรแกรม Dran-View 6 ลักษณะ การต่อวงจรเครื่องวัดพลังงานไฟฟ้ามาตรฐานตามวงจร ดังภาพที่ 2.21



ภาพที่ 2.21 การต่อวงจรเครื่องวัดพลังงานไฟฟ้ามาตรฐาน [12]

2.6 แผนภาพของการทำงานวิจัย (Flow Chart)



ภาพที่ 2.22 ขั้นตอนการทำงานวิจัย

2.7 บทสรุป

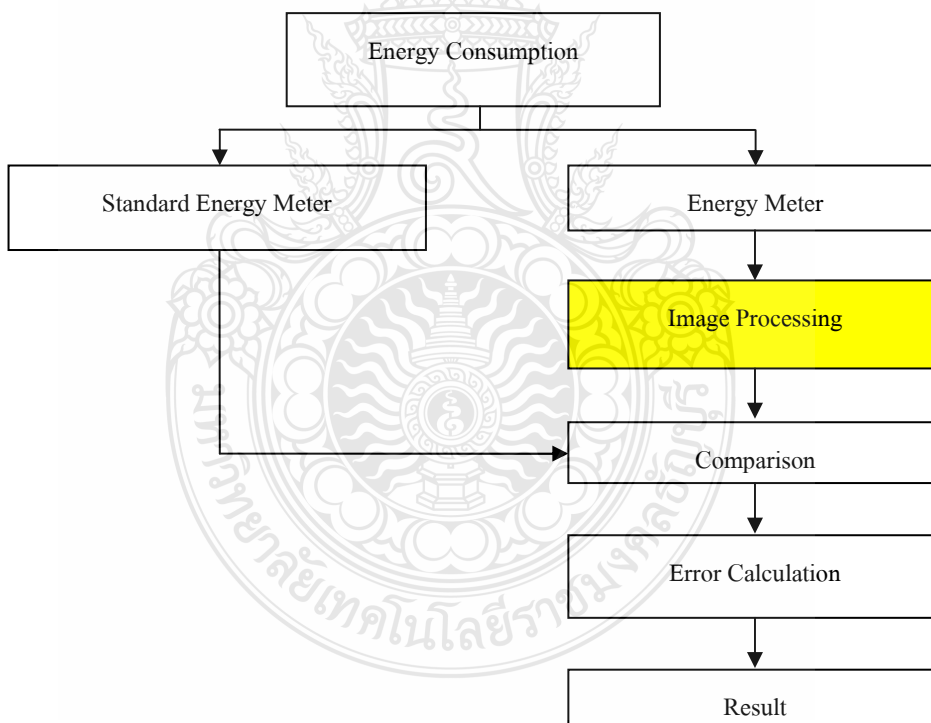
เครื่องวัดพลังงานไฟฟ้าที่มีในอยู่ในปัจจุบันมีทั้งแบบเหนี่ยวนำ แบบอิเล็กทรอนิกส์ และแบบกึ่งเหนี่ยวนำกึ่งอิเล็กทรอนิกส์ ที่ใช้งานกับระบบไฟฟ้า 1 เฟส และ 3 เฟส โดยมีวงจรการวัดค่าพลังงานทั้งแบบวัดค่าทางตรง และแบบวัดค่าทางอ้อม การคำนวณค่ากำลังไฟฟ้าจึงมีความแตกต่างกันออกไปตามชนิดของเครื่องวัดพลังงานนั้นๆ ซึ่งในการตรวจสอบประเมินผลความถูกต้องของเครื่องวัดพลังงานไฟฟ้าแต่ละวิธีการก็มีข้อดี ข้อเสียแตกต่างกันออกไป จึงได้นำเอาข้อดีของแต่ละวิธีการมาพัฒนาขึ้นใหม่ให้เหมาะสมกับการนำไปใช้งานที่จุดติดตั้งเครื่องวัดพลังงานไฟฟ้าหน้างาน



บทที่ 3

วิธีดำเนินการวิจัย

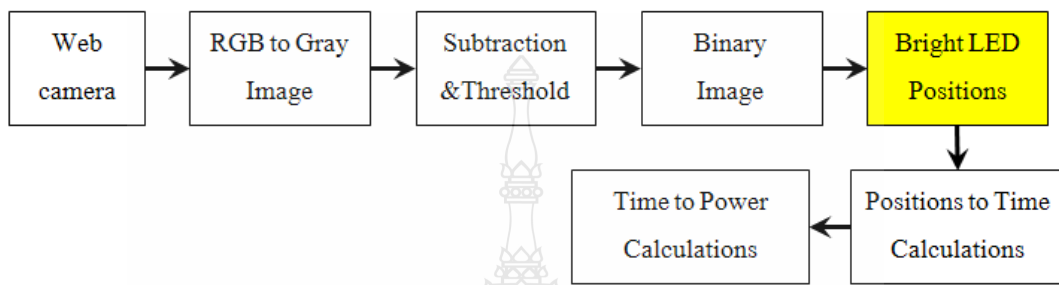
การดำเนินการวิจัยนี้ได้ศึกษาและทดสอบการประเมินผลความถูกต้องของเครื่องวัดพลังงานไฟฟ้าแบบอิเล็กทรอนิกส์ โดยใช้เทคนิคการประมวลผลภาพร่วมกับการเก็บบันทึกค่าพลังงานจากเครื่องวัดพลังงานไฟฟ้ามาตรฐาน (Standard Energy Meter) มีกล้องเว็บแคมใช้ในการบันทึกภาพการกระพริบของ LED ของเครื่องวัดพลังงานไฟฟ้าแบบอิเล็กทรอนิกส์ มาประเมินผลค่ากำลังไฟฟ้า ซึ่งค่ากำลังไฟฟ้าที่ได้จะเป็นค่ากำลังไฟฟ้าเฉลี่ยที่ฐานเวลาเดียวกัน โดยค่าเวลาเฉลี่ยคือเวลาที่หลอด LED กระพริบใน 1 รอบ แล้วนำมาปรับเทียบความถูกต้องกับค่าพลังงานไฟฟ้าที่บันทึกได้จากเครื่องวัดพลังงานไฟฟ้ามาตรฐาน เพื่อใช้ในการประเมินผลความถูกต้องของเครื่องวัดพลังงานไฟฟ้าที่ใช้ทำการทดสอบ โดยสามารถเป็นลักษณะแบบได้อะแกรมได้ ดังนี้



ภาพที่ 3.1 บล็อกไดอะแกรมกระบวนการประเมินผลความถูกต้องของเครื่องวัดพลังงานไฟฟ้า

การใช้พลังงานไฟฟ้า (Energy Consumption) ของผู้ใช้ไฟจะถูกวัดปริมาณการใช้พลังงานไฟฟ้าด้วยเครื่องวัดพลังงานไฟฟ้า (Energy Meter) โดยมีเครื่องวัดพลังงานไฟฟ้ามาตรฐานต่อร่วมเพื่อ

นำค่าพลังงานไฟฟ้ามาเปรียบเทียบ (Comparison) กับค่าพลังงานไฟฟ้าที่ได้จากเทคนิคการประมวลผลภาพดิจิทัล (Image Processing) มาคำนวณค่าความคลาดเคลื่อน (Error Calculation) ด้วยสมการที่ 2.16 และผลลัพธ์ (Result) แสดงผลว่าเครื่องวัดพลังงานไฟฟ้าที่ถูกตรวจสอบอยู่ในเกณฑ์มาตรฐานการใช้งานหรือไม่



ภาพที่ 3.2 บล็อกໄດօะแกรมการประมวลผลภาพดิจิทัล (Image Processing)

ในการประมวลผลภาพ (Image Processing) ใช้กล้องเว็บแคม (Web Camera) เพื่อบันทึกภาพการทำงานของหลอดแอลอีดีของเครื่องวัดพลังงานไฟฟ้าจากภาพสีแล้วแปลงค่าสีให้อยู่ในระดับภาพสีเทา (RGB to Gray Image) ด้วยสมการที่ 2.11 จากนั้นนำจุดภาพของแต่ละภาพมาลบกัน (Subtraction) ตามลำดับก่อนลบหลัง $[(n+1) - n]$ และพิจารณาความสว่างของจุดภาพ (Threshold) เพื่อลดขนาดจุดภาพให้เหลือเพียง 1 บิต กลายเป็นภาพระดับขาว – ดำ (Binary Image) เพื่อนำลำดับภาพที่แสดงจุดสว่างของหลอดแอลอีดี (Bright LED positions) มาคำนวณค่าเวลาการกระพริบใน 1 รอบ (Positions to Time Calculation) ด้วยสมการที่ 2.18 แล้วจึงแปลงค่าเวลาเป็นค่าพลังงานไฟฟ้า (Time to Power Calculation) ด้วยสมการที่ 2.12

ขั้นตอนการดำเนินการวิจัยแบ่งเป็น 6 ขั้นตอน ดังต่อไปนี้

- 1) การศึกษาความเป็นไปได้ในการใช้งานกล้องดิจิทัลจับภาพเพื่อนับค่าเวลา
- 2) การใช้อัลกอริทึมในการวิเคราะห์ประมวลผลค่าพลังงาน
- 3) การทดสอบการทำงานของหลอด LED1 ของเครื่องวัดพลังงานไฟฟ้าอิเล็กทรอนิกส์ร่วมกับเครื่องวัดพลังงานไฟฟ้ามาตรฐาน
- 4) การทดสอบวิธีการประมวลผลภาพ โดยการป้อนโหลดที่ทราบค่า ซึ่งวัดค่าด้วยเครื่องวัดพลังงานไฟฟ้ามาตรฐาน ผ่านเครื่องวัดค่าพลังงานไฟฟ้าแบบอิเล็กทรอนิกส์

5) การทดลองให้ผู้ปฏิบัติใช้งานวิธีการประมวลผลภาพประเมินผลความถูกต้องของเครื่องวัดพลังงานไฟฟ้าแบบอิเล็กทรอนิกส์

6) การวิเคราะห์และสรุปผลการตรวจสอบเครื่องวัดพลังงานไฟฟ้าแบบอิเล็กทรอนิกส์

3.1 การศึกษาความเป็นไปได้ในการใช้งานกล้องดิจิทัลจับภาพเพื่อนับค่าเวลา

การทดลองเบื้องต้นเป็นการทดลองเพื่อทดสอบสมมุติฐานที่ว่าสามารถใช้กล้องดิจิทัลวัดค่าพลังงานของเครื่องวัดพลังงานไฟฟ้าที่ทำการทดสอบได้ ในการบันทึกภาพการทำงานของเครื่องวัดพลังงานไฟฟ้านี้ จะเริ่มทำการทดสอบเก็บข้อมูลและบันทึกผลการทดลองเพื่อหาขนาดของภาพรูปแบบการบันทึกภาพและจุดติดตั้งกล้องดิจิทัลที่เหมาะสม จากนั้นนำภาพที่ได้มาประมวลผลนับค่าเวลาการทำงานของเครื่องวัดพลังงานไฟฟ้า เครื่องมือและอุปกรณ์ที่ใช้ในขั้นตอนนี้ ได้แก่ กล้องดิจิทัลและเครื่องวัดพลังงานไฟฟ้าแบบอิเล็กทรอนิกส์

กล้องดิจิทัลที่นำมาใช้บันทึกภาพการทำงานของเครื่องวัดพลังงานไฟฟ้ามีรายละเอียด ดังนี้



ภาพที่ 3.3 กล้องดิจิทัลผลิตภัณฑ์ ANITECH รุ่น IR160

คุณสมบัติกล้องดิจิทัลผลิตภัณฑ์ ANITECH รุ่น IR160

1) กล้องอินฟราเรด สามารถใช้ในที่มืด หรือแสงน้อยได้

2) ความละเอียด 16 ล้านจุดภาพหมุนได้ 360 องศา

3) ภาพเคลื่อนไหว 2 ล้านจุดภาพ (30 fps)

เครื่องวัดพลังงานไฟฟ้าผลิตภัณฑ์ EDMi รุ่น Mk6N มีรายละเอียด ดังนี้

มิเตอร์ EDMi รุ่น Mk6N เป็นมิเตอร์แบบอิเล็กทรอนิกส์ สามารถใช้งานได้กับระบบไฟฟ้า 3 เฟส และ 1 เฟส ซึ่งมิเตอร์สามารถที่จะวัดค่าพลังงานไฟฟ้าจริง (kWh) พลังงานไฟฟารีแอกทีฟ

(kVarh) และพลังงานไฟฟ้าประจุ (kVAh) โดยสามารถที่จะทำการบันทึกค่าต่างๆ พร้อมทั้งเวลาได้โดยแสดงผลได้ทั้ง 4 ทิศทาง (Quadrant) สามารถอ่านข้อมูลค่าทางไฟฟ้าต่างๆ รวมทั้งข้อมูลการใช้ไฟฟ้าจากหน้าจอ LCD ได้ และสามารถโอนถ่ายข้อมูลไปยังคอมพิวเตอร์ได้ ค่าพลังงาน Active Energy (Wh), Reactive Energy (Varh) จะแสดงค่าผ่านทางหลอด LED1 และ LED2 ตามลำดับ มีค่าเท่ากับ 1000 impulse/kWh ส่งสัญญาณกระพริบซึ่งค่าเวลาในการกระพริบสัมพันธ์กับค่าพลังงานไฟฟ้าที่ใช้ไป ณ ขณะนั้น

ข้อกำหนดการติดตั้งใช้งานเครื่องวัดพลังงานไฟฟ้าผลิตภัณฑ์ EDMI รุ่น Mk6N มีดังนี้

- 1) พิกัดแรงดัน (Rated Voltage): 57 V_{L-N} to 240 V_{L-N}
- 2) พิกัดกระแส (Rated Current): 5(6) A แบบต่อผ่านหม้อแปลงกระแส (CT Connect)
- 3) ความถี่ (Frequency): 50 Hz
- 4) อุณหภูมิใช้งาน (Operating Temperature): -25 ถึง +60 °C
- 5) ความชื้นสัมพัทธ์ (Humidity): 0 ถึง 100 %
- 6) ส่วนประกอบของมิเตอร์



ภาพที่ 3.4 เครื่องวัดพลังงานไฟฟ้าผลิตภัณฑ์ EDMI รุ่น Mk6N

ตารางที่ 3.1 ส่วนประกอบของเครื่องวัดพลังงานไฟฟ้าผลิตภัณฑ์ EDMI รุ่น Mk6N [8]

ส่วนประกอบ	คำอธิบาย
จอแสดงผล	ใช้สำหรับแสดงค่าต่างๆ ที่มิเตอร์อ่านได้
LED kWh	เป็น LED1 สำหรับใช้ในการทดสอบมิเตอร์
LED kvarh	เป็น LED2 สำหรับใช้ในการทดสอบมิเตอร์
ปุ่มรีเซ็ตคิมานต์	ใช้รีเซ็ต Billing และ Max Demand แบบ Manual
ปุ่มเปลี่ยนหน้าจอ	ใช้เพื่อกดเปลี่ยนคุณค่าต่างๆ แบบ Manual
Optical Port	ใช้สำหรับติดต่อสื่อสารระหว่างคอมพิวเตอร์กับมิเตอร์เพื่ออ่านข้อมูลต่างๆ
ฝาครอบเทอร์มินอลต่างๆ	ใช้ครอบเทอร์มินอลต่างๆ ของมิเตอร์
เทอร์มินอล	

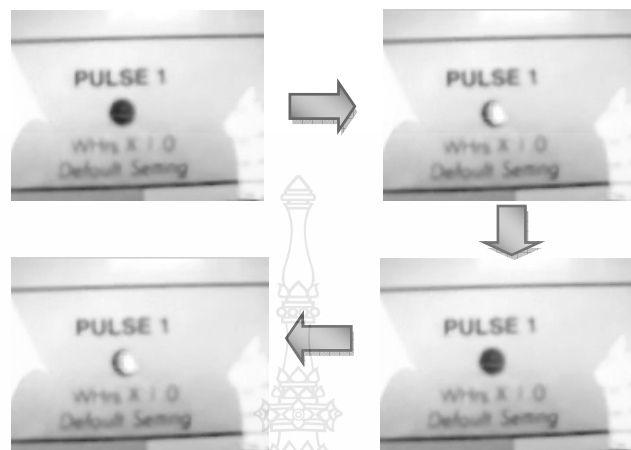
ขั้นตอนการทดสอบ

1) การตรวจสอบเครื่องวัดพลังงานไฟฟ้าแบบอิเล็กทรอนิกส์เพื่อนำค่าพลังงานไฟฟ้าที่เครื่องวัดบันทึกค่าปัจจุบันได้ โดยการสังเกตการทำงานของหลอด LED1 โดยใช้โปรแกรม Matlab Simulink รับภาพจากกล้องดิจิทัลผ่านสายสัญญาณเข้าพอร์ต USB ของคอมพิวเตอร์นำภาพที่ได้มาประมวลผลเพื่อนับค่าเวลา ดังนั้นจึงเลือกจุดติดตั้งกล้องดิจิทัลบันทึกการทำงานของเครื่องวัดจะติดตั้งบริเวณหลอด LED1 ดังภาพที่ 3.5



ภาพที่ 3.5 ตำแหน่งบันทึกการทำงานของเครื่องวัด

2) บันทึกการทำงานของหลอด LED1 โดยใช้ขนาดเล็กที่สุด (160×120 พิกเซล) ที่กล้องดิจิตัลสามารถตั้งค่าได้ เนื่องจากค่าความละเอียดน้อยทำให้การประมวลผลรวดเร็วขึ้น



ภาพที่ 3.6 การทำงานใน 1 รอบของหลอด LED1 ที่บันทึกได้

3) พิจารณาค่าการกระแสของหลอด LED1 ที่สามารถเป็นไปได้ ดังนี้ เครื่องวัดพลังงานไฟฟ้าผลิตภัณฑ์ EDMI รุ่น Mk6N ที่ทำการทดสอบเป็นแบบ 3 เฟส พิกัด 5 แอมป์ 230/400 โวลต์ มีค่าจำนวนอิมพลัส/กิโลวัตต์ชั่วโมง เท่ากับ 1,000 อิมพลัส/กิโลวัตต์ชั่วโมง จากสมการหาค่ากำลังไฟฟ้าจริงสูงสุด

$$P_{Max} = \sqrt{3} \times V_L \times I_{L,Max} \times \cos \theta \quad (3.1)$$

โดยที่ P_{Max} คือ กำลังไฟฟ้าจริงสูงสุด (วัตต์)

V_L คือ แรงดันระหว่างสายเฟส (โวลต์)

$I_{L,Max}$ คือ กระแสในสายสูงสุด (แอมป์)

$\cos \theta$ คือ ตัวประกอบกำลังไฟฟ้า

แทนค่าสมการที่ 3.1 จะได้

$$P_{Max} = \sqrt{3} \times 400 \times 5A \times 1 = 3,464.102 \text{ วัตต์} = 3.464 \text{ กิโลวัตต์}$$

จากสมการที่ 2.12 หาค่าเวลาได้

$$T = \frac{3600 \times N \times CT_{RATIO} \times PT_{RATIO}}{(\text{Im } p / kWh) \times P_M} \quad (3.2)$$

$$T = \frac{3,600 \times 1 \times 1 \times 1}{1,000 \times 3.464}$$

และ

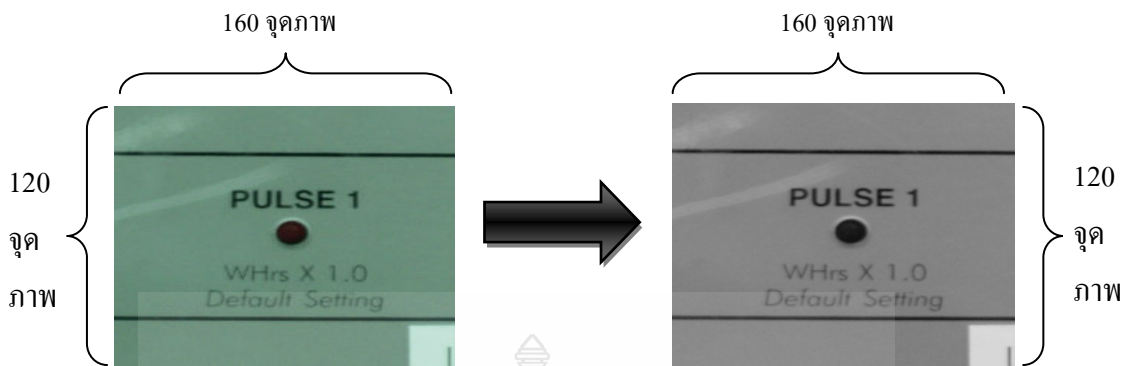
$$T = \frac{3.600}{3.464} = 1.039 \text{ วินาที}$$

เพราะจะนั่นค่าเวลาการกระพริบของหลอด LED1 ที่เร็วที่สุดคือ 1.039 วินาที ซึ่งคุณสมบัติของกล้องดิจิทัลมีความไวถึง 30 เฟรมต่อวินาที ดังนั้นสามารถนำมาใช้นับค่าเวลาการทำงานของหลอด LED1 ได้

3.2 การใช้อัลกอริทึมในการวิเคราะห์ประมวลผลค่าเวลา

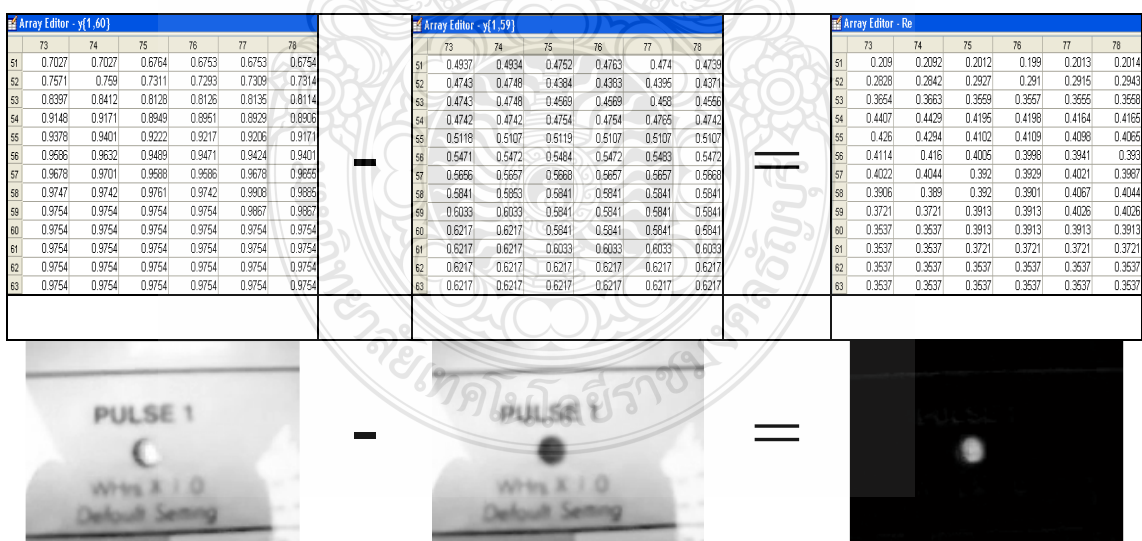
ในขั้นตอนนี้จะนำภาพที่บันทึกได้จากขั้นตอนที่ 3.1 มาประมวลผลหาค่าเวลาโดยใช้เทคนิคการลบจุดภาพ (Subtraction) และการตรวจระดับจุดเริ่มเปลี่ยน (Threshold) ความสว่างของจุดภาพ จากนั้นใช้อัลกอริทึมที่ออกแบบในการแปลงภาพที่บันทึกได้มาคำนวณให้ได้เป็นค่าเวลาโดยมีขั้นตอน ดังนี้

1) นำภาพสีในแต่ละเฟรมแปลงเป็นภาพระดับสีเทา (RGB to Gray Scale) ซึ่งเป็นกระบวนการที่ทำให้ความเข้มของแมสีมีระดับเดียวกัน (Intensity Transformation) คือในพิกเซลหนึ่งนั้นจะประกอบไปด้วยสี R, G, B ซึ่งค่าทั้งสามนี้จะทำให้มีความยากต่อการประมวลผล ดังนั้นต้องมีการทำให้ภาพมีความเข้มของสีในระดับเดียวกันก่อน ดังภาพที่ 3.8



ภาพที่ 3.7 การแปลงภาพสี RGB เป็นภาพระดับสีเทา

2) นำภาพระดับสีเทาที่มีระดับสีตั้งแต่ 0 - 100 % ของค่า 255 โดยที่ใช้ภาพขนาด 160×120 จุดภาพ แต่ละเฟรมมาลบกันเพื่อหาความแตกต่างของจุดภาพ โดยที่นำภาพข้างหน้ามาลบกับภาพปัจจุบัน $\{(N + 1) - N\}$ ซึ่งภาพในแต่ละเฟรมที่ลบกันนั้น เมื่อมีการลบเมทริกซ์ที่มีขนาดเท่ากัน 160×120 จุดภาพ ซึ่งเมทริกซ์สองเมทริกซ์สามารถลบกันได้ ถ้าเมทริกซ์ทั้งสองมีขนาดเท่ากัน วิธีการลบ เช่นเดียวกับการลบทางพีชคณิต กล่าวคือนำสมาชิกที่อยู่ในตำแหน่งเดียวกันลบกันตามปกติ และจะได้เมทริกซ์ผลลัพธ์ที่มีขนาดเท่าเดิม ดังภาพที่ 3.8



ภาพที่ 3.8 การลบจุดภาพในระดับภาพสีเทา

3) ตรวจสอบระดับจุดเริ่มเปลี่ยน (Threshold) ความสว่างของจุดภาพและจับตำแหน่งภาพที่มีการเปลี่ยนแปลงเพื่อแปลงเป็นค่าเวลาที่หลอด LED1 ของเครื่องวัดพลังงานไฟฟ้าจะทำงาน เป็นการแปลงข้อมูลภาพที่มีความเข้มข้นหลายระดับ ให้เป็นภาพที่มีระดับความเข้มเพียง 2 ระดับ คือ 0 กับ 1 หรือเรียกอีกอย่างว่า Binary ซึ่ง 1 หมายถึงจุดภาพที่มีสีขาว และ 0 หมายถึงจุดภาพที่มีสีดำ การแปลงภาพเป็น Binary จึงมีความสำคัญมากในการแสดงผลภาพที่มีระดับความเข้มของภาพหลายระดับบนอุปกรณ์ที่มีความสามารถในการแสดงผลได้ 2 ระดับ และประโยชน์ในการลดพื้นที่เก็บข้อมูลภาพให้เหลือเพียง 2 บิตในการสร้างภาพ Binary นั้น สามารถทำได้โดยการใช้เทคนิคการทำเทอร์โซล (Threshold Techniques) โดยพิจารณาว่าจุดใดควรเป็นจุดขาวหรือจุดดำ จะกระทำโดยการเปรียบเทียบกันระหว่างจุดภาพเริ่มต้นกับค่าคงที่ค่าหนึ่งเรียกว่าค่า Threshold หากค่าของพิกเซลมีค่าน้อยกว่า Threshold ให้พิกเซลนั้นเป็น 0 และหากพิกเซลนั้นมีค่ามากกว่า Threshold ให้พิกเซลนั้นมีค่าเป็น 1



ภาพที่ 3.9 การตรวจสอบระดับจุดเริ่มเปลี่ยนความสว่างของภาพ



ภาพที่ 3.10 การจับลำดับภาพ

การนำตำแหน่งภาพมาแปลงเป็นค่าเวลา ได้จากสมการที่ 2.18 ดังนี้ ตัวอย่างเช่น ภาพที่หยุดการจับภาพอยู่ในลำดับภาพที่ 90 และตำแหน่งที่เริ่มจับภาพอยู่ในลำดับภาพที่ 30 โดยที่กล้องดิจิทัล มีค่า Frame Rate เท่ากับ 30 fps

$$\text{เวลา (วินาที)} = \frac{90 - 30 \text{ (ภาพ)}}{30 \text{ (ภาพต่อวินาที)}} = 2 \text{ วินาที}$$

4) นำค่าเวลาที่นับได้มาแทนค่าในสมการแปลงเป็นค่ากำลังไฟฟ้าจริง ได้จากสมการที่ 2.12 ดังนี้ ตัวอย่างเช่น เครื่องวัดพลังงานไฟฟ้ามีค่า Revolution/kWH เท่ากับ 1,000 ต่อร่วมกับ หน่วยแปลงกระแสแรงสูงขนาด 10/5 แอมป์ และหน่วยแปลงแรงดันแรงสูงขนาด 22,000/110 โวลต์

$$P_M = \frac{3600 \times 1 \times 2 \times 200}{(1000) \times 2} = 720 \text{ กิโลวัตต์}$$

ดังนั้นสรุปได้ว่าอัลกอริทึมที่ใช้ร่วมกับเทคโนโลยีประมวลผลภาพสามารถนับค่าเวลาการทำงานจากภาพที่บันทึกได้ และสามารถแปลงเป็นค่ากำลังไฟฟ้าจริงที่เครื่องวัดพลังงานไฟฟ้าแบบอิเล็กทรอนิกส์บันทึกได้

3.3 การทดสอบการทำงานหลอด LED1 ของเครื่องวัดพลังงานไฟฟ้าแบบอิเล็กทรอนิกส์ร่วมกับเครื่องวัดพลังงานไฟฟ้ามาตรฐาน

ในขั้นตอนนี้ใช้หลอดอินเคนเรสเซ็นต์จำนวน 6 หลอด (200 วัตต์ x 5 หลอด และ 100 วัตต์ x 1 หลอด) ซึ่งสามารถปรับค่าได้ 0 – 1,100 วัตต์ ระดับละ 100 วัตต์ โดยใช้เครื่องวัดพลังงานไฟฟ้ามาตรฐานมาตรวัดค่ากำลังไฟฟ้าจริง แล้วนำข้อมูลที่บันทึกได้เปรียบเทียบกับการทำงานของหลอด LED1 ของเครื่องวัดพลังงานไฟฟ้าแบบอิเล็กทรอนิกส์เครื่องมือตรวจวัดคุณภาพกำลังไฟฟ้าผลิตภัณฑ์ DRANETZ รุ่น PV 440 มีรายละเอียดดังต่อไปนี้



ภาพที่ 3.11 เครื่องวัดพลังงานไฟฟ้ามาตรฐานผลิตภัณฑ์ DRANETZ รุ่น PV 440 [9]

เนื่องจากเครื่องวัดพลังงานไฟฟ้าแบบอิเล็กทรอนิกส์มีพิกัดกระแส 5 แอมป์ต่อหนึ่งเฟส การคำนวณหาพิกัดกำลังไฟฟ้าสูงสุดต่อหนึ่งเฟส ได้ดังนี้

$$P_{Max} = V_p \times I_{p,Max} \times \cos\theta \quad (3.3)$$

โดยที่ P_{Max} คือ กำลังไฟฟ้าจริงสูงสุด (วัตต์)

V_p คือ แรงดันไฟฟ้า (โวลต์)

$I_{p,Max}$ คือ กระแสไฟสูงสุด (แอมเปอร์)

$\cos\theta$ คือ ตัวประกอบกำลังไฟฟ้า

จะได้

$$P_{Max} = 220 \times 5 \times 1 = 1,100 \text{ วัตต์}$$

การทดสอบใช้หลอดอินแคนเรสเซ็นต์เป็นโหลดคงที่ โดยป้อนโหลดครึ่งละ 100 วัตต์ ตั้งแต่ 0 – 1,100 วัตต์ ผ่านเครื่องวัดพลังงานไฟฟ้าแบบอิเล็กทรอนิกส์ซึ่งมีคุณสมบัติ 1,000 อิมพัลส์ ต่อ กิโลวัตต์ชั่วโมง และอัตราส่วนมีค่าเท่ากับ 1 โดยใช้เครื่องวัดพลังงานไฟฟ้ามาตรฐานบันทึกค่า พลังงานจริงของโหลดแต่ละระดับ จากนั้นคำนวณค่าเวลาด้วย สมการที่ 3.2 เปรียบเทียบกับค่าเวลาที่ หลอด LED1 ทำงาน

การติดตั้งเครื่องวัดพลังงานไฟฟ้า โหลดทดสอบและทำการทดสอบหลอด LED1

1) นำเครื่องวัดพลังงานไฟฟ้าอิเล็กทรอนิกส์ติดตั้งบนแพงทดสอบเพื่อเตรียมทดสอบ

หลอด LED1



ภาพที่ 3.12 การติดตั้งเครื่องวัดพลังงานไฟฟ้าแบบอิเล็กทรอนิกส์บันແຜງทดสอบ

2) นำโหลด (หลอดอินแคนเดสเซ็นต์) ติดตั้งบนແຜງทดสอบจำนวน 6 หลอด (200 วัตต์ x 5 หลอด และ 100 วัตต์ x 1 หลอด)



ภาพที่ 3.13 การติดตั้งหลอดอินแคนเดสเซ็นต์บนແຜງทดสอบ

3) ตรวจค่าพลังงานไฟฟ้าจริงโดยใช้เครื่องวัดพลังงานไฟฟ้ามาตรฐานเปรียบเทียบกับหลอด LED1



ภาพที่ 3.14 การทดสอบการทำงานของหลอด LED1

4) ตั้งค่าโปรแกรมเครื่องวัดพลังงานไฟฟ้ามาตรฐานบันทึกค่ากำลังไฟฟ้าจริง



ภาพที่ 3.15 การปรับตั้งค่าโปรแกรมการวัดของเครื่องวัดพลังงานไฟฟ้ามาตรฐาน

3.4 การทดสอบวิธีการประมวลผลภาพ โดยการป้อนโหลดที่ทราบค่า ชี้วัดค่าด้วยเครื่องวัดพลังงานไฟฟ้ามาตรฐานผ่านเครื่องวัดค่าพลังงานไฟฟ้าแบบอิเล็กทรอนิกส์

ในขั้นตอนนี้ใช้กล้องดิจิทัลบันทึกภาพการทำงานหลอด LED1 โดยป้อนโหลดครึ่งละระดับผ่านเครื่องวัดพลังงานไฟฟ้าแบบอิเล็กทรอนิกส์ พร้อมทั้งใช้เครื่องวัดพลังงานไฟฟ้ามาตรฐานวัดค่าพลังงานไฟฟ้าจริงเปรียบเทียบกับวิธีการประมวลผลภาพ เพื่อประเมินผลความถูกต้องของเครื่องวัดพลังงานไฟฟ้าแบบอิเล็กทรอนิกส์

วิธีการประมวลผลภาพ เป็นการนำภาพที่เป็นสัญญาณอนาล็อกแปลงเป็นสัญญาณดิจิทัล เพื่อใช้ในการประมวลผลผ่านทางคอมพิวเตอร์ ซึ่งใช้กล้องเว็บแคมจับภาพการทำงานของเครื่องวัด พลังงานไฟฟ้าทางหลอด LED1 ที่มีความสัมพันธ์กับค่าพลังงานไฟฟ้าจริง แล้วนำสัญญาณภาพที่เป็น RGB แปลงให้เป็น Gray Scale เพื่อเปรียบเทียบระดับสีได้ง่าย จากนั้นหาค่าผลต่างระหว่างภาพปัจจุบันกับภาพถัดไปจะทราบตำแหน่งภาพที่หลอด LED1 กระพริบ เมื่อหลอด LED1 กระพริบครั้งที่ 1 โปรแกรมประมวลผลทำการแปลงภาพเป็นภาพขาว-ดำ และนับจำนวนพิกเซลที่มีค่าเป็น 1 หากจำนวนพิกเซลมีค่าเป็น 1 เกินค่า Threshold ให้บันทึกตำแหน่งภาพ พร้อมทั้งทำการวัดค่าพลังงานจากเครื่องวัดคุณภาพไฟฟ้า จากนั้นหาค่าผลต่างตำแหน่งของภาพนำมาคำนวณเป็นเวลาเฉลี่ย 1 รอบการทำงาน ของเครื่องวัดพลังงานไฟฟ้าจากอัตรา Frame Rate มาคำนวณค่าพลังงานไฟฟ้าจริงและเปรียบเทียบค่าพลังงานไฟฟ้าจริงจากเครื่องวัดคุณภาพไฟฟ้า

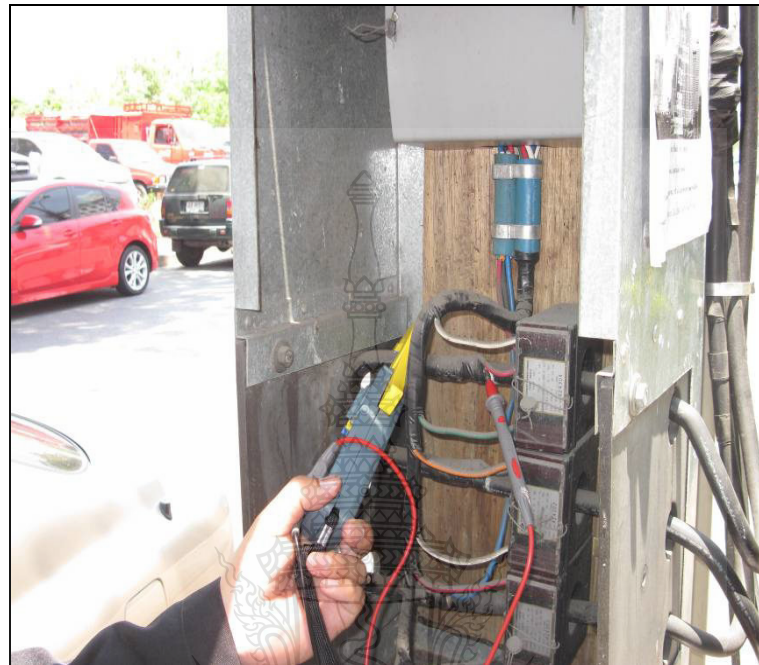


ภาพที่ 3.16 การประยุกต์ใช้เทคโนโลยีการประมวลผลภาพตรวจสอบเครื่องวัดพลังงานไฟฟ้าแบบ อิเล็กทรอนิกส์

3.5 การทดลองให้ผู้ปฏิบัติใช้งานวิธีการประมวลผลภาพ ประเมินผลความถูกต้องของเครื่องวัด พลังงานไฟฟ้าแบบอิเล็กทรอนิกส์

ในที่นี้ได้นำวิธีการประมวลผลภาพให้ผู้ปฏิบัติทดลองใช้งานตรวจสอบเครื่องวัดพลังงานไฟฟ้าแบบอิเล็กทรอนิกส์ที่ติดตั้งใช้งานอยู่ตามสถานประกอบการ โดยเปรียบเทียบกับวิธีการเดิมซึ่งใช้นาฬิกาจับเวลา r วิ่งกับเคลื่มปืนอ่อนเพาเวอร์มิเตอร์มาประเมินผลความถูกต้องโดยมีขั้นตอนดังนี้

- 1) ทำการติดตั้งเครื่องวัดแคล้มปือ่อนเพาเวอร์มิเตอร์ บันทึกค่าแรงดันกระแส ตัวประกอบกำลัง ลำดับเฟส ทั้ง 3 เฟส



ภาพที่ 3.17 การวัดกำลังไฟฟ้าจริงด้วยแคล้มปือ่อนเพาเวอร์มิเตอร์

- 2) จับเวลาการทำงานของหลอด LED1 และบันทึกค่าเวลาในแบบฟอร์มตรวจสอบมิเตอร์



ภาพที่ 3.18 การวัดค่าเวลาและคำนวนค่ากำลังไฟฟ้าจริงจาก LED1

4) บันทึกผลการประเมินความถูกต้องของเครื่องวัดพลังงานไฟฟ้าลงในแบบฟอร์ม
มต.ทม. 5

<u>ตารางที่ใช้ร่วมกันนี้</u>					
 แบบฟอร์มการตรวจสอบมิเตอร์ อัตรา ○ TOU ○ TOD ลักษณะการเดินด้วย ○ 3 เทส 4 สาย ○ CT.แบบ ○ CT.PT					
ชื่อไฟฟ้า _____ หมายเหตุไฟฟ้า _____ ค่าไฟฟ้า _____ KWh-Meter หลักกันชน์ _____ กะบาท _____ แมลงวัน _____ โวต์ มิเตอร์ _____ กว่า _____ สาม รอบต่อวันที่เข้าไป PEAK.NO. _____ SER.NO. _____ KW/HOUR _____ KW.SUM.กwh. KWh-Meter หลักกันชน์ _____ กะบาท _____ แมลงวัน _____ โวต์ มิเตอร์ _____ กว่า _____ สาม รอบต่อวันที่เข้าไป PEAK.NO. _____ SER.NO. _____ KVAr/HOUR _____ KVAr.SUM.kwh.					
อุปกรณ์ประกอบ CT.radio A. PT.radio /..... V. หน้าจอป้อง VA. ครบทุกตัวมิเตอร์ หมายเหตุ () ปกติ () ไม่ปกติ () ไม่มี ครบทุกตัวฟ้าครอบนาทีสองอย่าง หมายเหตุ () ปกติ () ไม่ปกติ () ไม่มี ครบทุกตัวฟ้าครอบห้ามิเตอร์ หมายเหตุ () ปกติ () ไม่ปกติ () ไม่มี					
บันทึกการล้างล้อ	หน่วยเมตร	(Rate A)	(Rate B)	(Rate C)	จำนวนครั้ง
ล้อเบรคซึ่งไม่ดู					
ล้อเบรคซึ่งดู					
ล้อเบรคซึ่งดู					
KWh-Meter หลัก รอบปัจจุบัน วันที่ 15 Active Power = kW. (in code 093,097)=..... kW KWh-Meter หลัก รอบปัจจุบัน วันที่ 15 Active Power = kW. (in code 197,198,199)=..... kW					
<input checked="" type="radio"/> วันที่ 3 เทส 3 สาย <input type="radio"/> วันที่ 3 เทส 4 สาย					
ผู้ทดสอบ	Vab = V	Vba = V	Vbc = V	(.....) RST	
ผู้ทดสอบ	Vab = V	Vba = V	Vbc = V	(.....) TSR	
ผู้ทดสอบ	Ia= A	Ib= A	Ic= A	(....) Ps (....) Sec	
PF ผู้ทดสอบ	cos Ø a = () Lag () Lead บุญ	cos Ø b = () Lag () Lead บุญ	cos Ø c = () Lag () Lead บุญ	cos Ø หน้าจอ PF.sum = () Lag () Lead บุญ Ø TAN(Vac/w)	
sin Ø ผู้ทดสอบ	sin Ø a = cos Ø ที่ใช้สำหรับเดิน สายตั้งกลับและต่อ	sin Ø b = cos Ø b = () Lag () Lead บุญ	sin Ø c = cos Ø c = () Lag () Lead บุญ	sin Ø = kW sin Ø = kVAc sin Ø = kW	
ผู้ทดสอบ kW. kW. kW. kW.	
ผู้ทดสอบ kVAc kVAc kVAc kVAc	
ผู้ทดสอบ kW. kW. kW. kW.	
ปั๊มน้ำและต่อ	A(.....) ที่ทำงาน () ไม่ที่ทำงาน	B(.....) ที่ทำงาน () ไม่ที่ทำงาน	C(.....) ที่ทำงาน () ไม่ที่ทำงาน		
วันที่ : ๒๖๐๙ น. ในที่นี้มิเตอร์ วันที่ : ๒๖๐๙ น. มืออุปกรณ์จะตรวจสอบ สถานะเชื่อม น้ำที่ ห้องการตรวจสอบได้ศักดิ์สิทธิ์กันหมด ที่ฟ้ารอบ, Text terminal, และมิเตอร์ อุปกรณ์การตรวจสอบ ○ ปกติ ○ ไม่ปกติ					
ตรวจสอบ ผู้ตรวจสอบ ตรวจสอบ ผู้ตรวจสอบ (.....) (.....)					
มต.ทม.5					

ภาพที่ 3.19 แบบฟอร์มการประเมินผลความถูกต้องของเครื่องวัดพลังงานไฟฟ้า [3]

5) ใช้เทคโนโลยีประมวลผลภาพในการประเมินผลความถูกต้องเครื่องวัดพลังงานไฟฟ้าแบบอิเล็กทรอนิกส์

6) เปรียบเทียบการประเมินผลความถูกต้องของเครื่องวัดพลังงานไฟฟ้าแบบอิเล็กทรอนิกส์ด้วยวิธีการประมวลผลภาพกับวิธีการจับเวลาด้วยนาฬิกาจับเวลา

3.6 การวิเคราะห์และสรุปผลการตรวจสอบเครื่องวัดพลังงานไฟฟ้าแบบอิเล็กทรอนิกส์

จากข้อมูลที่ได้จัดเก็บไว้ (ในข้อ 3.5) เราจะนำข้อมูลมาเปรียบเทียบกับมาตรฐานการไฟฟ้าส่วนภูมิภาคเพื่อสรุปผลการตรวจสอบเครื่องวัดพลังงานไฟฟ้าว่าอยู่ในเกณฑ์ปกติหรือไม่ ซึ่งมาตรฐานการไฟฟ้าส่วนภูมิภาคกำหนดไว้ไม่เกิน $\pm 2.5\%$ [6] หากเกินค่าที่กำหนดคำนวณการวิเคราะห์หาสาเหตุต่อไป

3.7 บทสรุป

วิธีคำนวณการวิจัยในบทนี้ได้นำเสนอรายละเอียดขั้นตอนต่างๆ ในการใช้งานกล้องคิจทัลจับภาพเพื่อนับค่าเวลา การใช้เทคโนโลยีการประมวลผลภาพและคำนวณประเมินผลค่าพลังงาน การทดสอบวิธีการประมวลผลภาพ และการทดลองให้ผู้ปฏิบัติใช้งานวิธีการประมวลผลภาพมาประเมินผลความถูกต้องเครื่องวัดพลังงานไฟฟ้าแบบอิเล็กทรอนิกส์ ซึ่งผลการทดลองจะกล่าวไว้ในบทที่ 4 ต่อไป

บทที่ 4

วิเคราะห์ผลการทดสอบ

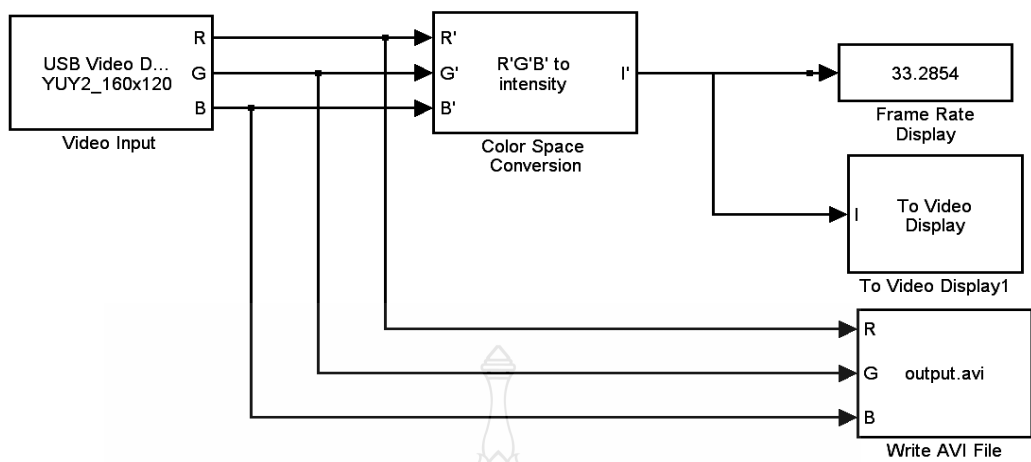
ในการดำเนินการวิจัยครั้งนี้เป็นการศึกษาเพื่อเปรียบเทียบถึงความถูกต้องของวิธีการตรวจสอบเครื่องวัดพลังงานไฟฟ้าแบบอิเล็กทรอนิกส์ นอกจากนี้ยังศึกษาถึงปัจจัยที่มีผลการทดสอบต่อการตรวจสอบเครื่องวัดพลังงาน ความสะดวกในการใช้งาน ความน่าเชื่อถือของวิธีการที่มีใช้อยู่ปัจจุบันกับวิธีการที่นำเสนอ

การวิจัยบทนี้จะแบ่งการทดสอบออกเป็น 2 ส่วน คือ การทดสอบในห้องปฏิบัติการและการทดสอบกับเครื่องวัดพลังงานไฟฟ้านั่นที่ติดตั้งใช้งานจริง

4.1 การทดสอบในห้องปฏิบัติการ

งานวิจัยนี้ได้ตั้งสมมุติฐานว่าสามารถนำภาพดิจิทัลที่บันทึกการทำงานของหลอด LED1 มาคำนวณหาค่าช่วงเวลาในการกระแสพิบูลของหลอด LED1 มาประยุกต์ใช้กับงานด้านการตรวจสอบความถูกต้องของเครื่องวัดพลังงานไฟฟ้าแบบอิเล็กทรอนิกส์ได้ งานวิจัยนี้ได้ใช้กล้องเว็บแคมบันทึกภาพการกระแสพิบูลของหลอด LED1 ซึ่งมีความสัมพันธ์กับค่ากำลังไฟฟ้าจริงที่จำกัดไว้กับโหมด จากนั้นใช้อัลกอริทึมที่ออกแบบในการแปลงภาพที่บันทึกได้มาคำนวณให้ได้เป็นค่าเวลา

การทดลองเพื่อทดสอบความเป็นไปได้ในการใช้งานกล้องดิจิทัลจับภาพโดยใช้โปรแกรม Matlab Simulink รับภาพจากกล้องดิจิทัลผ่านสายสัญญาณเข้าพอร์ต USB ของคอมพิวเตอร์นำภาพที่ได้มาประมวลผลเพื่อนับค่าเวลา สมมุติฐานของงานวิจัยนี้ได้บันทึกภาพดิจิทัลเป็นภาพสีขนาด 160×120 พิกเซล พร้อมแปลงภาพสีที่บันทึกได้เป็นภาพระดับสีเทาเพื่อสะดวกต่อการคำนวณ ดังภาพที่ 4.1



ภาพที่ 4.1 การรับภาพสีแปลงเป็นภาพระดับสีเทา



ภาพที่ 4.2 การบันทึกภาพด้วยกล้องคิจทัลบิวตี้เวนหลอด LED1



ภาพที่ 4.3 ระดับสีเทาเป็นอาร์เรย์ 1 มิติ

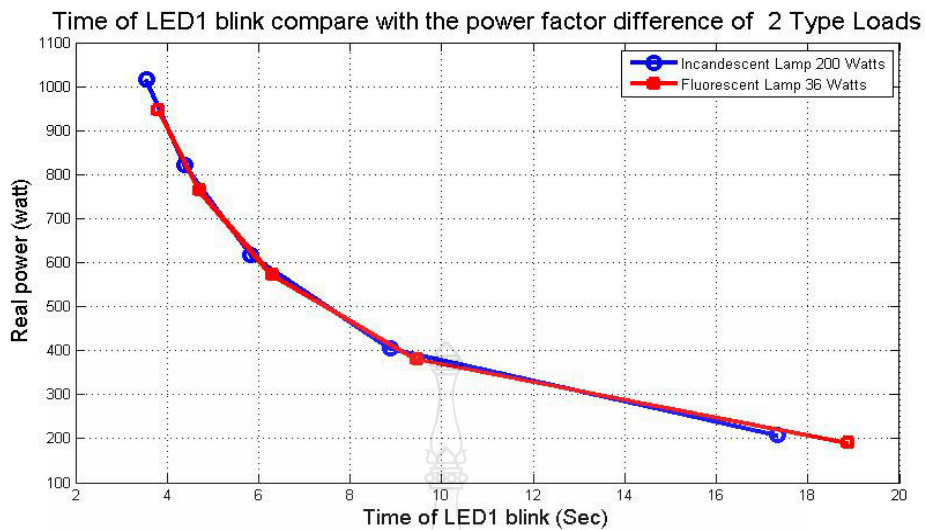
1) การทดสอบความสัมพันธ์ของโหลดกับการทำงานของโหลด LED1

โหลด LED1 เป็นตัวแสดงถึงอัตราการบริโภคพลังงานไฟฟ้า ซึ่งขึ้นอยู่กับค่ากำลังไฟฟ้า จริงและค่าเวลา เพราะฉะนั้นโหลดประเภท Inductive Load หรือ Capacitive Load ไม่ส่งผลต่อค่าเวลาในการกระพริบและหน่วยการใช้ไฟที่เกิดขึ้น (kWh) การทำงานของโหลด LED1 ถูกประมวลผลค่า กำลังไฟฟ้าจริงผ่านไมโครคอนโทรลเลอร์ ส่งสัญญาณพัลส์ออกทาง LED1 ในงานวิจัยนี้ได้ทำการ ทดสอบโดยป้อนโหลดเป็นโหลดอินแคนเดสเซนต์ ที่มีค่าตัวประกอบกำลังเท่ากับ 1 มีขนาด 200 วัตต์ จำนวน 5 โหลด โดยจ่ายโหลดครั้งละ 1 โหลด เปรียบเทียบกับการจ่ายโหลดโหลดฟลูออเรสเซนต์ ขนาด 36 วัตต์ มีค่าตัวประกอบกำลัง 0.95 ล้าหลัง จำนวน 25 ดวง โคม จ่ายโหลด ครั้งละ 5 ดวง โคม ผ่านเครื่องวัดพลังงานไฟฟ้า โดยบันทึกค่าแรงดัน กระแส และตัวประกอบกำลังจากเครื่องวัดพลังงานไฟฟ้ามาตรฐาน ซึ่งได้ผลการทดลองดังตารางที่ 4.1

ตารางที่ 4.1 การทดสอบค่าเวลาการกระพริบของโหลด LED1 ของเครื่องวัดพลังงานไฟฟ้าแบบ อิเล็กทรอนิกส์ด้วยโหลดที่มีค่าตัวประกอบกำลังต่างกัน

ลำดับ ที่	ค่าที่วัดได้จากเครื่องวัดพลังงานไฟฟ้าแบบอิเล็กทรอนิกส์									
	ป้อนโหลดโหลดอินแคนเดสเซนต์ขนาด 200 วัตต์					ป้อนโหลดโหลดฟลูออเรสเซนต์ขนาด 36 วัตต์				
	จำนวน โหลด	กระแส (แอมป์)	ตัว ประกอบ กำลัง	กำลังไฟฟ้า จริง (วัตต์)	เวลา LED (วินาที)	จำนวน โหลด	กระแส (แอมป์)	ตัว ประกอบ กำลัง	กำลังไฟฟ้า จริง (วัตต์)	เวลา LED (วินาที)
1	1	0.8869	1	207.57	17.34	5	0.8634	0.962	190.64	18.88
2	2	1.7590	1	404.80	8.89	10	1.7250	0.960	380.88	9.45
3	3	2.6624	1	617.70	5.83	15	2.6017	0.958	571.46	6.30
4	4	3.5510	1	822.50	4.38	20	3.4518	0.962	763.74	4.71
5	5	4.4090	1	1,015.40	3.55	25	4.3276	0.959	946.24	3.81

นำค่ากำลังไฟฟ้าจริงและค่าเวลาการกระพริบของโหลด LED1 ของเครื่องวัดพลังงานไฟฟ้าแบบอิเล็กทรอนิกส์ที่บันทึกได้ มาเปรียบเทียบบนกราฟเดียวกัน



ภาพที่ 4.4 เปรียบเทียบความสัมพันธ์ระหว่างค่าเวลาการกระพริบของหลอด LED1 กับค่ากำลังไฟฟ้าจริง โดยใช้โหลดที่มีเพาเวอร์แฟกเตอร์ต่างกัน 2 ประเภท

ผลการทดสอบนี้แสดงให้เห็นว่าความเร็วในการกระพริบของหลอด LED1 ของเครื่องวัดพลังงานไฟฟ้าแบบอิเล็กทรอนิกส์ ด้วยโหลดที่มีค่าตัวประกอบกำลังต่างกัน หากมีพิคัดกำลังไฟฟ้าจริงเท่ากัน ค่าเวลาการกระพริบของหลอด LED1 จะมีค่าเท่ากันด้วย ดังนั้นสามารถสรุปได้ว่าค่าเวลาการกระพริบของหลอด LED1 แปรผกผันกับค่ากำลังไฟฟ้าจริง และขึ้นอยู่กับค่า Revolution/kWh ดังสมการที่ 3.2

2) การนับจำนวนภาพเพื่อหาค่าเวลาในการกระพริบของหลอด LED1 ใน 1 รอบการทำงาน

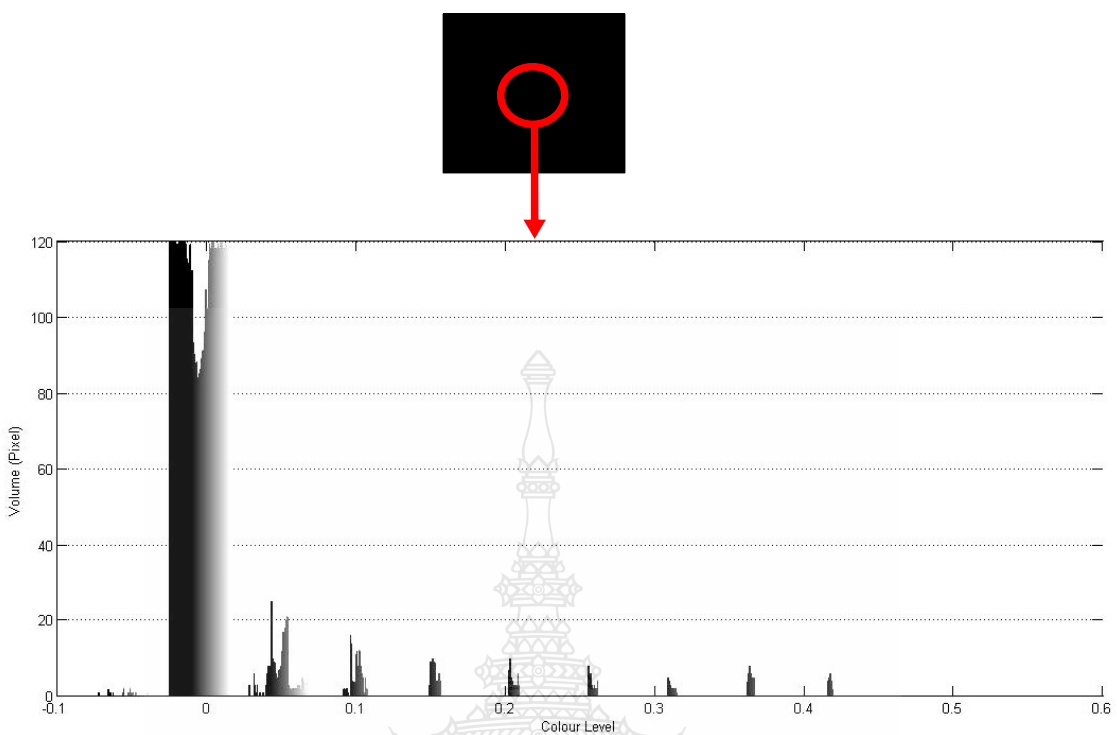
การทดสอบอัลกอริทึมเพื่อนับจำนวนภาพได้ใช้กล้องดิจิทัลบันทึกภาพการกระพริบของหลอด LED1 มาประมาณผล โดยแปลงภาพจากภาพสี (RGB) ที่มีขนาด 3 มิติ เป็นภาพระดับสีเทา (Gray) มีขนาดเพียง 1 มิติ ซึ่งมีค่าสีเป็น 0 ถึง 100 % (0 ถึง 255) เพื่อง่ายต่อการประมาณผล จากนั้นนำภาพมาลบกันพบว่าผลลัพธ์ของภาพที่นำมาลบกันมีความแตกต่างดังภาพที่ 4.5 โดยนำภาพลำดับก่อนหน้ามาลบกับภาพลำดับปัจจุบัน $[(n+1) - n]$ จะให้ผลลัพธ์สถานะการทำงานของหลอด LED1 ที่ใช้ในการนับจำนวนภาพเพื่อหาค่าเวลาได้ 4 สถานะ ดังนี้

ตารางที่ 4.2 การพิจารณาผลลัพธ์ของการควบคุมจุดภาพในสถานะต่างๆ

ลำดับที่	สถานะการทำงานของหลอด LED1		ผลลัพธ์การควบคุมจุดภาพ
	ภาพลำดับที่ n+1	ภาพลำดับที่ n	
1			[Redacted]
2			[Redacted]
3			[Redacted]
4			[Redacted]

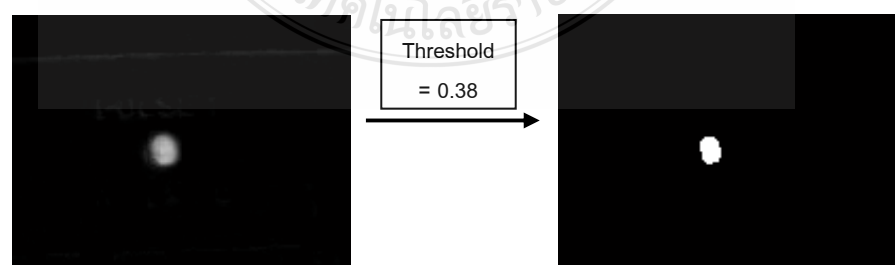
จากผลลัพธ์การควบคุมจุดภาพพบว่ามีสถานะการทำงานลำดับที่ 1 และ 3 เป็นภาพที่ไม่มีความแตกต่างกันผลลัพธ์การควบคุมจุดภาพจึงเป็นภาพสีเดียว ส่วนสถานะลำดับที่ 2 ผลลัพธ์ของค่าสีมีค่าเป็นลบ จึงแสดงผลลัพธ์เป็นภาพสีเดียวกัน ส่วนสถานะลำดับที่ 4 ผลลัพธ์ของค่าสีเป็นบวก จึงแสดงจุดสว่างของบริเวณหลอด LED1 ขึ้น จึงแสดงการพิจารณาจุดภาพของหลอด LED1 ให้เห็นเป็นตัวเลขอย่างง่าย

การนำผลลัพธ์การควบคุมจุดภาพจากตารางที่ 4.2 ลำดับที่ 4 มาพิจารณาความสว่างของจุดภาพบริเวณหลอด LED1 ด้วยอิสโทแกรมเพื่อหาค่า Threshold ที่เหมาะสมกับการแสดงผลของภาพหลอด LED ที่บันทึกค่าได้



ภาพที่ 4.5 การพิจารณาระดับความสว่างของจุดภาพ

พบว่าระดับสีในแต่ละจุดภาพหลังจากการลบกันแล้วจะมีค่าตั้งแต่ -0.06 ถึง 0.42 โดยจะพิจารณาใช้ระดับสีที่ 0.38 เป็นค่า Threshold เนื่องจากค่าที่เกิน 0.4 มีเพียงเล็กน้อย ซึ่งจะทำให้จำนวนจุดภาพที่นำมาพิจารณาความสว่างน้อยเกินไปจนไม่นำตำแหน่งภาพที่มีจุดสว่างของหลอด LED นั้นมาพิจารณา ในการทดสอบนี้จึงได้กำหนดค่าระดับความสว่างของจุดภาพสำหรับเครื่องวัดพลังงานไฟฟ้าผลิตภัณฑ์ EDMI ที่ทำการทดสอบเท่ากับ 0.38 โดยการพิจารณาจุดภาพที่มีค่ามากกว่า 0.38 จะถูกปรับค่าให้เป็น 1 (สีขาว) และจุดภาพใดมีค่าน้อยกว่า 0.38 จะถูกปรับค่าให้เป็น 0 (สีดำ) ตามภาพที่ 4.6 ดังนี้



ภาพที่ 4.6 การทดสอบระดับจุดเปลี่ยนภาพ

3) การทดสอบการนับภาพการทำงานของหลอด LED1 ใน 1 รอบการทำงาน

การทดสอบการนับตำแหน่งภาพการกระพริบของหลอด LED1 จากผลลัพธ์ที่ได้จากการลงภาพ มาพิจารณาช่วงการทำงานของเครื่องวัดพลังงานไฟฟ้าใน 1 รอบ ได้ดังนี้

ตารางที่ 4.3 ผลการทดสอบช่วงการทำงานของหลอด LED1 ใน 1 รอบการทำงาน

ผลลัพธ์จากการลงจุดภาพการทำงาน ของหลอด LED1 ในลำดับถัดมา	การพิจารณาตำแหน่งภาพ
	ไม่พิจารณา (หลอดดับ)
•	ตำแหน่งภาพเริ่มต้น (หลอดสว่าง)
	ไม่พิจารณา (หลอดดับ)
•	ตำแหน่งภาพสิ้นสุด (หลอดสว่าง)

การพิจารณาการทำงานของหลอด LED1 (สว่าง – ดับ) จะพิจารณาจากจำนวนจุดภาพที่มีค่าเป็น 1 (สีขาว) บริเวณหลอด LED1 ทั้งนี้ขึ้นอยู่กับขนาดของรูปภาพหลอด LED ที่บันทึกได้ โดยพิจารณาจำนวนจุดภาพที่มีค่าเป็น 1 ต้องมากกว่าหรือเท่ากับ 50 เปอร์เซ็นต์ของขนาดภาพหลอด LED เป็นสถานะหลอดสว่าง และหากจุดภาพที่มีค่าเป็น 1 น้อยกว่า 50 เปอร์เซ็นต์ของขนาดภาพหลอด LED เป็นสถานะหลอดดับ

การพิจารณาจำนวนภาพในช่วง 1 รอบการทำงาน โดยนำตำแหน่งภาพหลอด LED1 สว่างครั้งที่ 2 ลบกับตำแหน่งภาพหลอด LED1 สว่างครั้งที่ 1 ซึ่งผลการทดสอบการนับจำนวนภาพช่วงการกระพริบของหลอด LED1 ใน 1 รอบ จากอัลกอริทึมที่นำเสนอจะใช้สมการที่ 2.18 และ 3.2 มาประมาณเป็นค่าเวลาผลลัพธ์แสดงดังตารางที่ 4.4

ตารางที่ 4.4 การทดสอบอัลกอริทึมในการประมวลผลค่าเวลา

ลำดับที่	จำนวนภาพใน 1 รอบจากสมการ 2.18 (ภาพ)	ค่าเวลาที่คำนวณจากสมการที่ 3.2 (วินาที)
1	1061	35.381
2	520	17.343
3	352	11.739
4	259	8.650
5	209	6.988
6	175	5.836
7	150	5.024
8	132	4.417
9	118	3.962
10	107	3.568

จากผลการทดสอบโดยใช้อัลกอริทึมแปลงค่าจากจำนวนภาพที่บันทึกได้จากกล้องเว็บแคม แปลงเป็นค่าเวลา ในช่วงการกระพริบของหลอด LED1 ใน 1 รอบ ทั้งนี้ความละเอียดของค่าเวลาจะขึ้นอยู่กับอัตราเฟรมเรตของกล้องดิจิทัลที่นำมาใช้ ในการทดสอบ ได้ใช้กล้องดิจิทัลที่มีอัตราเฟรมเรตเท่ากับ 30 ดังนั้นความไวในการจับภาพต่อ 1 ภาพจะเท่ากับ $1/30$ วินาที = 33 มิลลิวินาที ดังนั้นสามารถใช้กล้องเว็บแคมในการประมวลผลค่าเวลาได้

การทดสอบการใช้อัลกอริทึมในการประมวลผลค่าเวลาที่บันทึกได้เป็นแปลงเป็นค่ากำลังไฟฟ้าจริง ดังตารางที่ 4.5

ตารางที่ 4.5 ผลการทดสอบการแปลงค่าเวลาที่บันทึกได้เป็นค่ากำลังไฟฟ้าจริง

ลำดับที่	เวลาที่หลอด LED1 ทำงาน (วินาที)	กำลังไฟฟ้าจริงจากอัลกอริทึม (กิโลวัตต์)
1	35.381	0.1020
2	17.343	0.2080
3	11.739	0.3070
4	8.650	0.4160
5	6.988	0.5150

ตารางที่ 4.5 ผลการทดสอบการแปลงค่าเวลาที่บันทึกได้เป็นค่ากำลังไฟฟ้าจริง (ต่อ)

ลำดับที่	เวลาที่หลอด LED1 ทำงาน (วินาที)	กำลังไฟฟ้าจริงจากอัลกอริทึม (กิโลวัตต์)
6	5.836	0.6170
7	5.024	0.7170
8	4.417	0.8150
9	3.962	0.9090
10	3.568	1.0090

ผลการทดสอบอัลกอริทึมในการแปลงค่าเวลาที่หลอด LED1 ทำงาน เป็นค่ากำลังไฟฟ้าจริง จากสมการที่ 2.12 ดังนี้สามารถนำค่ากำลังไฟฟ้าจริงที่ประมวลผลได้มาใช้ประเมินผลความถูกต้อง ของเครื่องวัดพลังงานไฟฟ้าได้

การกำหนดระยะเวลาการบันทึกภาพ พิจารณาจากช่วงเวลาการกระแสไฟฟ้าของหลอด LED1 ที่ให้หลอด 100 วัตต์ ซึ่งเป็นค่าต่ำสุด โดยใช้เครื่องวัดพลังงานไฟฟ้าผลิตภัณฑ์ EDMI รุ่น Mk6N มีค่า Revolution/kWh เท่ากับ 1,000 สามารถคำนวณค่าเวลาการกระแสไฟฟ้าของหลอด LED1 ได้เท่ากับ 36 วินาที ตามสมการที่ 3.2 จึงปรับตั้งค่าเวลาในการบันทึกภาพเท่ากับ 40 วินาที

จากการป้อนโหลดด้วยหลอดอินแคนเดสเซ็นต์ เพิ่มขึ้นครั้งละ 100 วัตต์ จนถึง 1,100 วัตต์ สามารถบันทึกผลค่ากำลังไฟฟ้าจริงจากเครื่องวัดพลังงานไฟฟ้ามาตรฐานเพื่อทำการทดสอบการทำงานของหลอด LED1 ดังแสดงในตารางที่ 4.6 ดังนี้

ตารางที่ 4.6 การทดสอบค่าเวลาการทำงานของหลอด LED1 เปรียบเทียบกับเครื่องวัดพลังงานไฟฟ้า มาตรฐาน

โหลด (วัตต์)	กำลังไฟฟ้าจริงจาก เครื่องวัดพลังงานไฟฟ้า มาตรฐาน (วัตต์)	เวลาที่คำนวณได้ จากค่ากำลังไฟฟ้าจริงที่ เครื่องวัดพลังงานไฟฟ้า มาตรฐานวัดได้ (วินาที)	เวลาที่ได้จากการ ประมวลผลภาพ (วินาที)	% ความคลาดเคลื่อน
100	101.8	35.363	35.381	-0.05
200	207.7	17.333	17.343	-0.06
300	307.0	11.726	11.739	-0.11
400	415.7	8.660	8.650	0.12

ตารางที่ 4.6 การทดสอบค่าเวลาการทำงานของหลอด LED1 เปรียบเทียบกับเครื่องวัดพลังงานไฟฟ้า มาตรฐาน (ต่อ)

โอลด์ (วัตต์)	กำลังไฟฟ้าจริงจาก เครื่องวัดพลังงานไฟฟ้า มาตรฐาน (วัตต์)	เวลาที่คำนวณได้ จากค่ากำลังไฟฟ้าจริงที่ เครื่องวัดพลังงานไฟฟ้า มาตรฐานวัดได้ (วินาที)	เวลาที่ได้จากการ ประมวลผลภาพ (วินาที)	% ความคลาดเคลื่อน
500	513.7	7.008	6.988	0.29
600	617.7	5.828	5.836	-0.14
700	713.2	5.048	5.024	0.48
800	816.0	4.412	4.417	-0.11
900	910.7	3.953	3.962	-0.23
1,000	1,012.0	3.557	3.568	-0.31
1,100	1,106.0	3.255	3.267	-0.37
% ความคลาดเคลื่อนเฉลี่ย				0.2

จากการบันทึกค่ากำลังไฟฟ้าจริงด้วยเครื่องวัดพลังงานไฟฟ้ามาตรฐาน พบว่าการบริโภค กำลังไฟฟ้าจริงของโอลด์อินแคนเดสเซ็นต์ มีค่าแตกต่างจากคลาดที่กำหนดไว้ จึงเลือกใช้ค่า กำลังไฟฟ้าจริง ที่วัดค่าได้จากเครื่องวัดพลังงานไฟฟ้ามาตรฐาน แปลงเป็นค่าเวลาด้วยสมการที่ 3.2 มา ทดสอบการประมวลผลค่าเวลาที่ได้จากการ ประมวลผลภาพ ซึ่งผลการทดสอบให้เปอร์เซ็นต์ความ คลาดเคลื่อนเฉลี่ยเท่ากับ 0.20 % ถือว่าอยู่ในเกณฑ์ที่ยอมรับได้ [1] สามารถนำไปใช้ตรวจจับค่าเวลา การทำงานของเครื่องวัดพลังงานไฟฟ้าแบบอิเล็กทรอนิกส์ได้

การทดสอบวิธีการประเมินผลความถูกต้องเครื่องวัดพลังงานไฟฟ้าแบบอิเล็กทรอนิกส์ด้วย วิธีการใช้นาฬิกาจับเวลา ร่วมกับแก็ลลี่ม่อนเพาเวอร์มิเตอร์และวิธีการประมวลผลภาพดิจิทัลมา เปรียบเทียบกับเครื่องวัดพลังงานไฟฟ้ามาตรฐาน ได้ผลการทดสอบดังตารางที่ 4.7 ดังนี้

ตารางที่ 4.7 ผลการทดสอบใช้วิธีการประมวลผลภาพดิจิทัลประเมินผลความถูกต้องเครื่องวัดพลังงานไฟฟ้าแบบอิเล็กทรอนิกส์เปรียบเทียบกับเครื่องวัดพลังงานไฟฟ้ามาตรฐาน

ค่าที่วัดได้จากเครื่องวัดพลังงานไฟฟ้ามาตรฐาน	ค่าที่ได้จากการประมวลผลภาพดิจิทัล		ค่าที่ได้จากการจับเวลา.rwm กับแคล้มปือ่อนเพาเวอร์มิเตอร์	
กำลังไฟฟ้าจริง (วัตต์)	กำลังไฟฟ้าจริง (วัตต์)	% ความคลาดเคลื่อน	กำลังไฟฟ้าจริง (วัตต์)	% ความคลาดเคลื่อน
101.8	102.86	1.04	101.64	-0.16
207.7	208.71	0.49	201.23	-3.12
307.0	306.45	-2.13	299.00	-2.61
415.7	416.32	0.15	394.74	-5.04
513.7	515.23	0.30	480.64	-6.44
617.7	617.08	-0.10	588.24	-4.77
713.2	717.20	0.56	688.34	-3.49
816.0	815.33	-0.08	745.34	-8.66
910.7	909.24	-0.16	845.07	-7.21
1,012.0	1,009.90	-0.21	906.80	-10.40
1,106.0	1,114.20	0.74	954.91	-13.66
% ความคลาดเคลื่อนเฉลี่ย		0.54		5.96

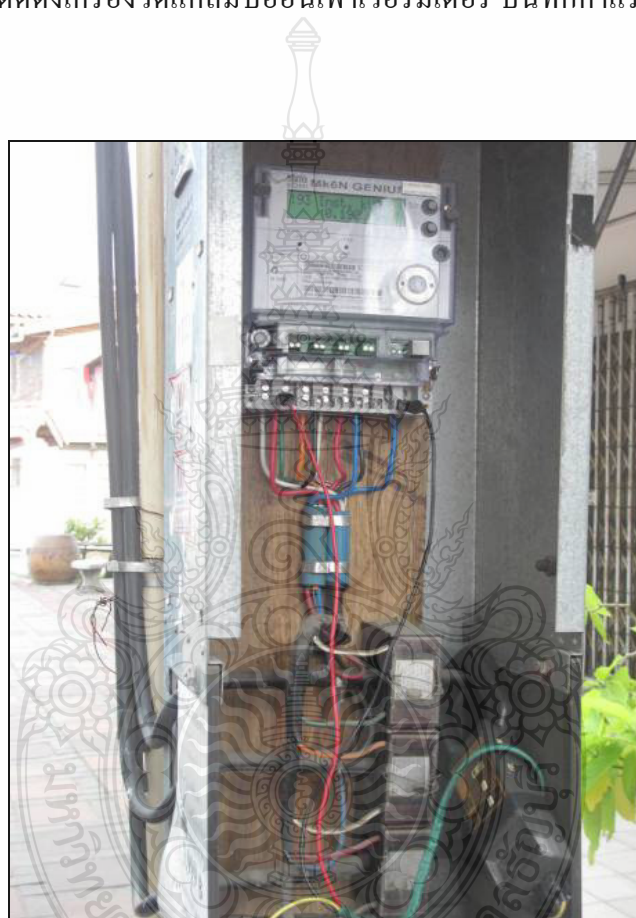
จากการทดสอบค่ากำลังไฟฟ้าจริงที่ได้จากการจับเวลา.rwm กับแคล้มปือ่อนเพาเวอร์มิเตอร์จะมีเปอร์เซ็นต์ความคลาดเคลื่อนเฉลี่ยสูงถึง $\pm 5.96\%$ ส่วนค่ากำลังไฟฟ้าจริงที่ได้จากการประมวลผลภาพมีค่าเปอร์เซ็นต์ความคลาดเคลื่อนเฉลี่ยเพียง $\pm 0.54\%$ ซึ่งอยู่ในเกณฑ์มาตรฐานที่การไฟฟ้าส่วนภูมิภาคยอมรับได้ [1] เพราะฉะนั้นวิธีจับเวลา.rwm กับแคล้มปือ่อนเพาเวอร์มิเตอร์มีความคลาดเคลื่อนสูงกว่าวิธีการประมวลผลภาพ ส่งผลให้การวิเคราะห์การทำงานเครื่องวัดพลังงานไฟฟ้าผิดพลาดและปัญหาข้างคงไม่ได้รับการแก้ไขอย่างถูกต้อง

ทั้งนี้ผลการทดสอบด้วยวิธีการประมวลผลภาพดิจิทัลอาจมีความคลาดเคลื่อนสูงถึง -2.13% อยู่บ้าง เนื่องจากขณะที่หลอด LED ทำงานมีจุดภาพที่สว่าง (มีค่าเป็น 1) น้อยกว่าค่าที่กำหนด จึงส่งผลให้ค่าเวลาเฉลี่ยมากขึ้น เมื่อนำมาคำนวณเป็นค่ากำลังไฟฟ้าจริงจะมีค่าต่ำลง ซึ่งสามารถแก้ไขได้โดยการติดตั้งกล้องดิจิทัลให้มีพื้นที่หลอด LED มากขึ้น หรือปรับตั้งค่าเทรดโซลด์ให้เหมาะสม

4.2 การทดสอบกับเครื่องวัดพลังงานไฟฟ้าบนพื้นที่ติดตั้งใช้งานจริง

การทดลองให้ผู้ปฏิบัติใช้งานวิธีการประมวลผลภาพประเมินผลความถูกต้องของเครื่องวัดพลังงานไฟฟ้าแบบอิเล็กทรอนิกส์ โดยการวิเคราะห์และสรุปผลการตรวจสอบเครื่องวัดพลังงานไฟฟ้าแบบอิเล็กทรอนิกส์ ด้วยวิธีการตรวจสอบมิเตอร์ไฟฟ้าด้วยแคล้มป้อมอนเพาเวอร์เฟสเดอร์และวิธีการประยุกต์ใช้เทคโนโลยีประมวลผลภาพตามขั้นตอนที่กล่าวไว้จากบทที่ 3 ดังต่อไปนี้

1) ทำการติดตั้งเครื่องวัดแคล้มป้อมอนเพาเวอร์มิเตอร์ บันทึกค่าแรงดัน กระแส เพาเวอร์แฟกเตอร์ ทั้ง 3 เฟส



ภาพที่ 4.7 การวัดกำลังไฟฟ้าจริงเฟส A ด้วยแคล้มป้อมอนเพาเวอร์มิเตอร์



ภาพที่ 4.8 การวัดกำลังไฟฟ้าจิงเฟส B ด้วยแคล้มป้ออนเพาเวอร์มิเตอร์



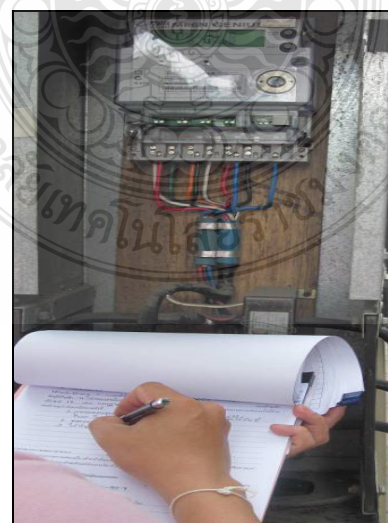
ภาพที่ 4.9 การวัดกำลังไฟฟ้าจิงเฟส C ด้วยแคล้มป้ออนเพาเวอร์มิเตอร์

2) จับเวลาการทำงานของหลอด LED1 และบันทึกค่าเวลาในแบบฟอร์มตรวจสอบ มิเตอร์ (มต.ทม.5) บันทึกค่าเวลาได้เท่ากับ 3.41 วินาที



ภาพที่ 4.10 การวัดค่าเวลาด้วยนาฬิกาจับเวลา

3) คำนวณกำลังไฟฟ้าจริงจากค่าเวลาที่จับได้จาก LED1 เปรียบเทียบกับแคล้มปี่อน เพาเวอร์มิเตอร์และบันทึกค่าเวลาในแบบฟอร์มตรวจสอบมิเตอร์ (มต.ทม.5) บันทึกค่ากำลังไฟฟ้าจริงจากการคำนวณค่าเวลาที่จับได้เท่ากับ 31.67 กิโลวัตต์ และค่ากำลังไฟฟ้าจริงที่บันทึกได้จากแคล้มปี่อนเพาเวอร์มิเตอร์รวมทั้ง 3 เฟสได้เท่ากับ 29.61 กิโลวัตต์



ภาพที่ 4.11 การคำนวณค่ากำลังไฟฟ้าจริงจากการจับเวลาจาก LED1

4) บันทึกผลการประเมินความถูกต้องของเครื่องวัดพลังงานไฟฟ้าลงในแบบฟอร์มตรวจสอบมิเตอร์ (มต.ทม.5)

แบบฟอร์มการตรวจสอบมิเตอร์ อัตรา <input checked="" type="checkbox"/> TOU <input type="checkbox"/> TOD																																																																										
ลักษณะการติดตั้ง <input type="radio"/> 3 เฟส 4 สาย <input checked="" type="checkbox"/> CT. แรงดัน <input type="checkbox"/> CT.PT																																																																										
<p>ชื่อผู้ใช้ไฟฟ้า: บริษัท สกุลสิน จำกัด หมายเลขอปชร.ไฟฟ้า 919-00010.1 กรณีไฟฟ้า เชื่อมต่อภายนอก kWh-Meter ผู้ผลิตกันย์ฯ EDMI กระแส 5 แอมป์ แรงดัน 220/380 โวลท์ มิเตอร์ 3 เฟส 4 สาย 1,000 รอบ/กิโลวัตต์-ชั่วโมง PEA.NO. 23A33248 SER.NO. - kWh.คูณ 1 k.W.SUM.คูณ 1 kWh-Meter ผู้ผลิตกันย์ฯ กระแส - แอมป์ แรงดัน - โวลท์ มิเตอร์ - เฟส - สาย - รอบ/กิโลวาร์-ชั่วโมง PEA.NO. - SER.NO. - kVarh.คูณ - kVar.SUM.คูณ -</p> <p>อุปกรณ์ประดับ CT. ratio 150/5 A. PT.ratio - / - V. หน่วยปัลลอน 100 k.VA.</p> <p>คราดกั้งรัมมิเตอร์ หมายเลข ๑๙๗๕ (✓) ปกติ (.....) ไม่ปกติ (.....) ไม่มี คราดกั้งฝ่ากรอบที่ต่อสาย หมายเลข ๑๙๘๘ (✓) ปกติ (.....) ไม่ปกติ (.....) ไม่มี คราดกั้งฝ่ากรอบตัววัตต์มิเตอร์ หมายเลข ๑๙๘๙ (✓) ปกติ (.....) ไม่ปกติ (.....) ไม่มี</p> <table border="1" style="width: 100%; border-collapse: collapse; text-align: center;"> <thead> <tr> <th>บันทึกการอ่านท่า</th> <th>หน่วยรวม</th> <th>(Rate A)</th> <th>(Rate B)</th> <th>(Rate C)</th> <th>ค่ากิโลวัต์</th> </tr> </thead> <tbody> <tr> <td>กิโลวัตต์-ชั่วโมง</td> <td>19,945.44</td> <td>7264.54</td> <td>8281.63</td> <td>4379.27</td> <td></td> </tr> <tr> <td>กิโลวัตต์สูตรด</td> <td></td> <td>0.736</td> <td>0.694</td> <td>0.732</td> <td></td> </tr> <tr> <td>กิโลวัตต์สะสม</td> <td></td> <td>42.517</td> <td>34.681</td> <td>39.966</td> <td></td> </tr> </tbody> </table> <p>kWh-Meter หมุน 1 รอบใช้เวลา 3.41 วินาที ใช้ Active Power = 31.67 kW. (ที่ code 093,097) =kW kVArh-Meter หมุน 1 รอบใช้เวลา วินาที ใช้ Active Power = kW. (ที่ code 197,198,193) =kW</p> <p>วัดไฟลดicom ได้มาดังนี้ <input type="radio"/> วัดแบบ 3 เฟส 3 สาย <input checked="" type="checkbox"/> วัดแบบ 3 เฟส 4 สาย</p> <table border="1" style="width: 100%; border-collapse: collapse; text-align: center;"> <thead> <tr> <th>แรงดันสาย</th> <th>Vab =V</th> <th>Vca =V</th> <th>Vcb =V</th> <th>(.....) RST</th> </tr> <tr> <th>แรงดันไฟฟ้า</th> <th>Van = 231 V</th> <th>Vbn = 228 V</th> <th>Vcn = 230 V</th> <th>(.....) TSR</th> </tr> <tr> <th>กระแสไฟฟ้า</th> <th>Ia= 16.27 A</th> <th>Ib= 52.87 A</th> <th>Ic= 41.56 A</th> <th>(.....) Pri (.....) Sec</th> </tr> </thead> <tbody> <tr> <td>PF แต่ละเฟส</td> <td>$\cos \theta_a = 0.94$ (✓) Lag () Lead หมุน</td> <td>$\cos \theta_b = 0.87$ (✓) Lag () Lead หมุน</td> <td>$\cos \theta_c = 0.95$ (✓) Lag () Lead หมุน</td> <td>$\cos \theta$ หรือ PF. ตัวอักษร = () Lag () Lead หมุน $\theta \tan^{-1} (\text{kVar}/\text{kW})$</td> </tr> <tr> <td>SIN θ แต่ละเฟส</td> <td>$\sin \theta_a =$ cos θ ระหว่างแรงดัน</td> <td>$\sin \theta_b =$ สายกับกระแสไฟฟ้า</td> <td>$\sin \theta_c =$ cos θ_{cb} () Lag () Lead หมุน</td> <td>() Lead หมุน $\theta \tan^{-1} (\text{kVar}/\text{kW})$</td> </tr> <tr> <td>กิโลวัตต์</td> <td>10.04 kW.</td> <td>10.49 kW.</td> <td>9.03 kW.</td> <td>รวม = 29.610 kW.</td> </tr> <tr> <td>กิโลวาร์</td> <td>.....kVar.</td> <td>.....kVar.</td> <td>.....kVar.</td> <td>.....kVar.</td> </tr> <tr> <td>คลิปอ่อนกิโลวัตต์</td> <td>.....kW.</td> <td>.....kW.</td> <td>.....kW.</td> <td>รวม =kW.</td> </tr> <tr> <td>ป้อมไฟลดicแต่ละเฟส</td> <td>A(.....) ทำงาน (.....) ไม่ทำงาน</td> <td>B(.....) ทำงาน (.....) ไม่ทำงาน</td> <td>C(.....) ทำงาน (.....) ไม่ทำงาน</td> <td></td> </tr> </tbody> </table> <p>วันที่ : เวลา วันที่ 10 08 12 เวลา 13.12 น. ในการวัดมิเตอร์ วันที่ 10 08 12 เวลา 13.05 น. ป้องกันขยะตรวจสอบ คลาดเคลื่อน ที่ นาที หลังการตรวจสอบ <input checked="" type="radio"/> ได้ติดตั้งคราดกั้งหมายเลข ๑๙๘๘ ที่ ฝาครอบ , Test terminal , และฝาหุ้มมิเตอร์ สรุปผลการตรวจสอบ <input checked="" type="checkbox"/> ปกติ <input type="checkbox"/> ไม่ปกติ</p> <p>ลงชื่อ..... ผู้ตรวจสอบ (.....) (.....) ลงชื่อ..... ผู้ตรวจสอบ (.....) (.....) มต.ทม.5</p>						บันทึกการอ่านท่า	หน่วยรวม	(Rate A)	(Rate B)	(Rate C)	ค่ากิโลวัต์	กิโลวัตต์-ชั่วโมง	19,945.44	7264.54	8281.63	4379.27		กิโลวัตต์สูตรด		0.736	0.694	0.732		กิโลวัตต์สะสม		42.517	34.681	39.966		แรงดันสาย	Vab =V	Vca =V	Vcb =V	(.....) RST	แรงดันไฟฟ้า	Van = 231 V	Vbn = 228 V	Vcn = 230 V	(.....) TSR	กระแสไฟฟ้า	Ia= 16.27 A	Ib= 52.87 A	Ic= 41.56 A	(.....) Pri (.....) Sec	PF แต่ละเฟส	$\cos \theta_a = 0.94$ (✓) Lag () Lead หมุน	$\cos \theta_b = 0.87$ (✓) Lag () Lead หมุน	$\cos \theta_c = 0.95$ (✓) Lag () Lead หมุน	$\cos \theta$ หรือ PF. ตัวอักษร = () Lag () Lead หมุน $\theta \tan^{-1} (\text{kVar}/\text{kW})$	SIN θ แต่ละเฟส	$\sin \theta_a =$ cos θ ระหว่างแรงดัน	$\sin \theta_b =$ สายกับกระแสไฟฟ้า	$\sin \theta_c =$ cos θ_{cb} () Lag () Lead หมุน	() Lead หมุน $\theta \tan^{-1} (\text{kVar}/\text{kW})$	กิโลวัตต์	10.04 kW.	10.49 kW.	9.03 kW.	รวม = 29.610 kW.	กิโลวาร์kVar.kVar.kVar.kVar.	คลิปอ่อนกิโลวัตต์kW.kW.kW.	รวม =kW.	ป้อมไฟลดicแต่ละเฟส	A(.....) ทำงาน (.....) ไม่ทำงาน	B(.....) ทำงาน (.....) ไม่ทำงาน	C(.....) ทำงาน (.....) ไม่ทำงาน	
บันทึกการอ่านท่า	หน่วยรวม	(Rate A)	(Rate B)	(Rate C)	ค่ากิโลวัต์																																																																					
กิโลวัตต์-ชั่วโมง	19,945.44	7264.54	8281.63	4379.27																																																																						
กิโลวัตต์สูตรด		0.736	0.694	0.732																																																																						
กิโลวัตต์สะสม		42.517	34.681	39.966																																																																						
แรงดันสาย	Vab =V	Vca =V	Vcb =V	(.....) RST																																																																						
แรงดันไฟฟ้า	Van = 231 V	Vbn = 228 V	Vcn = 230 V	(.....) TSR																																																																						
กระแสไฟฟ้า	Ia= 16.27 A	Ib= 52.87 A	Ic= 41.56 A	(.....) Pri (.....) Sec																																																																						
PF แต่ละเฟส	$\cos \theta_a = 0.94$ (✓) Lag () Lead หมุน	$\cos \theta_b = 0.87$ (✓) Lag () Lead หมุน	$\cos \theta_c = 0.95$ (✓) Lag () Lead หมุน	$\cos \theta$ หรือ PF. ตัวอักษร = () Lag () Lead หมุน $\theta \tan^{-1} (\text{kVar}/\text{kW})$																																																																						
SIN θ แต่ละเฟส	$\sin \theta_a =$ cos θ ระหว่างแรงดัน	$\sin \theta_b =$ สายกับกระแสไฟฟ้า	$\sin \theta_c =$ cos θ_{cb} () Lag () Lead หมุน	() Lead หมุน $\theta \tan^{-1} (\text{kVar}/\text{kW})$																																																																						
กิโลวัตต์	10.04 kW.	10.49 kW.	9.03 kW.	รวม = 29.610 kW.																																																																						
กิโลวาร์kVar.kVar.kVar.kVar.																																																																						
คลิปอ่อนกิโลวัตต์kW.kW.kW.	รวม =kW.																																																																						
ป้อมไฟลดicแต่ละเฟส	A(.....) ทำงาน (.....) ไม่ทำงาน	B(.....) ทำงาน (.....) ไม่ทำงาน	C(.....) ทำงาน (.....) ไม่ทำงาน																																																																							

ภาพที่ 4.12 แบบฟอร์มการประเมินผลความถูกต้องของเครื่องวัดพลังงานไฟฟ้า

5) ใช้เทคโนโลยีประมวลผลภาพในการประเมินผลความถูกต้องเครื่องวัดพลังงานไฟฟ้าแบบอิเล็กทรอนิกส์



ภาพที่ 4.13 การใช้เทคโนโลยีประมวลผลภาพประเมินผลความถูกต้องเครื่องวัดพลังงานไฟฟ้า



ภาพที่ 4.14 การใช้อัลกอริทึมประมวลผลภาพความถูกต้องเครื่องวัดพลังงานไฟฟ้า

วิธีการประมวลผลภาพสามารถบันทึกภาพการทำงานของหลอด LED1 ใน 1 รอบ ได้ 109 ภาพ ค่าเวลาเม็ดค่าเท่ากับ 3.633 วินาที และค่ากำลังไฟฟ้าจริงเม็ดค่าเท่ากับ 29.727 กิโลวัตต์

6) เปรียบเทียบการประเมินผลความถูกต้องของเครื่องวัดพลังงานไฟฟ้าแบบอิเล็กทรอนิกส์ด้วยวิธีการประมวลผลภาพกับวิธีการจับเวลาด้วยนาฬิกาจับเวลา

ตารางที่ 4.8 ผลการประเมินผลความถูกต้องของเครื่องวัดพลังงานไฟฟ้าแบบอิเล็กทรอนิกส์ด้วยวิธีการประมวลผลภาพกับวิธีการจับเวลา ร่วมกับแคลิปป์อ่อนเพาเวอร์มิเตอร์
เปรียบเทียบกับเครื่องวัดพลังงานไฟฟ้ามาตรฐาน

เครื่องวัดพลังงาน ไฟฟ้ามาตรฐาน	ค่าที่ได้จากการ ประมวลผลภาพดิจิทัล		ค่าที่ได้จากการจับเวลา ร่วมกับแคลิปป์ อ่อนเพาเวอร์มิเตอร์	
กำลังไฟฟ้าจริง (กิโลวัตต์)	กำลังไฟฟ้าจริง (กิโลวัตต์)	% ความคลาดเคลื่อน	กำลังไฟฟ้าจริง (กิโลวัตต์)	% ความคลาดเคลื่อน
29.610	29.727	+0.40	31.67	+7.00

เห็นได้ว่าการประเมินผลความถูกต้องของเครื่องวัดพลังงานไฟฟ้าแบบอิเล็กทรอนิกส์ด้วยวิธีการประมวลผลภาพให้ผลการตรวจสอบได้ถูกต้อง แม่นยำกว่าวิธีการจับเวลาด้วยนาฬิกาจับเวลา ซึ่งจะมีค่าความคลาดเคลื่อนที่อาจเกิดขึ้นจาก ผู้ตรวจสอบกดจับเวลาไม่แม่นยำ โหลดมีการเปลี่ยนแปลงขณะตรวจวัด ผิดพลาดเนื่องจากการคำนวน เป็นต้น

การทดสอบใช้เทคโนโลยีประมวลผลภาพกับเครื่องวัดพลังงานไฟฟ้าแบบอิเล็กทรอนิกส์ กับผลิตภัณฑ์อื่นๆ

การทดสอบใช้เทคโนโลยีประมวลผลภาพในการประเมินผลความถูกต้องของเครื่องวัดพลังงานไฟฟ้าแบบอิเล็กทรอนิกส์ผลิตภัณฑ์อื่น ๆ ที่แสดงผลการทำงานผ่านหลอด LED ในที่นี้ได้นำไปทดสอบกับเครื่องวัดพลังงานไฟฟ้าแบบอิเล็กทรอนิกส์ผลิตภัณฑ์ Actaris รุ่น SL7000 มีค่าการทำงาน 10,000 อัมพลัสต์/กิโลวัตต์ชั่วโมง เป็นมิตรรักษากลоб หมายแปลงกระแสแรงต่ำ ขนาด 250/5 แอมป์



ภาพที่ 4.15 จุดติดตั้งกล้องดิจิทัลบันทึกภาพหลอด LED



ภาพที่ 4.16 การติดตั้งกล้องดิจิทัลกับเครื่องวัดพลังงานไฟฟ้าแบบอิเล็กทรอนิกส์ผลิตภัณฑ์ Actaris



ภาพที่ 4.17 การใช้เทคโนโลยีประมวลผลภาพประเมินผลความถูกต้องเครื่องวัดพลังงานไฟฟ้าแบบอิเล็กทรอนิกส์ผลิตภัณฑ์ Actaris

ตารางที่ 4.9 ผลการประเมินผลความถูกต้องของเครื่องวัดพลังงานไฟฟ้าแบบอิเล็กทรอนิกส์ผลิตภัณฑ์ Actaris ด้วยวิธีการประมวลผลภาพกับวิธีการจับเวลาร่วมกับแคล้มปืือนเพาเวอร์มิเตอร์เปรียบเทียบกับเครื่องวัดพลังงานไฟฟ้ามาตรฐาน

เครื่องวัดพลังงานไฟฟ้ามาตรฐาน	ค่าที่ได้จากการประมวลผลภาพดิจิทัล		ค่าที่ได้จากการจับเวลาร่วมกับแคล้มปืือนเพาเวอร์มิเตอร์		
	กำลังไฟฟ้าจริง (กิโลวัตต์)	(กิโลวัตต์)	% ความคลาดเคลื่อน	(กิโลวัตต์)	% ความคลาดเคลื่อน
64.54	63.84		- 1.09	60.27	- 6.60

ผลการทดสอบการประเมินผลความถูกต้องเครื่องวัดพลังงานไฟฟ้าแบบอิเล็กทรอนิกส์กับผลิตภัณฑ์อื่นๆ ที่แสดงผลค่าเวลาผ่านหลอด LED สามารถใช้ได้เช่นกันและให้ค่าความคลาดเคลื่อนน้อยกว่าเกณฑ์ที่ยอมรับได้

4.3 สรุปผล

การประยุกต์ใช้เทคโนโลยีประมวลผลภาพสามารถวัดค่าพลังงานที่ตรวจสอบจากการแสดงผลของ LED 1 ได้ถูกต้อง ผลการทดลองพบว่าวิธีการจับเวลาาร่วมกับแคล้มปีอ่อนเพาเวอร์ มิตอร์ มีความคลาดเคลื่อนมากขึ้น เมื่อจ่ายโหลดสูงขึ้นด้วย เนื่องจากการกระพริบของหลอด LED เร็วขึ้น เมื่อเปรียบเทียบกับเครื่องวัดพลังงานไฟฟ้ามาตรฐาน ดังนั้นวิธีการประมวลผลภาพดิจิทัล สามารถนำมาใช้ตรวจสอบเครื่องวัดพลังงานไฟฟ้าได้ถูกต้อง ง่าย สะดวก รวดเร็ว แม่นยำ ซึ่งสามารถที่จะนำไปใช้งานจริงได้อย่างมีประสิทธิภาพ



บทที่ 5

สรุปผลการวิจัยและข้อเสนอแนะ

5.1 สรุปผลการวิจัย

การประยุกต์ใช้เทคโนโลยีประมวลผลภาพดิจิทัลประเมินผลความถูกต้องของเครื่องวัดพลังงานไฟฟ้าแบบอิเล็กทรอนิกส์ เป็นการนำเสนอเทคนิคใหม่เพื่อเป็นต้นแบบการพัฒนาวิธีการตรวจสอบเครื่องวัดไฟฟ้าที่มีความถูกต้องยิ่งขึ้น โดยการทดสอบในห้องทดลองพบว่ามีค่าความคลาดเคลื่อนเฉลี่ยเพียง 0.42% เท่านั้น จากวิธีการปัจจุบันที่การไฟฟ้านครหลวงและการไฟฟ้าส่วนภูมิภาคนิยมใช้ คือ วิธีการใช้น้ำพิกาจับเวลาคร่าวมกับแคล้มป้อมอนเพนาเวอร์มิเตอร์ ซึ่งวิธีการนี้จะมีค่าความคลาดเคลื่อนสูง

สำหรับการนำไปทดลองใช้กับเครื่องวัดพลังงานไฟฟ้าที่ติดตั้งอยู่หน้างาน สามารถใช้งานได้ง่าย สะดวก ผลการทดสอบมีค่าความคลาดเคลื่อน 1.09% ทั้งนี้ผลความคลาดเคลื่อนส่วนหนึ่งอยู่ที่การปรับตั้งค่าเทรสโซลด์ในการประมวลผลภาพ ขนาดของภาพ ควรปรับตั้งให้เหมาะสมกับเครื่องวัดพลังงานไฟฟ้าแต่ละผลิตภัณฑ์ด้วย

5.2 ปัญหา อุปสรรค ในการทำวิจัย

วิธีการนี้ใช้กล้องรีบบูร์แคมจับภาพบริเวณหลอด LED1 ที่แสดงค่ากิโลวัตต์-ชั่วโมง ซึ่งค่าความถูกต้องของการประมวลผลภาพจะขึ้นอยู่กับคุณภาพของภาพที่ตรวจจับได้ หากภาพไม่นิ่งหรือมีแรงบันดาลใจ การเปลี่ยนแปลงของหลอด LED1 ไม่ชัดเจนอาจทำให้การรับภาพเพื่อประมวลผลเป็นค่ากำลังไฟฟ้าจริงมีความคลาดเคลื่อน ส่วนค่าเวลาการทำงานของเครื่องวัดจะขึ้นอยู่กับโหลดหากโหลดที่ใช้ผ่านเครื่องวัดพลังงานไฟฟ้ามีค่าต่ำกว่า 100 วัตต์ จะส่งผลให้ช่วงการกระพริบใน 1 รอบของหลอด LED ซึ่งการประมวลผลภาพจะนานขึ้น เช่นกัน และคุณสมบัติของกล้อง เช่น ความไวในการรับภาพ (Frame Rate) ความละเอียดและคุณสมบัติด้านการสะท้อนแสงเป็นปัจจัยหนึ่งที่ต้องพิจารณาเลือกใช้งาน เช่นกัน

5.3 ข้อเสนอแนะในการทำวิจัย

งานวิจัยนี้ได้ทดสอบการใช้งานเทคโนโลยีประมวลผลภาพดิจิทัลด้วย โปรแกรม Mat lab ซึ่งราคาถูกที่สุดก่อนข้างสูง แต่สามารถนำไปประยุกต์เขียนด้วย โปรแกรมภาษาซี Visual Basic ใช้กับไมโครคอนโทรลเลอร์ หรือทำเป็นวงจรอิเล็กทรอนิกส์ที่สามารถจัดเก็บข้อมูลตามสถานที่ต่างๆ และมีชุดเครื่องวัดมาตรฐานอยู่ในเครื่องเดียวกันเพื่อประหยัดค่าใช้จ่าย มาใช้ในการตรวจสอบประเมินผลเครื่องวัดพลังงานไฟฟ้า หรือประยุกต์ใช้ในงานตรวจสอบหรือสอนเที่ยบเครื่องวัดพลังงานไฟฟ้าทั้งแบบเหนียวแน้และแบบอิเล็กทรอนิกส์ งานตรวจจับความเร็วของวัตถุ หรือการใช้เทคโนโลยีประมวลผลภาพประเมินผลเครื่องวัดพลังงานไฟฟ้าบนโทรศัพท์มือถือสมาร์ทโฟน



รายการอ้างอิง

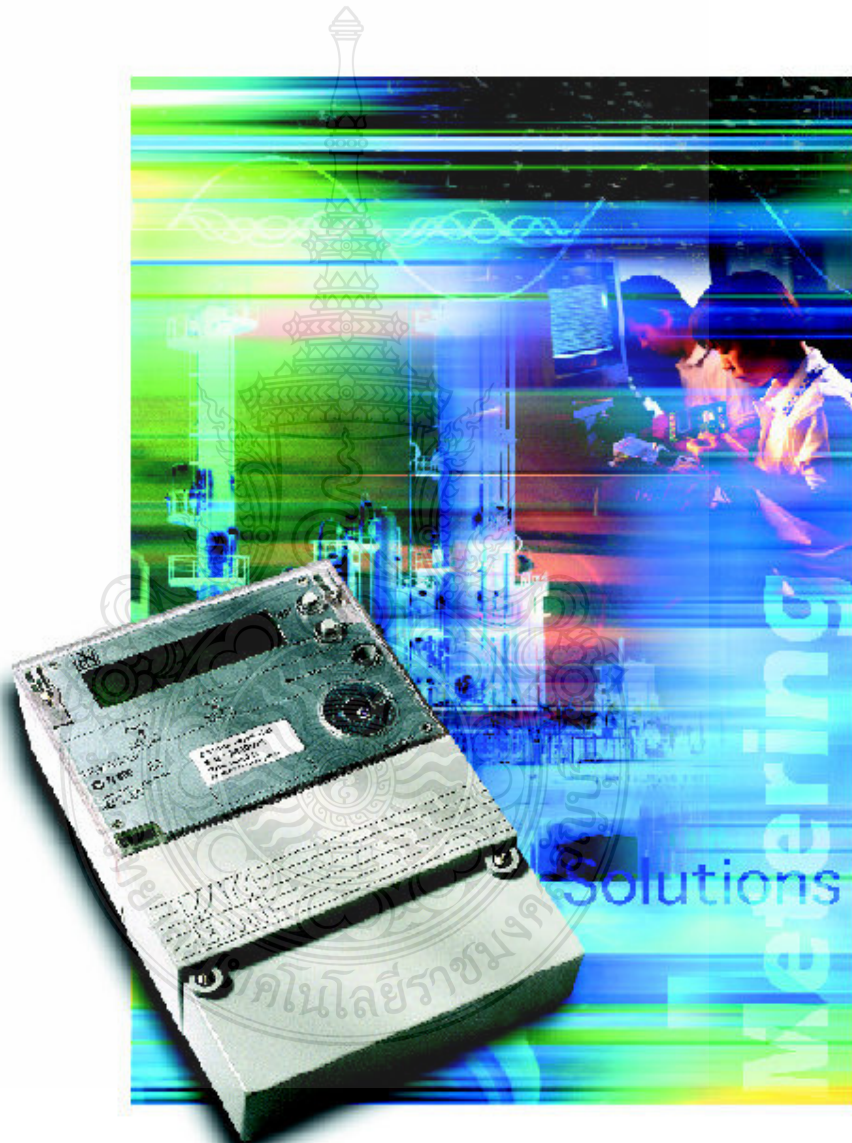
- [1] นายชัยวัฒน์ บูรพัฒน์, การตรวจสอบมิเตอร์ไฟฟ้าด้วย Clamp on Power Tester. การไฟฟ้านครหลวงเขตคลองเตย, กรุงเทพฯ, 2540.
- [2] กองเศรษฐกิจพลังไฟฟ้าการไฟฟ้าส่วนภูมิภาค, อัตราค่าธรรมเนียมการใช้ไฟฟ้าและบริการ. กรุงเทพฯ, การไฟฟ้าส่วนภูมิภาค, 2540.
- [3] กองมิเตอร์ไฟฟ้าการไฟฟ้าส่วนภูมิภาค, เอกสารการอบรมการตรวจสอบมิเตอร์. กรุงเทพฯ การไฟฟ้าส่วนภูมิภาค, 2540.
- [4] นัตรชัย ศุภพิทักษ์สกุล, เอกสารการสอน **Introduction to Instrumentation**. มหาวิทยาลัยเทคโนโลยีราชมงคลธัญบุรี, 2551.
- [5] The MathWorks, Inc. **Image Processing Toolbox™ User's Guide** (Online), 1994. Available: <http://www.mathworks.com> (23 June 2011).
- [6] สมชาย เปี่ยนสูงเนิน, “ชุดทดสอบค่าความคลาดเคลื่อนของกิโลวัตต์ชาร์มมิเตอร์โดยใช้การบันทึกภาพวิดีโอที่งานหมุน,” การประชุมวิชาการทางวิศวกรรมไฟฟ้า, ครั้งที่ 34 (EECON-34), 2554.
- [7] Unipower AB, **Verification Equipment for Electric Meters Unipower 3010** (Online). Available: <http://www.eng.unipower.se/> (21 กุมภาพันธ์ 2555).
- [8] กองมิเตอร์ไฟฟ้าการไฟฟ้าส่วนภูมิภาค, คู่มือการใช้งาน ทีโอดิจิทัลิติกัลท์ EDMI รุ่น Genius. กรุงเทพฯ, การไฟฟ้าส่วนภูมิภาค, 2551.
- [9] DRANETZ – BMI, **Power Visa USER'S GUIDE** (Online), 2005. Available: <http://www.dranetz-bmi.com> USA, 2005 (21 กุมภาพันธ์ 2555).







Transform the way people think about
Electronic **Metering Solutions**



Mk6 GENIUS

Introduction

EDMI is more than a meter supplier.

We provide total energy measurement & management solutions

Providing total Energy Measurement Solutions

EDMI is a technology company founded in Brisbane, Australia. We recognised the market needs for an electricity metering and monitoring system which catered for the rapidly changing deregulating markets. We have developed the next generation of Electronic Energy Meters - Mk6 GENIUS.

EDMI defined the features for the meters of the future:

- Sustained accuracy and reliability;
- Systems approach leading to energy management;
- Measurement of all electrical parameters;
- Data integrity and data security;
- Flexibility in the display and analysis of data;
- Easy remote access;
- Provision for future field upgrades of software;
- Compatibility among all meters in the range;
- Reduction of stock levels by allowing wide voltage and current ranges;
- Readily adaptable to special applications.

EDMI has worked in close collaboration with its customers, to develop modern and innovative products. Through the combination of "state of art" hardware and specialised software modules, EDMI has created a range of electricity meters which are quite unparalleled in terms of functionality, accuracy, installation, communication, and data analysis.



General

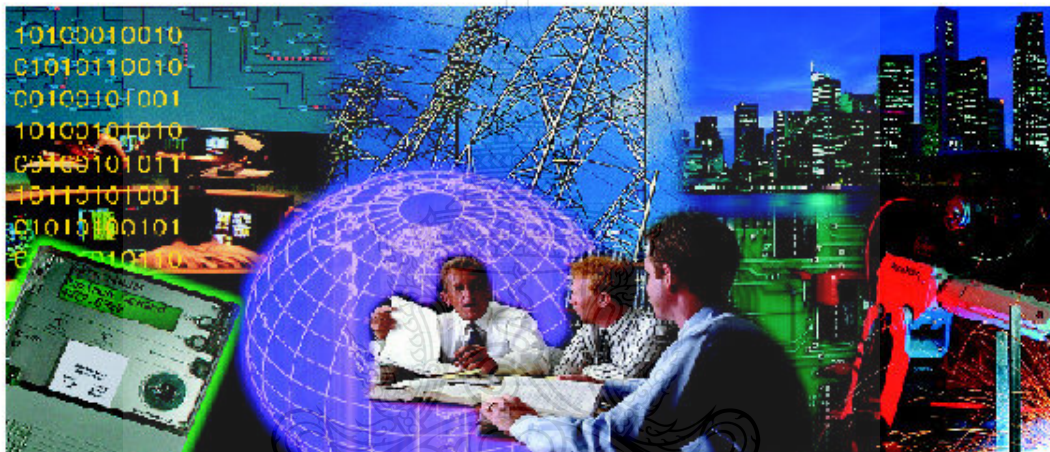
Deregulation challenges the traditional thinking of metering engineers

All over the world, the Producers and Distributors of electric energy are confronted with the challenges of liberalization and deregulation.

Demands from customers and the challenges of new commercial strategies are forcing the producers and suppliers of electricity to be more flexible and competitive in their transactions with customers by offering innovative tariffs and value added services.

There are greater demands for improved quality and the quantity of information from metering systems to meet the needs of:-

- Generation utilities
- Transmission utilities
- Distribution utilities
- Regulators
- Electricity retailing companies
- Customers



Genius MK6:

Meters planned for the changing market place

From experience gained in countries that have understood the issues associated with deregulation, the EDMI MK6 energy meters have been adapted to cater for the needs of both utilities and customers, without sacrificing reliability, accuracy or security.

We offer features that are unparalleled in the market place. In order to take full advantage of all of the advanced features of the MK6 energy meters, it is important to understand our general approach:

Meter:

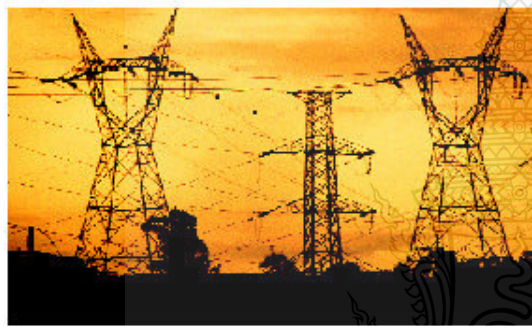
Hardware:

Following the analysis of existing metering, it was found that severe metering inaccuracies could occur during the following conditions.

- Rapidly changing load conditions. E.g., spot welding plants
- Presence of high levels of harmonics. E.g., Traction metering
- DC offsets caused by half wave rectified loads.
- External magnetic fields.

Through innovative design, EDMI engineers were able to provide hardware that exceeded all existing standards, and easily remains within its accuracy class, despite the above influences.

Once again, the Australian design team exceeded expectations.



Firmware:

The pre-programmed software within the meter. The challenge given here was to write software that not only met the existing standards, but would also provide a platform for easy set-up of meters to suit the customers' individual requirements. A further requirement was to allow secure field upgrading of the meter to prevent the meter from becoming obsolete as market standards and requirements changed.

Once again, the Australian design team exceeded expectations.

Customer interface

PC Software:

The challenge here was to provide an interface that was user friendly and versatile enough to be able to set-up and interrogate the entire range of meters. The result was the **EziView** software.

EziView software: Planned for the future:

The software EziView provides a number of possibilities for configuring meters, reading and analysing the data from meters as well as setting up security systems for a range of meters.

At entry level EziView can be supplied with the minimum of features, allowing easy familiarisation of the software, and as the customers' requirements change, EziView can be re-configured to add extra functions.

Also available for use with EziView is a scripting "Toolbox." This toolbox is used to add special functions to the Mk6 GENIUS meters, tailoring the meter to suit both industry and customer specific requirements.

We can represent the meters schematically:

SOFTWARE	Measurement	Analysis	Communications	Inventory control
HARDWARE	 Class 0.2S, 0.5S and Class 1 1A To 5A 50/60 Hz	Load Surveys Sag / Swell Logs Waveforms Harmonics Voltage / Currents	EziView MV90 EDIS/OBIS DLMS Opticom IEC 1107 RS232 / 485 Modem	One per type. Parameters set via EziView One per class

Description

Essential functions of the MK6 Energy Meters:

Basic functions

- Energy measurement, well within the limits of the Class of accuracy
- Instantaneous Parameters
- Surveys
- Tarification
- Data Storage
- Internal clock
- Alarms
- Security

Parameterisation

- Programmable CT & VT ratios
- 2 Element / 3 Element
- Customised LCD display
- Customer specific Alarms
- Scripts: standard or "to order"
- EziView software

Communication Possibilities

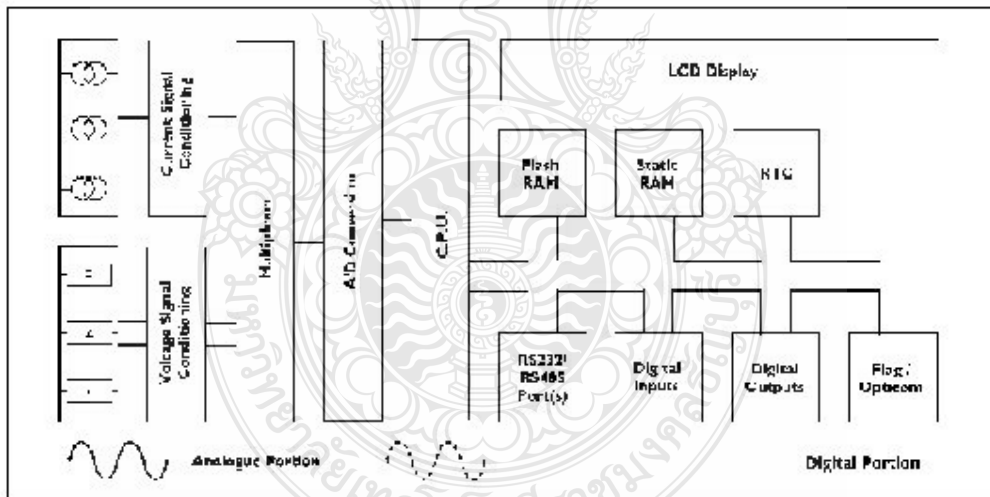
- EDIS / OBIS[△]
- RS-232
- RS-485
- SCADA
- Modems
- EzIPort
- MV 90
- TCP/IP
- Master - slaves configuration

Complementary functions

- Instrument transformers loss compensation
- Quality of Supply
- Waveform Capture
- Sag and Swell Analysis
- Harmonic Analysis

Measurements

The heart of the meter is an analogue to digital converter (ADC) used to sample the voltage and current signals. To calculate the energy and other system parameters, advanced digital signal processing (DSP) techniques are used. Any of these quantities may also be stored as a profile for future analysis.



Available measurements include:

- RMS. Voltage
- RMS. Current
- Power Factor
- Frequency
- Active Energy
- Active Power
- Reactive Power
- Reactive Energy
- Apparent Power
- Maximum Demand (Block or Rolling)

Surveys

The Survey function allows for different channels

Meter Type	MK6	MK3
Number of channels	30 per survey	On Request
Surveys	11	O R
Integration Period	Programmable	O R
Notes	Additional available using scripts.	

Tarification

The MK6 meters are equipped with a very advanced tariffication module. In MK6, Up to 200 Tariff Periods of up to 8 Rates can be programmed into the meter, including daily, weekly, yearly and special one-off periods. Periodicity can be daily, weekly, yearly or special. The meter stores energy, maximum demand and time of maximum demand for the current billing period, previous billing period and cumulative totals with complete flexibility to display over twelve months of previous readings. The meters can also survey external pulse inputs i.e. water and gas meters.

Data Storage

All critical data, including calibration, configuration and time of use, is stored in battery backed up RAM and in non-volatile FlashRAM, which will retain the data indefinitely even when no auxiliary supply is available.

Internal Clock

The internal clock of the MK6 meters is fitted with a Real time Clock/Calendar chip (RTC) used for tariff control and for time stamping of load survey data. This chip utilises a Lithium Battery to provide backup supply to maintain the time during power outages. This Lithium battery is capable of preserving the meter clock for up to 5 years continuously in absence of power. As an option, during normal operation, the clock can be maintained from the mains frequency.

Alarms

Auto-diagnostic alarms are used in the MK6 meters (loss of memory, problems with batteries...). Other programmed alarms are available, including VT failure/tolerance, unbalanced power and advanced tampering.

Security

The security of the meters is managed according to categories of users. Thus, the use of the meters is protected and guarantees a direct and exclusive access to the menus determined by the security level.

Liquid Crystal (Back lit) Display

Two lines of 16 alpha-numeric characters.

The scrolling of the information can be user programmed. The MK6 meters can display a very large range of pre-programmed registers but also allows user defined options to be displayed.

Communications options

IEC1107 FLAG™

The energy meter is fitted with an optical port that is hardware compatible with IEC 1107 F L A G™. User access is categorised into several levels to provide user configurable levels of read only and configuration modes and incorporates user identification and passwords to prevent unauthorised access.

Access to the meter known as command line mode uses simple protocol and message structure to enable the meter registers to be read by an external program. Sixteen-bit CRC's are used on all communications for high reliability. The command line protocol can be used by third party for AMR applications.

RS-232 and RS-485

The MK6 Meter has an optional second interface, which can be ordered as either RS485 or RS232. This port can serve as a modem interface connecting to a standard data modem, which allows remote access to the units via the PSTN or other communications networks including Power Line Carrier, GSM radio modems. The connection between the meter and the modem is via a fully isolated RS232/485 port.

Communication speeds up to 19200 baud are available.

SCADA

The MK6 meter has provision for an optional special SCADA port that enables connection with SCADA system and a second simultaneous connection with PC or modem.

EziPort

This port is uni-directional infrared port, which continuously outputs 'stream' of data. This data is fully programmable through EziView. The data can be displayed with the EziPort software and the EziPort read head designed to connect to a PC RS232 port. The protocol and format of the EziPort output are freely available and are designed for easy connection to load management and SCADA systems.

MV90

Many of the meters functions are accessible with the EDMI MV90 TMS.

TCP/IP

Internet access to EDMI meter is possible using Port Directors and EziView.

Master - Slaves Configuration

The Mk6 meter permits multiple meters to connect to a fibre optic ring. The master meter can be connected to a single PC or modem thus allowing remote access to all the individual meters on the ring

Parameterisation

CT and VT ratios

The CT and VT ratios are fully programmable.

Mk6 meters are operational between 45 to 290V (Line to neutral)

Voltage, current and energy can optionally be displayed as a primary or secondary value, thus making the meters ideally suited for LV, MV and HV installations.

2 Element / 3 Element

The meters can be configured for either 2 or 3 element modes. No internal modification to the meter is necessary.

Meters can be pre-configured via EziView before installation.

Customer specific alarms

There are numerous pre-programmed alarms, plus the possibility of user defined alarm conditions (via scripts). These can be used to (a) turn on an alarm LED, (b) displayed on an LCD screen, (c) entered into an error log for remote access, (d) trigger an event such as a remote alarm or dial an emergency number (via scripts in Mk6 GENIUS), and (e) turn on/off a relay output.

Scripts: standard or "to order"

The scripts are programs downloaded to the meter according to the needs of the market; either the customer or EDMI can develop these, according to the customer's choice. Scripts allow many calculations, management of the registers, and logical decisions to be made according to predetermined criteria.

EziView software

EziView is a sophisticated, but user-friendly utility program that enables a PC to communicate with and set up the meter. The EziView software has full security built in allowing administrators to configure EziView installations and allow the correct level of access to the right personnel.

Advanced waveform and harmonic display and analysis are part of this software package.

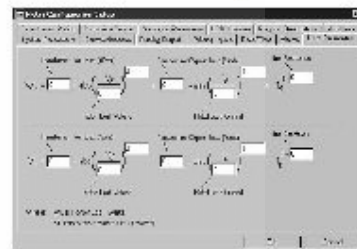
Automatic Meter Reading via the recently released scheduler module, allows EziView to be configured to connect to and extract meter readings for saving to files or forwarding to billing systems.



Optional Complementary Functions

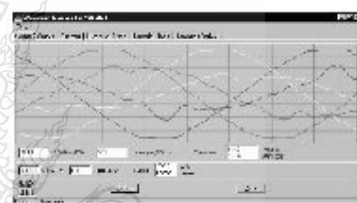
Error compensation

The Mk6 meter (class 0.2S, 0.5S) incorporates a function for the compensation of the energy losses caused by instrument transformers as well as transformer & line losses. The meter calculates all values of consumption, and calculates the compensated values and makes both compensated and uncompensated values available for analysis.

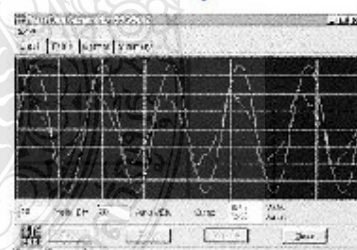


Quality of Supply

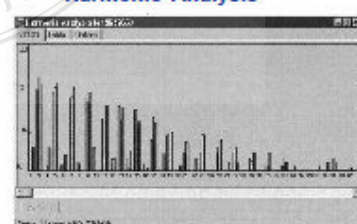
The Mk6 meters can be equipped with very sophisticated software for the examination of quality of supply (power quality).



Waveform capture



Harmonic Analysis



Basic Specification Sheet

Type of meter	Class	Standard
MK6 GENIUS	0.5s 1	IEC 60687 IEC 61036
Type	Specifications	Remark
Voltages Nominal Min. to Max. Burden	57 to 240V (Phase to Neutral) 45 to 290V <10 VA / phase @ Vn (3Phase) (As per IEC62053-61, 1998)	The same meter
Auxiliary Supply*	110V	Others available on order
Current Nominal Range Standard	1A (C.T.) 0.05A - 1.2A	
Short Time Over-Current Starting Current Burden	5A (C.T.) 0.25A - 6A 20 times the I_{max} for 0.5 second <0.10% of I_s <0.5VA/phase	
Measurement modes	Single Phase (3 circuits) 3 Phase 3 wire (2 Element) 3 Phase 4 wire (3 Element)	The same meter can be configured 2 or 3 E.
Pulse outputs	Voltage Current Pulse width Polarity	5-220Vdc, 12-240Vac 0.2A maximum 5ms to 250ms Programmable
Pulse inputs	Voltage SO	5,12, 48, 110, 240 AC/DC Yes
Temperature & Humidity Range	Operating Temp -10 to +60°C Relative Humidity 0 to 95 % non condensing	Storage Temp -40 to +85°C
Time keeping	Type Accuracy (internal) Backup time Backup type	± 15 sec / month 2 years without power Lithium Battery Mains synchronised or internal crystal (selectable). Mains synchronised reverts to internal on loss of all Phase volts.
Data storage (configuration and TOU data Load Survey)	Non volatile FlashRAM, Indefinite storage period.	
Communications	Local Local	FLAG™ (IEC 1107) OPTICOM Isolated RS485 or RS232 EZPORT SCADA Standard Optional Optional Optional Optional

The performance of these products easily exceeds those mentioned in the IEC standards.
The MK6 meters offer accuracy, typically two times better than those specified in the standards.

* Optional

▀ Other values available

Advanced Specification Sheet

Technical Specifications		Mk6 GENIUS	Remark
Accuracy Class		1 or 0.5s	
Current range	CT 5A	✓	
Installation	2/3 element	✓	
Measured parameters			
	4 quadrants	✓	
	Power factor	✓	
	kWh	✓	
	kvarh	✓	
	V	✓	
	A	✓	
	Hz	✓	
	Phase Angle	✓	
	kVA	✓	
	kW & kvar (Max. Demand)	✓	
	KVA (demand)	✓	
Tariffs			
	2, 4, 8 tariffs	✓	
	kWh ±Q1, Q2, Q3, Q4	✓	
	kvarh ±Q1, Q2, Q3, Q4	✓	
	kW	✓	
	kVA	✓	
	Power factor at max. demand	✓	
	Time of max. demand	✓	
	Multiple periods	✓	
Inputs			
	5, 12, 48, 110, 240V AC/DC	□	
	1, 2, 3, 4, 6 inputs	□	
I/O Ports			
	Optical Flag	✓	
	Optical Opticom	□	
	RS-232	□	
	RS-485	□	
	On Request SCADA RS-232		(Optionally available with Gateway Card)
	On Request SCADA RS-485		(Optionally available with Gateway Card)
	EziPort to SCADA Systems	□	
Options hardware			
	Extended Memory	□	
	Extended TOU	□	
Output relays			
	Electronic (BOSFET)	□	
	Mercury wetted reeds		
	2, 3, 4, 6 or 7 outputs	□	Only available on special order
Software			
	Waveform capture	✓	
	Voltage Sag & Surge	•	
	Harmonic analysis	•	
	TOU	✓	
	Extended TOU	□	
	Modem Control	□	
	Surveys	✓	
	Anti-fraud script	✓	
	Pulse summation scripts	□	
	Programming script	□	
Protection Degree	IP51	✓	

✓ Standard
 □ Option
 • Done by EzView

POWERVISA

Power Quality Analyzer



Equipped with 8 independent channels, the 3-phase PowerVISA® is the only advanced power monitoring instrument to incorporate a color touch screen into its lightweight design. Automated setups provide instant detection of circuits and configurations, ensuring that the instrument is ready to successfully collect data. Users can select the length and mode of data collection, including troubleshooting, data logging, power quality surveys, energy and load balancing. The PowerVISA collects data at 256 samples/cycle/channel, offers remote communications using RS-232, ethernet or USB options, and meets IEEE 1159 and the newest European standards.

Measured Parameters

(4) differential Inputs, 1-600 Vrms, AC / DC, 0.1% rdg + 0.05% FS, 256 samples/cycle, 16 bit ADC
 (4) Inputs with CTs 1-6000 Arms, CT-dependent, AC/DC, 256 samples/cycle, 0.1% rdg + CTs, 16 bit ADC
 Frequency range, 10 mHz resolution, 45-65 Hz
 Phase lock loop – standard PQ mode

Monitoring/Compliance

IEEE 1159
 IEC 61000-4-30 Class A
 EN50160 Quality of Supply

Power Quality Triggers

Cycle-by-cycle analysis; 256 samples/cycle; $\frac{1}{3}$ RMS steps
 L-L, L-N, N-G RMS variations: sags/swells/interruptions
 RMS recordings and Waveshape recordings (30 pre-fault, 100 post-fault cycles)
 Low and medium frequency transients – VBI
 Harmonics summary parameters
 Cross trigger V&I channels
 RMS event characterization (IEEE or IEC)

Distortion / Power / Energy

W, VA, VAR, TPF, DPF, Demand, Energy, etc.; Harmonics & Interharmonics per IEC 61000-4-7
 THD/Harmonic Spectrum, TID/Interharmonic Spectrum (V, I, W) to 63rd
 Crest factor, K factor, transformer derating factor, telephone interference factor

General Specifications

Size (HxWxD): 12" x 2.5" x 8"; Weight: 3.8 lbs
 Operating temperature: 0 to 50 degrees C; Storage temperature: -20 to 55 degrees C
 Humidity: 10 – 90% non-condensing
 Memory options (must have one): Up to 128M removable compact flashcard

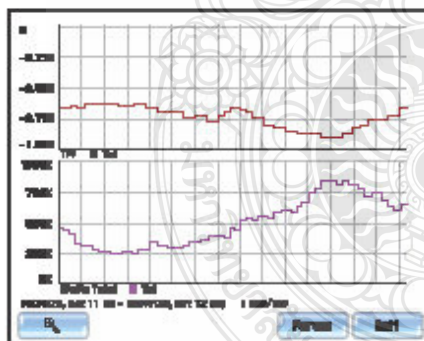
Troubleshooting

The PowerVisa unique annunciator "report card" provides instant power quality answers in the field. A wide range of power monitoring data is collected, analyzed and tabulated in color-coded categories to quickly identify areas of concern, which are identified in red. Drill down for more detailed information by simply touching the intuitive graphical screen to troubleshoot problems, locate the source and pinpoint the root cause of power quality disturbances.



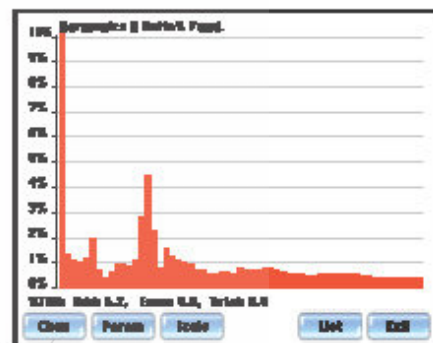
Energy Surveys

The cost of energy is oftentimes a facility's largest operating expense. Reducing energy consumption during peak times, shifting loads, purchasing energy efficient equipment, or changing energy suppliers can shave 10-40% annually off that cost. The PowerVisa is an invaluable tool for performing energy surveys, including monitoring energy consumption, usage patterns, peak demands and the activation of large loads to reduce electricity costs. Plus, the PowerVisa makes it easy to track and allocate energy costs by process or department.



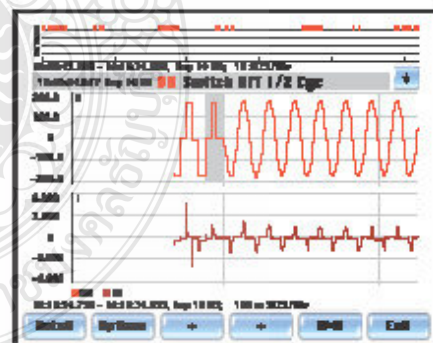
Harmonics

As the sensitivity of power electronics increases, equipment ranging from HVAC systems, personal computers and copiers to computerized process equipment and manufacturing systems are susceptible to harmonic pollution. In fact, harmonics can cause small, almost imperceptible variations in performance that aggregate to effect significant long-term damage. Current harmonics generated by a source can pollute the entire power system without being affected itself. The PowerVisa captures detailed harmonics, interharmonics and subharmonics to effectively troubleshoot the complex problems caused by these events.



Equipment Performance Testing

Determining the availability and compatibility of facility power prior to the installation of new equipment is simplified using the PowerVisa. The instrument incorporates advanced features such as RMS triggers, low/medium frequency transients, and cross triggering between channels to demonstrate that power mitigation devices such as UPSs are operating properly. Real time readings observed during maintenance and startup processes enable users to see results and tweak that equipment during the testing process.



DRANETZ
BMI

dranetz-bmi.com

1.800.372.6832 sales@dranetz-bmi.com

tel 732.287.3680 • fax 732.248.1834 • 1000 New Durham Road • Edison, New Jersey 08818 USA
PowerGuide, NodeLink and DRANETZ-BMI are trademarks of Dranetz-BMI. ©2003 Dranetz-BMI. All rights reserved.
Printed in the United States. Specifications are subject to change without notice.







ที่ปรึกษา

ดร.นิษนา สาบศิริพัช
ดร.กันต์ศักดิ์ ศรีรัชพงษ์

ดร.ดร.พิพัฒน์ วงศ์เจริญ
ดร.ดร.อัคเนีย กล่อคระฤทธิ์

ดร.เด่น ลักษิตธรรม
ดร.ภาสกร ประสมบุตร

อธิการบดีมหาวิทยาลัยกรุงเทพ
ผู้อำนวยการศูนย์เทคโนโลยีอิเล็กทรอนิกส์
และศูนย์พัฒนาแห่งชาติ

รองอธิการบดีฝ่ายวิชาการ มหาวิทยาลัยกรุงเทพ
รองผู้อำนวยการศูนย์เทคโนโลยีอิเล็กทรอนิกส์
และศูนย์พัฒนาแห่งชาติ

ผู้ช่วยอธิการบดีฝ่ายวิชาการ มหาวิทยาลัยกรุงเทพ
หัวหน้าหน่วยวิจัยสารสนเทศ การศึกษาและภารกิจ
ศูนย์เทคโนโลยีอิเล็กทรอนิกส์และศูนย์พัฒนาแห่งชาติ

คณะกรรมการอำนวยการ

ผศ.ดร.ณัฐพร ปิ่มพิริยัน
ดร.กีรติศักดิ์ ศรีพิมานวัฒน์
ผศ.ดร.สุพจน์ สุไพรามณ
ดร.ศุภกร ลิ่วเรือง
อ.สมศักดิ์ อภิรักษ์สมบัติ
อ.ศิริจัย เตินใจดีเกย์
อ.ธีราวดี ต่อสุข
อ.ปิยะ วรากุลวิสุข
ดร.ปราโมทย์ บุญคงกล
ดร.ภาณุณี สมบูรณ์
น.ส.พิญญาณันท์ นันทร์กัลต์ดี
น.ส.สถาบัน แซชเนย์ศุภกุล
ดร.วิชาต พันธุ์นุ่ย
ดร.กนก ธรรมราษฎร์
อ.พยอมยรรบ ธรรมมีรักษ์
นางอมรรัตน์ แสงจagger
นางศศิริญา ชาสาข์อาท

ประธานกรรมการ
ประธานกรรมการ (ร่วม)
รองประธานกรรมการ
รองประธานกรรมการ (ร่วม)
กรรมการ
กรรมการ
กรรมการ
กรรมการ
กรรมการ
กรรมการ
กรรมการ
กรรมการ
กรรมการ
กรรมการและเลขานุการ
กรรมการและเลขานุการ (ร่วม)
ผู้ช่วยเลขานุการ
ผู้ช่วยเลขานุการ
ผู้ช่วยเลขานุการ (ร่วม)

คณะกรรมการประสานงานที่เกี่ยวกับสถาบันที่จัดการประชุม

ผศ.ดร.สุพจน์ สุไพรามณ
พศ.นันทีชา ชัยบุตร
อ.อุมาเร็ว รัชดากร
อ.ธัญพรรัตน์ ศิริปันโน
อ.ธีราวดี ต่อสุข
อ.ธนาธิป โภวิท

ประธาน
กรรมการ
กรรมการ
กรรมการ
กรรมการ
กรรมการ
กรรมการและเลขานุการ
กรรมการและเลขานุการ (ร่วม)
ผู้ช่วยเลขานุการ
ผู้ช่วยเลขานุการ
ผู้ช่วยเลขานุการ (ร่วม)

คณะกรรมการประสานงานการจัดแสดงในราชการ

อ.สมศักดิ์ อภิรักษ์สมบัติ
ดร.กนก บุญคงกล
อย.กัญญา พัฒนพรพัช
ผศ.สังกานต์ กันต์กุล
อ.อัศักพงษ์ เอกศิริ
อ.สิงโตศักดิ์ วงศ์กานต์กุล

ประธาน
กรรมการ
กรรมการ
กรรมการ
กรรมการ
กรรมการ
กรรมการและเลขานุการ

คณะกรรมการประสานงานที่จัดการประชุมและเว็บไซต์

อ.ปิยะ วรากุลวิสุข
อ.อัมรรัตน์ อังคกหาบีช
อ.นฤทธิ์ ถุวรรณษา
อ.จัตุรงค์ บัวดัน

ประธาน
กรรมการ
กรรมการ
กรรมการและเลขานุการ

คณะกรรมการประสานงานเพื่อประชาสัมพันธ์งานประชุมวิชาการ

ผศ.ดร.สุพจน์ สุไพรามณ

ประธาน

อ.ศุภฤกษ์ งามเจริญ	กรรมการ
ผศ.ดร.นันดาศักดิ์ พันธ์ประเสริฐ	กรรมการ
อ.อัมพรลักษณ์ อัชคพะวนิช	กรรมการและเลขานุการ
คณะกรรมการประสานงานการจัดทำถังขับเคลื่อนการประชุมและจัดทำของที่ระลึก	
ดร.เกียรติศักดิ์ ศรีสิริกานวัฒน์	ประธาน
อ.สมศักดิ์ อภิรักษ์สมบัติ	กรรมการ
ดร.สุกงrat สิงห์ไชย	กรรมการ
ดร.นนท์ เจริญวงศ์	กรรมการ
นาครศรีดุรา ขาวสะอาด	กรรมการ
ดร.ปราณี บุญคงโภคล	กรรมการและเลขานุการ
คณะกรรมการประสานงานสำนักงานกองทะเบียน	
อ.ศิริชัย เติ่งใจศักดิ์	ประธาน
อ.รุจิพรรัตน์ ลัมเป็นนา	กรรมการ
อ.ภัญญา พัฒนารักษ์	กรรมการ
อ.พลดอกหวาน ธรรมภิวัชกร	กรรมการและเลขานุการ
คณะกรรมการดำเนินการเงิน	
ดร.วิภาดา พัฒนาชัย	ประธาน
อ.รุจิพรรัตน์ ลัมเป็นนา	กรรมการ
อ.นาภิป โภวิท	กรรมการและเลขานุการ
คณะกรรมการประสานงานการพิจารณาบทกวี	
ผศ.ดร.สุภาพร์ ลูกโป่งธรรมยศ (BU)	สาขา EL
ผศ.ดร.อชรัชัย เจริญชนน์ต์ (CU)	สาขา DS
ผศ.ดร.ชนพงษ์ สุวรรณศรี (KMUTNB)	
ผศ.ดร.นัฐกฤท พันธ์วิหัน (BU)	
ดร.ศรีรยา สถาธนารัตน์ (NECTEC)	สาขา CP
ผศ.ดร.ศิริเรจน์ ศิริสุขประเสริฐ (KU)	สาขา CP
ดร.นัฐพงศ์ พัตติ (NECTEC)	สาขา CP
ผศ.ดร.ธีรศิริชัย แกะยะกุญ (KU)	สาขา PH
ดร.เกียรติศักดิ์ (NECTEC)	สาขา BE
ดร.ปราณี บุญคงโภคล (BU)	สาขา BE
ผศ.ดร.สมยศ เกียรติวันชัยวิส (KMITL)	สาขา GN
ดร.นนท์ วงศ์หยาด (BU)	สาขา GN
รศ.ดร.สุภาพร์ เอื้อไฟบุลย์ (KMITL)	



	PW066: การประยุกต์ใช้เทคโนโลยีประมวลผลภาพช่วงกับเครื่องวัดคุณภาพกำลังไฟฟ้าประเมินผลความถูกต้องเครื่องวัดพลังงานไฟฟ้าแบบอิเล็กทรอนิกส์	 
88	PW067: Vehicle to Grid (V2G) Control based on Frequency Droop Characteristic and Its Capacity Reduction Effect on Battery for Frequency Control in Power System with Wind Farm ชีวภาพ รัฐพorphชัย ศรีราษฎร์ ศักดิ์พิทักษ์สกุล และนิตยาอร่า โสมนาคะอรุณทร์ image processing, electronic energy meters, power quality instrument	 
69	PW068: Vehicle to Grid (V2G) Control based on Frequency Droop Characteristic and Its Capacity Reduction Effect on Battery for Frequency Control in Power System with Wind Farm ชีวภาพ รัฐพorphชัย ศรีราษฎร์ ไชยธรรม และสหัสวดี เจริญชัย ชุมกุลวันทร์ กฤตกร กฤตกร Frequency control, Plug-in hybrid electric vehicles (PHEV), Battery energy storage system (BESS), Vehicle to grid (V2G), Droop characteristic, State of charge (SOC)	 
70	PW069: ระบบนำทางพิธีศพส่วนที่แบบประเมินพลังงาน ศศิพงษ์ วงศ์สาโน สตม. วิศวะสุข อุบลรัตน์ ใจดีวงศ์สืบเนื่อง ละเอียด โคราวาราช ทรีศรีวงศ์ สรรเพชรดา กฤษณา จันดา museum guide, RFID, Energy saving	 
71	PW069: ชุดแสดงข้อมูลการใช้พลังงานไฟฟ้าภายในบ้าน สมชาย ปิยะสูงเนิน Energy Meter, Television, Wireless Communication	 
72	PW070: Computer Software Development for Automatic Distance Relay Setting of The Closed Loop Transmission Line Protection for Provincial Electricity Authority ธนากร เพ็ชร์พงษ์ เกษมสุขุม กรกฎาภรณ์ และมนส์สันต์ วงศ์สัมปันธ์ Digital distance relay, DPL script Language, Distance relay setting, Transmission line protection	 
73	PW071: การวิเคราะห์ค่าแนวความผิดพร่องเรียบชานสาย 22 KV โดยวิธีคำนวณค่าเอ็มพัฒน์และสึท์เพิ่มของ สถานที่ชนวน ภูมิภาคพื้นที่ๆ และแปลงที่ทาง ที่นี้คง distance relay, fault location, Discrete Fourier Transform, ATP-EMTP	 
74	PW072: Fault Type and Location Identification by Artificial Neural Network and Symmetrical Component สรุลักษ์ สงวน และสมพร ลีร์สราญนกกลุ่ม neural network, fault location, symmetrical component	 
75	PW073: EMTP/ATP-Based Transient Short Circuit Fault Simulation for Percentage Transformer Differential Relay Performance Testing: ไสวพี อาษา และสันติ ลือวารีวงศ์ครร Percentage Transformer Differential Relay Testing, Magnetizing Inrush Current	 
76	PW074: Maximum Power at Receiving Bus of Multiple Wheeling Transactions in a Deregulated Power System พรหพ บุญญาแก้ว maximum real power at receiving bus, deregulated power system, multiple wheeling transactions	 
77	PW075: A Study on Short-Term Load Forecasting for Smart Grid Based on Multiple Regression สถาณ์ ใจอ้ออิง, คงสันต์ วงศ์สัมปันธ์, วิชัย สร้างพัฒนา/ Multiple Regression, Short Term Load Forecasting, Smart Grid	 
78	PW076: Critical Load Level-based Adaptive Load Frequency Control under Rapid Demand Fluctuations Chanwit Boonchuay and Weerakorn Ongsakul	 
79	PW077: Feasibility and System Impact Study of Integration Solar thermal power generation ต่อชัยชา ภานุวนิเวศ, กิตติศรี ญาศรีวงศ์, กิตติศรี ต่อชัยชาพิริยะ, ชาญ ชุมกุลวันไหว้ และเข่าย ชุมกุลวันไหว้ solar thermal energy, possibility, technology	 
80	PW078: การปรับปรุงคุณภาพไฟฟ้าของระบบไฟฟ้าส่องสว่างสำหรับโรงเรือนพยาบาล พุทธกร เก้าอี้สกุลวนนท์ ใจอ้ออิง กิตติศรี Power quality, Phase Multiplication	 
81	PW079: Bee Colony Optimization of Battery Capacity and Location for Alleviation of Voltage Rise Due to Photovoltaic Generations in Radial Distribution System ธีรุตต์ ใจชัยธรรม วีระษรัชช์ งามนหู และษิลป์ รัฐพorphชัย Photovoltaic, radial distribution systems, battery, bee colony optimization	 
82	PW080: Outage Cost of Commercial Sector in Thailand by Fuzzy Logic Method อภิสิทธิ์ สุขยอด ภานุรัตน์ ใจอ้ออิง พระราษฎร์พันธุ์ ภาสบุตร และราวย์ บัวประกร Reliability of Power System, Fuzzy Logic Method, Outage Cost	 
83	PW081: The Effect of Light Intensity from PV Power Generation on Power Quality Issue in PEA System ศุภชัย ใจชัยธรรม เบรมอนันต์ ใจชัยชาพิริยะ ชัยชัย งามนหู ใจชัยชาพิริยะ ชาญ ชุมกุลวันไหว้ light intensity, PV power generation, power quality	 

**การประยุกต์ใช้เทคโนโลยีประมวลผลภาพร่วมกับเครื่องวัดคุณภาพไฟฟ้า
สำหรับประเมินผลความถูกต้องเครื่องวัดพลังงานไฟฟ้าแบบอิเล็กทรอนิกส์**

**Using Image Processing Technique Associated with Power Quality Instrument
for Accuracy Evaluation of Electronic Energy Meters**

อธิศักดิ์ เหรี้ยงชูรุ่งโรจน์¹ พัตรชัย ศุภพิทักษ์สกุล² และผู้ช่วยศาสตราจารย์ ไสมะเตยกุรินทร์³

¹แผนกมิตรธ์ การไฟฟ้าส่วนภูมิภาคเมืองพัทยา

100 ม.2 ถนนพัทยา-นนทบุรี อ.นนทบุรี จ.ชลบุรี 20150 โทรทัพที่: 0-3822-1007 E-mail:atisakrienrungrote@hotmail.com

^{2,3}ภาควิชาชีวกรรมไฟฟ้า คณะวิศวกรรมศาสตร์ มหาวิทยาลัยเทคโนโลยีราชมงคลชั้นนำรุ่งเรือง

39 หมู่ที่ 1 ถนนรัชสีต - นราธิวาส ต.คลองหาด อ.รัชบุรี จ.ปทุมธานี 12110 โทรทัพที่: 0-2549-3425

E-mail: chatchai.s@en.rmutt.ac.th, nwsr2121@yahoo.com

บทคัดย่อ

บทความนี้ได้นำเสนอเทคนิคใหม่ในการประเมินผลความถูกต้องของเครื่องวัดพลังงานไฟฟ้าแบบอิเล็กทรอนิกส์ โดยใช้เทคนิคประมวลผลภาพร่วมกับการเก็บบันทึกค่ากำลังไฟฟ้าจริงจากเครื่องวัดคุณภาพไฟฟ้า ได้ดังนี้ กำหนดเวลาและใช้ในกระบวนการนับที่ก่อให้เกิดไฟฟ้า ในการประมวลผลภาพใช้เทคนิคการลบจุดภาพ (Subtraction) และการตรวจสอบจุดเริ่มเปลี่ยน (Threshold) ความสว่างของจุดภาพ จากนั้นใช้อัลกอริทึมที่ออกแบบในการแปลงภาพที่บันทึกได้ มาคำนวณไฟฟ้าได้เป็นค่ากำลังไฟฟ้าจริง แล้วนำมานเปรียบเทียบกับความถูกต้องที่ได้คำนวณจากเครื่องวัดคุณภาพไฟฟ้า ซึ่ง ที่บันทึกได้จากเครื่องวัดคุณภาพไฟฟ้า เพื่อใช้ในการประเมินผลความถูกต้องของเครื่องวัดพลังงานไฟฟ้าที่ใช้ในการทดสอบ ซึ่งผลการทดสอบให้ผลการประเมินที่ถูกต้อง โดยมีค่าลักษณะลักษณะ 0.87 % ถือว่าอยู่ในเกณฑ์มาตรฐานของการไฟฟ้าส่วนภูมิภาค

คำสำคัญ: เทคโนโลยีประมวลผลภาพ, เทคนิควัดพลังงานไฟฟ้าแบบอิเล็กทรอนิกส์, เครื่องวัดคุณภาพไฟฟ้า

Abstract

This paper presents a novel technique for accuracy evaluation of electronic energy meters that uses image processing techniques associated with the high accuracy power quality instrument. The indicator (LED) images of meters are recorded by a web camera. The images are processed subtraction and thresholding to detect the LED status. Later the designed algorithm is applied to calculate real power using time interval of the detected images then compared to the power that obtained from the power quality instrument. As the

experiments, the satisfactory results are given with average error of 0.87% which within the standard of the provincial electricity authority.

Keywords: image processing, electronic energy meters, power quality instrument

1. บทนำ

ความถูกต้องของเครื่องวัดพลังงานไฟฟ้า เป็นสิ่งที่มีความสำคัญอย่างยิ่งต่อผู้ใช้ไฟฟ้าทุกราย การไฟฟ้าส่วนภูมิภาคซึ่งมีนโยบาย ที่จะดำเนินการตรวจสอบความถูกต้องของเครื่องวัดพลังงานไฟฟ้าทุกเครื่อง รวมถึงผู้ใช้ไฟฟ้าที่ร้องเรียนเรื่องค่าไฟสูงหรือค่าไฟปกติสูงไปหรือมาลงในช่วงเวลาหนามาก ผู้ใช้ไฟฟ้าความน่าเชื่อถือ ลักษณะพื้นดินที่อยู่ระหว่างเวลาการปฏิบัติงานและสร้างความไม่สงบต่อผู้ใช้ไฟฟ้า จึงจำเป็นต้องมีเครื่องมือ หรือวิธีการสำหรับปฏิบัติงานได้อย่างปลอดภัย รวดเร็ว ใช้งานง่ายและมีความถูกต้อง

การตรวจสอบเครื่องวัดพลังงานไฟฟ้า ของการไฟฟ้าส่วนภูมิภาคในปัจจุบัน มีอยู่ด้วยกัน 3 วิธีดังนี้ 1. การตรวจสอบโดยทางใช้หน้าจอแสดงผลทางหน้าจอคอมพิวเตอร์ที่บันทึกผลลัพธ์ที่ได้จากการใช้หน้าจอแสดงผลทางหน้าจอคอมพิวเตอร์ [1] วิธีนี้ไม่เหมาะสมกับกลุ่มที่มีการเปลี่ยนแปลง โดยเฉพาะสถานที่ที่ใช้ระบบ 3 เฟส เมื่อจากการตรวจสอบด้วยวิธีนี้ใช้เพียงแค่ผลลัพธ์ที่ได้จากการประเมินค่าความถูกต้อง 2. การติดตั้งมิเตอร์รีบูตเพื่อให้สามารถเชื่อมต่อสู่เครื่องคอมพิวเตอร์ [2] จึงให้ผลลัพธ์ที่ได้จากการทำงาน 24 ชั่วโมง ซึ่งเป็นกิจกรรมที่ลากยาวไปหลายเดือน หรือแม้กระทั่งไม่นาน 3. การติดตั้งมิเตอร์รีบูตเพื่อให้สามารถเชื่อมต่อสู่เครื่องคอมพิวเตอร์ที่มีช่องขาตัวอย่างประการ คือ 1. ต้องใช้เครื่องวัดพลังงานไฟฟ้าที่มีคุณลักษณะเหมือนกัน 2. ต้องปลดวงจรไฟฟ้าเพื่อติดตั้งมิเตอร์รีบูตเพื่อให้สามารถเชื่อมต่อสู่เครื่องคอมพิวเตอร์ แรงดันไฟฟ้าอยู่ การปลดและติดต่อวงจรหากมีการใช้โหลดอยู่

จะอุดให้เกิดอันตรายต่อผู้ปฏิบัติงานและอุปกรณ์ไฟฟ้าได้ ซึ่ง 2 วินัยนี้เป็นแนวทางการปฏิบัติที่การไฟฟ้าส่วนภูมิภาคหน้างาน ส่วนวินัยที่ 3 การทดสอบเครื่องเริงดังพังงานไฟฟ้า [1] วินัยนี้ต้องปลดเครื่องเริงดังเพื่อไปทำการทดสอบในห้องทดลองที่สำนักงานใหญ่การไฟฟ้าส่วนภูมิภาค ซึ่งต้องใช้เวลาในการต่างทดสอบ และต้องปลดวงจรไฟฟ้าชั่วคราว

ปัจจุบันได้มีการพัฒนาเครื่องมือสำหรับงานตรวจสอบคุณภาพด้วยเครื่องวัดพลังงานไฟฟ้าโดยใช้ชั้นไฟเบอร์ [2] นิ่งชี้ร้าก็คือเรื่องของการสะท้อนแสงและตรวจสอบและเครื่องมือวัดความถี่อย่างมีประสิทธิภาพมาก ต่อมาได้มีการออกกฎหมายห้ามทดสอบกาวความคงทนเพื่อป้องของกาวได้รักษาความคงทนของกาวได้ต่อไปใช้การบันทึกภาพวิดีโอที่งานหมุน [3] เมื่อจากอุปกรณ์คอมพิวเตอร์เป็นอุปกรณ์ที่หาได้่ายและมีราคาถูก แต่ต้องทดสอบต้องมีการดันไฟฟ้าเทียบทดสอบเครื่องวัดพลังงานไฟฟ้าและไม่มีข้อไม่มีการนำมานำใช้กับเครื่องวัดพลังงานไฟฟ้าแบบเดิมก่อนนิยมใช้ได้เมื่อพัฒนาการประมวลผลความถูกต้องของเครื่องวัดพลังงานไฟฟ้าอยู่ก่อนนิยมตัววิเคราะห์การประมวลผลภาพ [4] แต่ต้องการดังกล่าวเป็นเพียงการทดลองเท่านั้น โดยจำนำที่คำนวณได้จากการใช้ภาพถ่ายอุปกรณ์ที่เป็นข้อมูลเรียบร้อยที่อยู่เบื้องหลัง ไม่มีผลการทดลองอีกครั้ง

เนื่องจากปัจจุบันได้มีการพัฒนาเครื่องวัดพลังงานไฟฟ้าที่เป็นแบบอิเล็กทรอนิกส์ สำหรับใช้งานทดแทนเครื่องวัดค่าพลังงานไฟฟ้าแบบแมกนิติก ทบทวนนี้จึงนำเสนอการประยุกต์ใช้เทคโนโลยี การประมวลผลทางวัrm กับเครื่องวัดคุณภาพไฟฟ้าสำหรับประเมินผลความถูกต้อง เกี่ยวกับเครื่องวัดพลังงานไฟฟ้าแบบอิเล็กทรอนิกส์ เพื่อศึกษาค่าความคลาดเคลื่อนในงานตรวจสอบที่อาจเกิดขึ้นจากเครื่องวัด วิธีการตรวจสอบและตัวตรวจสอบ โดยในที่นี้จะกล่าวถึงเครื่องวัดพลังงานไฟฟ้าแบบอิเล็กทรอนิกส์ผลิตภัณฑ์ ELSTER รุ่น A1800 และผลิตภัณฑ์ EDDM รุ่น MK6N เพื่อจงใจในการคิดตั้งใช้งานอยู่เบื้องต้นให้ มากประมวลผลทางความถูกต้องของเครื่องวัดพลังงานไฟฟ้าว่าอยู่ในเกณฑ์ปกติ ± 2.5% หรือไม่ [1] โดยหากความไม่แน่นอนของอุปกรณ์เป็น 4 ต่ำน ได้แก่ หลักการรับค่าและแสดงผลค่าพลังงานไฟฟ้า วิธีการประยุกต์ใช้เทคโนโลยี การประมวลผลทางวัrm กับเครื่องวัดพลังงานไฟฟ้า ผลกระทบส่วนการประมวลผลทางวัrm กับเครื่องวัดพลังงานไฟฟ้าและสุคัญที่มีการสรุปผลลัพธ์ด้วย ข้อเสียของวิธีการที่ไม่สนับสนุน

2. หลักการวัดค่าพลังงานไฟฟ้า

2.1 การรับค่าและแสดงผลค่าพลังงานไฟฟ้าสำหรับเครื่องวัดค่าพลังงานไฟฟ้าแบบอิเล็กทรอนิกส์

เครื่องวัดพลังงานไฟฟ้าแบบอิเล็กทรอนิกส์ชี้รูปแบบการทำงานและเปลี่ยนไปตามโปรแกรม ดังรูปที่ 1 แรงดันและกระแสของระบบไฟฟ้าจะถูกตรวจสอบโดยเซ็นเซอร์กระแสและแรงดันเป็นแรงดันหลังจากนั้นจะถูกคำนวณและประมวลผลโดยของแรงดันพะทางที่เรียกว่า Meter Engine ซึ่ง Meter Engine จะทำการคูณและการคำนวณอื่นๆ ซึ่ง



รูปที่ 1 บล็อกໄคอะแกรมของเครื่องวัดพลังงานไฟฟ้า [5]

2.2 การวัดค่าพลังงานไฟฟ้าจริงจากเครื่องวัดพลังงานไฟฟ้าแบบอิเล็กทรอนิกส์โดยวิธีการประมวลผลภาพ

ในที่นี้ใช้กัดล่องเว็บแคมในการบันทึกภาพเคลื่อนไหวซึ่งมีค่าที่สำคัญคือค่าเฟรมเรต (Frame Rate)

เฟร์เมอร์ เต็ล คือ อัครราชบันนึกภารกิจได้ในหนึ่งวินาที เช่น ก้องลั่นแคนเม็นมีนาทีที่หักกัน 30 เฟร์เมอร์ หมายความว่า ก้องลั่นสามารถบันทึกภาพได้ 30 ภาพต่อ 1 วินาที เป็นต้น ซึ่งสามารถหาค่าเวลาระหว่างภาพตัวแทนง่ายที่ 1 และตัวแทนง่ายที่ 2 ได้ดังนี้ [3]

$$\text{เวลา (วินาที)} = \frac{\text{ดำเนินการที่ 2} - \text{ดำเนินการที่ 1}}{\text{เบร์รัต (ก้าวต่อคิบิเมตร)}} \quad (1)$$

ในที่สี่ ใช้กล้องเก็บภาพโดยอัตโนมัติ 30 เฟรมต่อ

ดังนั้นมีความต้องการบอร์ดที่มีชิปเซ็ตแบบ Microcontroller สำหรับการต่อสัญญาณ LED ที่มีความต้องการข้อมูลแบบเรียลไทม์ เช่น จับเวลา คำนวณ ฯลฯ ซึ่งจะต้องใช้ชิปเซ็ตที่มีความสามารถในการคำนวณและจัดการข้อมูลได้เร็วๆ คือ Microcontroller ที่มีชื่อว่า Arduino

$$P_M = \frac{3600 \times N \times CT_{RATIO} \times PT_{RATIO}}{(\ln n / KWH) \times T} \quad (2)$$

ເນື້ອ P ອີ່ອ ຄ່າກໍາລັງໄຟຟ້າຈິງທີ່ໄດ້ຈາກຄວາມຄຳນາງາ (ຄົວລວມ)

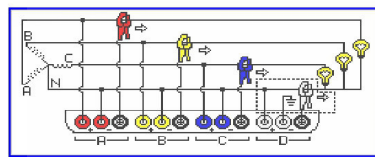
๕๒ จิตวิญญาณของชาติไทย (เรื่อง)

និង ការរំលែកប្រជាជាតិ និងការរំលែកប្រជាធិបតេយ្យ

PT_{RATIO} คือ อัตราส่วนที่มีอัปพลิเคชัน; ไม่มีให้ค่าเป็น 1
 Imp/KWH คือ จำนวนรอบการทำงานของเครื่องวัดค่าก่อไฟต่อหน่วยเวลา
 T คือ เวลาที่ต้องได้ (วินาที)

2.3 การวัดค่าพลังงานไฟฟ้าจริงจากเครื่องวัดคุณภาพไฟฟ้า

เครื่องวัดคุณภาพไฟฟ้า ผลิตภัณฑ์ DRANETZ รุ่น Power Visa ซึ่งมีความละเอียด และความถูกต้องสูง สามารถส่งข้อมูลออกมายังไฟฟ้า Excel ด้วยโปรแกรม Dran-View สามารถต่อวงจรเครื่องวัดคุณภาพไฟฟ้าให้ตามวงจร ดังรูปที่ 2



รูปที่ 2 การต่อวงจรเครื่องวัดคุณภาพไฟฟ้า
ค่าพลังงานไฟฟ้าจริงที่ถูกเก็บบันทึกมีค่าตามสมการดังนี้ [1]

$$P_T = V_{AN} I_A \cos \theta_A + V_{BN} I_B \cos \theta_B + V_{CN} I_C \cos \theta_C \quad (3)$$

เมื่อ	P_T	กำลังไฟฟ้าจริงที่ได้จากการวัด (วัตต์)
	V_{AN}	แรงดันไฟ A (โวลต์)
	V_{BN}	แรงดันไฟ B (โวลต์)
	V_{CN}	แรงดันไฟ C (โวลต์)
	I_A	กระแสไฟ A (แอมป์เบอร์)
	I_B	กระแสไฟ B (แอมป์เบอร์)
	I_C	กระแสไฟ C (แอมป์เบอร์)
	$\cos \theta_A$	ค่าเพาเวอร์ฟัลคอร์ฟิลด์ A
	$\cos \theta_B$	ค่าเพาเวอร์ฟัลคอร์ฟิลด์ B
	$\cos \theta_C$	ค่าเพาเวอร์ฟัลคอร์ฟิลด์ C

2.4 การประเมินผลความถูกต้องของเครื่องวัดพลังงานไฟฟ้า

การไฟฟ้าส่วนภูมิภาคได้กำหนดค่าความคลาดเคลื่อนของเครื่องวัดพลังงานไฟฟ้า ค่าไม่เกิน $\pm 2.5\%$ [1] โดยวิธีการนี้คำนึงถึงการติดต่อที่ดีของเครื่องวัดพลังงานไฟฟ้าจริงที่คำนวณได้จากการเข้ารอบการทำงานของหลอด LED1 เปรียบเทียบกับบันทึกกำลังไฟฟ้าจริงที่ต้องได้ จากสมการที่ (2) และ (3) สามารถเขียนเป็นสมการ ได้ดังนี้ [1]

$$\% \text{ ความคลาดเคลื่อน} = [(P_M - P_T)/P_T] \times 100 \quad (4)$$

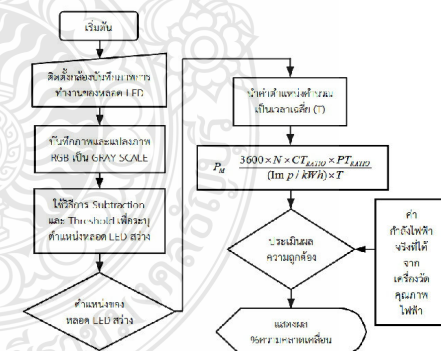
3. วิธีการตรวจสอบเครื่องวัดค่าพลังงานไฟฟ้า

3.1 วิธีการตรวจสอบเครื่องวัดพลังงานไฟฟ้าที่น้ำสนอ

เนื่องจากวิธีการตรวจสอบเครื่องวัดค่าพลังงานไฟฟ้าโดยการขับเวลาเดือนกิกาจัมเวลามีข้อจำกัดในเรื่องความแม่นยำของเพาเวอร์มิเตอร์ที่ใช้อยู่ปัจจุบัน ขั้นนี้ขอเสนอวิธีการตรวจสอบในขณะที่โหลดเปลี่ยนแปลง แทนที่จะอนุมานเพาเวอร์มิเตอร์ที่ใช้วัดค่าไฟฟ้าเบริล์ที่บ้านได้ และเครื่องมือที่ใช้ในการตรวจสอบเครื่องวัดพลังงานไฟฟ้ามีราคาสูงมาก ดังนั้นงานวิจัยนี้จึงได้เลือกการประยุกต์ภาคในไลช์ประมวลผลภาษา C รวมถึงการเขียนวิธีการตรวจสอบเครื่องวัดพลังงานไฟฟ้าแบบอิเล็กทรอนิกส์

3.2 วิธีการหาค่าเวลาโดยการประมวลผลภาพ

วิธีการประมวลผลภาพ เป็นการนำภาพที่เป็นสัญญาณอนาล็อก แปลงเป็นสัญญาณดิจิตอล เพื่อใช้ในการประมวลผลค่าなんทางคอมพิวเตอร์ ซึ่งใช้กล้องร่องเว็บแคมขับการพาการ์ทำงานของเครื่องวัดพลังงานไฟฟ้าจากห้องทดลอง LED1 ที่มีความตันพันธุ์กับค่าพลังงานไฟฟ้าจริง และนำสัญญาณภาพที่เป็น RGB แปลงให้เป็น Gray Scale เพื่อเบริล์ที่ระดับสีได้รับ จากนั้นหาค่าผลต่างระหว่างภาพปัจจุบันกับภาพอดีตไปริบาร์ริ่งที่ 1 โปรแกรมประมวลผลทำการแปลงภาพเป็นภาพขาว-ดำและนับจำนวนพิกเซลที่ค่าเป็น 1 หากจำนวนพิกเซลที่ค่าเป็น 1 เกินค่า Threshold ให้บันทึกค่าใหม่ของไฟฟ้า พร้อมที่ทำการวัดค่าพลังงานจากเครื่องวัดคุณภาพไฟฟ้า จากนั้นหาค่าผลต่างค่าใหม่ของไฟฟ้ากับค่าเดิมเป็นเวลาอัลตร้า 1 รอบการทำงาน ของเครื่องวัดพลังงานไฟฟ้าจากอัตรา Frame Rate คำนวนค่าพลังงานไฟฟ้าจริงและเบริล์ที่ขึ้นตอนในการทำงานดังแผนภาพรูปที่ 3



รูปที่ 3 ขั้นตอนการประยุกต์ใช้การประมวลผลภาพตรวจสอบเครื่องวัดพลังงานไฟฟ้าแบบอิเล็กทรอนิกส์

4. การติดตั้งชุดตรวจสอบเครื่องวัดพลังงานไฟฟ้า

4.1 การติดตั้งเครื่องวัดคุณภาพไฟฟ้าร่วมกับกล้องเว็บแคมเพื่อประเมินผลความถูกต้องของเครื่องวัดพลังงานไฟฟ้า



รูปที่ 4 การตรวจสอบเครื่องวัดพลังงานไฟฟ้าแบบอิเล็กทรอนิกส์

4.2 การประเมินผลภาพโดยใช้เทคนิคการลบจุดภาพ

(Subtraction) และการตรวจสอบดับจุดเริ่มเปลี่ยน (Threshold)
ความสว่างของจุดภาพ



รูปที่ 5 การประเมินผลภาพดิจิตอล

จากรูปที่ 4 และ 5 แสดงค่า百分率ของการบันทึกเวลาการทำงานของเครื่องวัดพลังงานไฟฟ้า และการประเมินผลไฟฟ้ากระแส มีผลลด LED1 กระแสไฟฟ้าที่ 1 ไปแรงงานกระแสไฟฟ้ากระแสไฟฟ้ากระแสไฟฟ้าที่ 1 และนับจำนวนพิกเซลที่เปลี่ยน 1 หากจำนวนพิกเซลนี้มากกว่า 1 เกินกว่าที่กำหนดให้บันทึกค่า百分率ไฟฟ้าในแรงงานที่ 1 ไฟฟ้าที่บันทึกค่าพลังงานจากเครื่องวัดคุณภาพไฟฟ้า หลังจากหยุดขั้นเวลาพร้อมทั้งหยุดการวัดค่าพลังงาน จนกว่าไฟฟ้าที่มีจำนวนพิกเซลจะเป็น 1 เกินกว่า Threshold มาคำนวณระยะเวลาห่างเฉลี่ย ที่เวลาจะได้ค่าเวลาที่เครื่องวัดพลังงานไฟฟ้ารอบ 1 รอบ จากนั้นจึงนำค่ามา ฯ ที่ควรเข้าได้มาคำนวณ และประเมินผลความถูกต้องของเครื่องวัดพลังงานไฟฟ้า

5. ผลการทดสอบวิธีการประเมินผลภาพและการจับเวลาด้วยนาฬิกาบีบีซึ่งเทียบกับเครื่องวัดคุณภาพไฟฟ้า

จากการทดลอง ได้ผลการเปรียบเทียบค่าคำนวณไฟฟ้าจริงโดยเพิ่มโหลดครั้ง 100 วัตต์ ตั้งแต่ 0 – 1000 วัตต์ จากวิธีการประเมินผลภาพ และการจับเวลาขั้นมาพิจารณาเปรียบเทียบกับเครื่องวัดคุณภาพไฟฟ้าร้อนที่คำนวณค่ากำลังไฟฟ้าจริงและค่าเบอร์เซ็นต์คิดผลจากสมการที่ (1) – (3) ได้ดังตารางที่ 1

ตารางที่ 1 เปรียบเทียบค่าคำนวณไฟฟ้าจริงด้วยวิธีการที่ทดสอบ

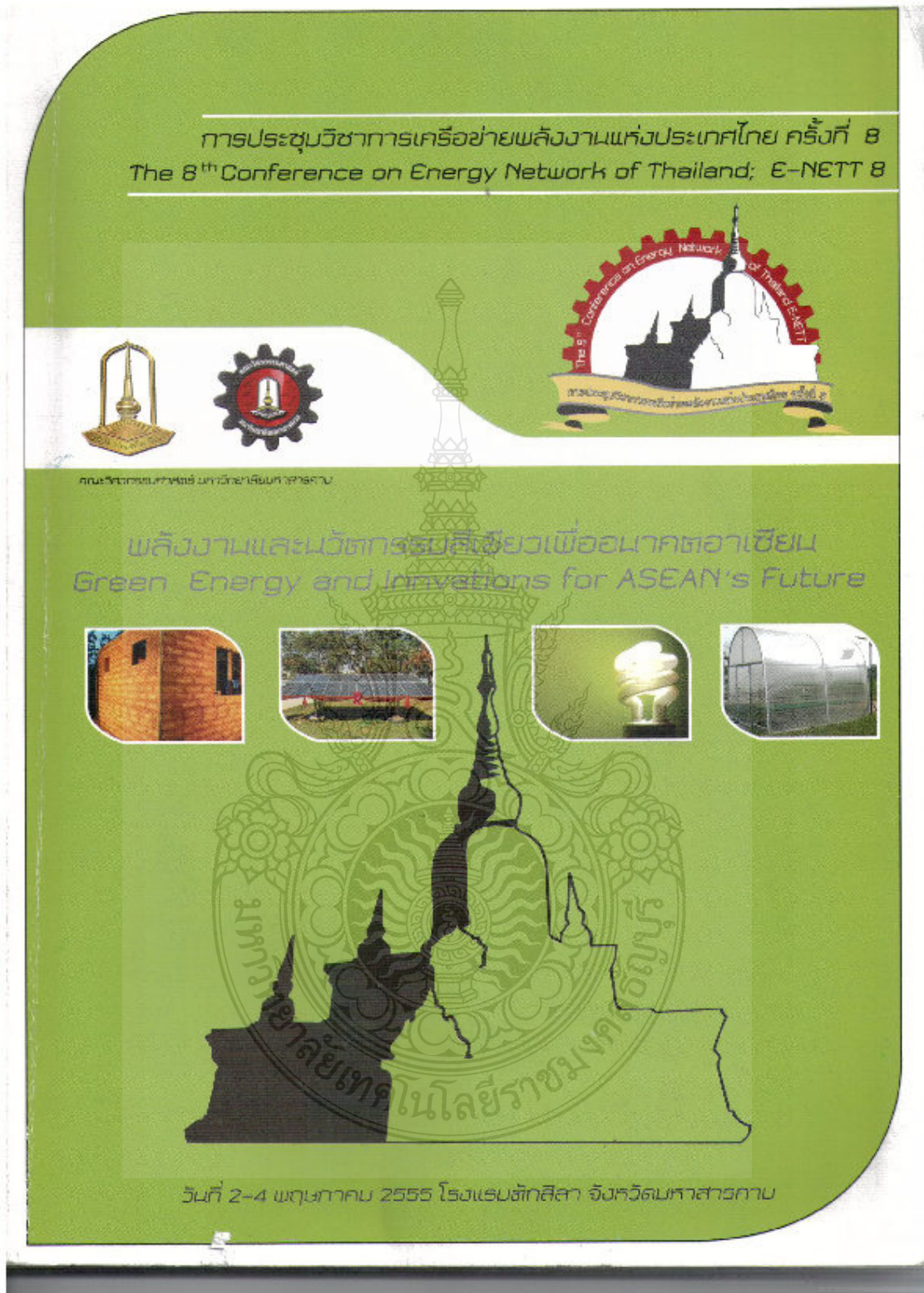
ค่าที่ต้องการคำนวณคุณภาพไฟฟ้า		ค่าที่ได้จากการจับเวลา		ค่าที่ได้จากการคำนวณด้วยนาฬิกา	
แรงดัน	กระแส (แอมป์)	ค่ารั้งไฟฟ้า (ชั่ววัด)	ค่ารั้งไฟฟ้า (ชั่ววัด)	% ผิดต่าง	% ผิดต่าง
235.79	0.4353	102.45	102.86	0.40	101.64
234.44	0.8869	207.57	205.71	-0.90	201.23
233.77	1.3132	306.58	305.95	-0.21	299.00
230.49	1.7590	404.80	408.32	0.87	394.74
227.22	2.1729	493.20	499.23	1.22	480.64
232.18	2.6624	617.70	623.08	0.87	588.24
232.17	3.0794	714.40	721.20	0.95	688.34
231.10	3.9670	916.30	926.24	1.08	845.07
230.20	4.8260	1,110.50	1,119.20	0.78	954.91
229.27	5.3090	1,216.60	1,225.30	0.72	1,100.92
ค่าเฉลี่ยสัมบูรณ์				0.87	5.93

6. สรุปผล

การประยุกต์ใช้เทคโนโลยีในการประเมินผลภาพสามารถลดวัดค่ากำลังไฟฟ้าจริงที่ตรวจสอบจากการแสดงผลของ LED1 ได้ถูกต้องกว่า วิธีการจับเวลาด้วยสายตา 1 จากตารางที่ 1 ผลการทดลองพบว่าการตรวจสอบความถูกต้องของค่าความถี่ไฟฟ้าและค่ากระแสไฟฟ้าที่เนื่องจากเหตุผลในข้อที่ 3.1 เมื่อเปรียบเทียบกับเครื่องวัดคุณภาพไฟฟ้าจะนั้นเรียกวิธีการประเมินผลภาพสามารถลดตรวจสอบค่าคำนวณไฟฟ้าได้ถูกต้อง ยัง สะดวก รวดเร็ว แม่นยำ โดยที่มีค่าความคลาดเคลื่อนเฉลี่ย 0.87 % ซึ่งสามารถที่จะนำไปใช้งานได้อย่างมีประสิทธิภาพ

เอกสารอ้างอิง

- [1] กองมิตรชีฟฟ้ากานไฟฟ้าส่วนภูมิภาค, “เอกสารการอบรมการตรวจสอบนิมิตรชีฟฟ้าส่วนภูมิภาค”, 2540
- [2] Unipower AB, “Verification equipment for electric meters Unipower 3010” Sweden, available from www.eng.unipower.se access on 21/02/2012.
- [3] สมชาย เมียนสุนนิน, “ ชุดทดสอบค่าความถี่ไฟฟ้าและค่ากระแสไฟฟ้า ” การประชุมวิชาการทางวิศวกรรมไฟฟ้าครั้งที่ 34 (EECON-34), 2554
- [4] อธิศักดิ์ เหงอยรุ่ง ใจเงิน และคณะ, “การประเมินผลความถูกต้องของเครื่องวัดพลังงานไฟฟ้าอิเล็กทรอนิกส์ด้วยวิธีการประเมินผลภาพ” การประชุมวิชาการที่เรื่องที่ 8, 2555
- [5] Forth Corporation Public Co.Ltd, “คู่มือมิตรชีฟฟ้า ELSTER A1800”, กรุงเทพฯ : การไฟฟ้าส่วนภูมิภาค, 2551





รายชื่อผู้ทรงคุณวุฒิพิจารณาบทความ

รศ.ดร. กุลเชษฐ์ เพียรทอง	มหาวิทยาลัยอุบลราชธานี
รศ.ดร. ฐานิตย์ เมธิyanan	มหาวิทยาลัยเทคโนโลยีมหานคร
รศ.ดร. ณัฐวุฒิ กาศยกนันทน์	มหาวิทยาลัยเทคโนโลยีพระจอมเกล้าธนบุรี
รศ.ดร. นรินทร์ วัฒนา	มหาวิทยาลัยธรรมศาสตร์
รศ.ดร. พงษ์เจต พรหมวงศ์	สถาบันเทคโนโลยีพระจอมเกล้าเจ้าคุณทหารลาดกระบัง
รศ.ดร. มาโนะ อรุณกิจบำรุง	มหาวิทยาลัยเทคโนโลยีพระจอมเกล้าธนบุรี
รศ.ดร. สมเกียรติ ปรัชญารากร	มหาวิทยาลัยเทคโนโลยีพระจอมเกล้าธนบุรี
รศ.ดร. อดิศักดิ์ นาถกรรณกุล	มหาวิทยาลัยเทคโนโลยีพระจอมเกล้าธนบุรี
รศ.ดร. สัมพันธ์ ฤทธิเดช	มหาวิทยาลัยมหาสารคาม
รศ.ดร. สิงห์ทอง พัฒนาเครชฐานน์	มหาวิทยาลัยมหาสารคาม
รศ.ดร. เสริม จันทร์ฉาย	มหาวิทยาลัยศิลปากร
ผศ.ดร. จันดา เจริญพราณนิชย์	สถาบันเทคโนโลยีพระจอมเกล้าเจ้าคุณทหารลาดกระบัง
ผศ.ดร. กิตติ สถาพรประสาท	มหาวิทยาลัยศรีนครินทรวิโรฒ
ผศ.ดร. จุฬารัตน์ เปญจปิยะพร	มหาวิทยาลัยขอนแก่น
ผศ.ดร. ชวัลิต ถินวงศ์พิทักษ์	มหาวิทยาลัยอุบลราชธานี
ผศ.ดร. ธนาวัฒน์ ศรีวีระกุล	มหาวิทยาลัยอุบลราชธานี
ผศ.ดร. อำนวย พีบุญมา	มหาวิทยาลัยอุบลราชธานี
ผศ.ดร. ชัยยงค์ เดชะไพบูลย์	มหาวิทยาลัยศิลปากร
ผศ.ดร. นริส ประทินทอง	มหาวิทยาลัยเทคโนโลยีพระจอมเกล้าธนบุรี
ผศ.ดร. ปวีชา เติมสุขสวัสดิ์	มหาวิทยาลัยเทคโนโลยีพระจอมเกล้าธนบุรี
ผศ.ดร. จิรวรรณ เตียรรถสุวรรณ	มหาวิทยาลัยเทคโนโลยีพระจอมเกล้าธนบุรี
ผศ.ดร. ชนิด สวัสดิ์เสวี	มหาวิทยาลัยเทคโนโลยีพระจอมเกล้าธนบุรี
ผศ. สมบูรณ์ เวชกามา	มหาวิทยาลัยเทคโนโลยีพระจอมเกล้าธนบุรี
ผศ.ดร. วันชัย นิมฉิว	มหาวิทยาลัยหอการค้าไทย
ผศ.ดร. ศักดิ์ราเว ระวีกุล	มหาวิทยาลัยเทคโนโลยีมหาสารคาม
ผศ.ดร. ศิริ ดวงพร	มหาวิทยาลัยราชภัฏอุดรธานี
ผศ.ดร. สมชาย มณีวรรณ	มหาวิทยาลัยนเรศวร
ผศ.ดร. นิพนธ์ เกตุจ้อย	มหาวิทยาลัยมหาสารคาม
ผศ.ดร. จันดาพร จำรัสเลิศลักษณ์	มหาวิทยาลัยมหิดล
ผศ.ดร. เจริญพร เลิศสถิตธนกร	มหาวิทยาลัยมหาสารคาม
ผศ.ดร. บพิช บุปผาชิต	มหาวิทยาลัยมหาสารคาม
ผศ.ดร. ณัฐพล ภูมิเศวต	มหาวิทยาลัยมหาสารคาม



การประเมินผลความถูกต้องของเครื่องวัดพลังงานไฟฟ้าอิเล็กทรอนิกส์ ด้วยวิธีการประมวลผลภาพ

Evaluation Accuracy of Electronic Energy Meters Using Image Processing

อธิศักดิ์ เหรียบุญรุ่งโรจน์ ¹, อัครชัย คุภพิทักษ์สกุล ² และ ณัฐรุณี โสมะเกษย์รินทร์ ³

ภาควิชาวิศวกรรมไฟฟ้า คณะวิศวกรรมศาสตร์ มหาวิทยาลัยเทคโนโลยีราชมงคลธัญบุรี

39 ม.1 ถนนรังสิต-นครนายก ต.คลองಹอก อ.ธัญบุรี จ.ปทุมธานี 12110

โทร 0-2549-3425, 083-701-2542 โทรสาร 0-2549-3422 E-mail : atisakrienrungrote@hotmail.com

บทคัดย่อ

บทความนี้เป็นการนำเสนอการศึกษาเครื่องมือที่ใช้ในการตรวจสอบความถูกต้องของเครื่องวัดพลังงานไฟฟ้าอิเล็กทรอนิกส์ ให้มีความสะดวก รวดเร็ว และเพิ่มความแม่น้ำเขื่อยืดในงานตรวจสอบ ด้วยการใช้เทคโนโลยีประมวลผลภาพ มาวิเคราะห์การทำงานของเครื่องวัดพลังงานไฟฟ้า โดยนำภาพที่จับได้จากกล้องเว็บแคมมาประมวลผลด้วยเทคโนโลยีการลบ Subtractions และทำ Thresholding จากนั้นใช้อัลกอริทึมแปลงค่าจากภาพที่ได้ เป็นค่าพลังงานไฟฟ้าที่ใช้จริง เพื่อเป็นค่าเปรียบเทียบกับเครื่องวัดพลังงานไฟฟ้ามาตรฐาน และประมวลผลค่าความถูกต้องของเครื่องวัดพลังงานไฟฟ้าที่ทำการตรวจสอบ

ค่าหลัก: เครื่องวัดพลังงานไฟฟ้าแบบอิเล็กทรอนิกส์, เทคโนโลยีการประมวลผลภาพ

Abstract

This paper presents a technique for evaluation accuracy electronic energy meters, to make the method more simplify faster and increase reliability in Organization, by the image processing technology, to analyze accuracy of electronic energy meters. By the image from the web camera to processing with subtraction and thresholding techniques, and then use algorithm to transform pictures to the real power energy consumptions to compare with the standard energy meter and evaluate accuracy of electronic energy meters

Keywords: Electronic energy meters, Image processing

1. บทนำ

เครื่องวัดพลังงานไฟฟ้า (Energy Meter) เป็นเครื่องมือใช้สำหรับวัดปริมาณพลังงานไฟฟ้าของผู้ใช้ไฟ ที่มีใช้อยู่ตามสถานประกอบการ อาคารบ้านเรือน ต่างๆ ซึ่งค่าพลังงานที่วัดได้ต้องมีความเที่ยงตรง ตลอดเวลา หากเครื่องวัดพลังงานไฟฟ้าทำงานไม่

ถูกต้อง จะส่งผลต่อการคำนวณค่าพลังงานไฟฟ้าไม่ถูกต้อง ก่อให้เกิดผลกระทบต่อผู้ใช้ไฟฟ้าและองค์กร ขาดความน่าเชื่อถือ การตรวจสอบเครื่องวัดพลังงานไฟฟ้าของการไฟฟ้าส่วนภูมิภาคนั้น มีอยู่ด้วยกัน 2 วิธี ได้แก่ 1.วิธีการติดตั้งมิเตอร์เบรย์มเทียน ใช้เวลาในการทดสอบ 24 ชั่วโมง [1] ซึ่งต้องดับไฟขณะที่

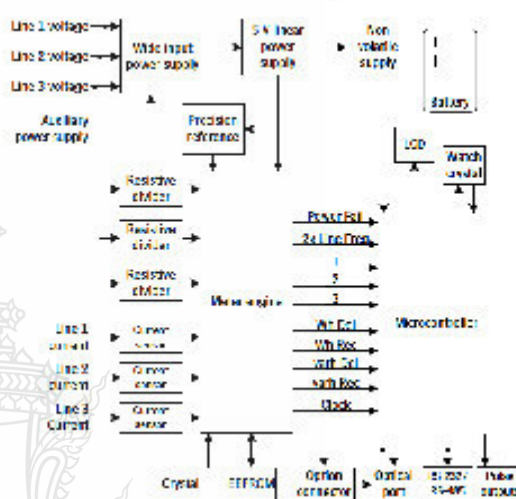


การประชุมวิชาการเครือข่ายพลังงานแห่งประเทศไทยครั้งที่ 8
วันที่ 2-4 พฤษภาคม พ.ศ. 2555 จังหวัดมหาสารคาม

การเปรียบเทียบสำหรับมิเตอร์วัดค่าแมมนทางตรง หรือ การเปรียบเทียบมิเตอร์วัดค่าแมมนทางอ้อมทำได้โดย ไม่ต้นไฟมีความเสียงในการปฏิบัติงาน ทั้งนี้ยังต้องใช้ ปืนที่ในการติดตั้งและต่อสายยางจะอึดด้วย 2.วิธีการ ตรวจสอบโดยการใช้มาตรวัดจับเวลาจากงานหมุนหรือ งานที่บันเบรียบเทียบกับแคลิบรมอนเพาเวอร์มิเตอร์ (Clamp-on power meter) [1] วิธีการตั้งกล่าวไว้ สามารถประเมินผลได้กับโหลดที่มีการเปลี่ยนแปลง ขณะตรวจสอบ หรือกรณีตรวจสอบกิโลวัตต์ชาร์ฟ มิลเลอร์ (Kilowatt hour meter) แบบ 3 เฟส บัญชีบัน ให้มีการพัฒนาเครื่องมือสำหรับงานตรวจสอบความ ถูกต้องของเครื่องวัดพลังงานไฟฟ้าโดยใช้อินฟารेड [2] ก็มีจุดอ่อนเรื่องการสะท้อนแสงของขณะตรวจสอบและ มีราคาสูง บัญชีบันอุปกรณ์คอมพิวเตอร์เป็นอุปกรณ์ที่ หาได้ลำบากและมีราคาถูก จึงมีการพัฒนาชุดทดสอบค่า ความคลาดเคลื่อนของกิโลวัตต์ชาร์ฟมิเตอร์โดยใช้การ บันทึกภาพวิดีโอที่จำแนก [3] แต่การทดสอบต้องมี การดับไฟเพื่อทดสอบกิโลวัตต์ชาร์ฟมิเตอร์เชิงกันและ ไม่สามารถใช้กับกิโลวัตต์ชาร์ฟมิเตอร์แบบ อิเล็กทรอนิกส์ บทความนี้จึงนำเสนอแนวทาง การพัฒนาการตรวจสอบความถูกต้องของเครื่องวัด พลังงานไฟฟ้าแบบอิเล็กทรอนิกส์ด้วยวิธีการ ประมาณผลภาพเพื่อความปลอดภัย ใช้งานง่าย โดย การใช้หลักการนาฬิกาวิดีโอการกระพริบของหลอด LED แปลงเป็นรูปภาพเพื่อเนื่อง มาคำนวณเวลาการ ทำงาน จากนั้นนำค่าเวลาคำนวนผลลัพธ์งานไฟฟ้า เบรียบเทียบกับชุดวัดค่าพลังงานไฟฟ้ามาตรฐาน เพื่อ ประมาณผลค่าความถูกต้องของเครื่องวัดพลังงาน ไฟฟ้าว่าอยู่ในเกณฑ์หรือไม่ โดยบทความนี้แบ่ง เป็นหัวข้อเป็น 8 ส่วน ได้แก่ หลักการวัดค่าพลังงาน ไฟฟ้า, วิธีการตรวจสอบเครื่องวัดค่าพลังงานไฟฟ้า, การประมาณค่าใช้เทคโนโลยีประมาณผลภาพ, การ ทดสอบ ข้อเสนอแนะ สรุปผล และเอกสารอ้างอิง ดังนี้

2. หลักการวัดค่าพลังงานไฟฟ้า

2.1 การวัดและแสดงผลค่าพลังงานไฟฟ้าสำหรับ เครื่องวัดค่าพลังงานไฟฟ้าแบบอิเล็กทรอนิกส์ เครื่องวัดค่าพลังงานไฟฟ้าแบบอิเล็กทรอนิกส์ มีส่วนประกอบการทำงานดัง ๆ ดังรูปที่ 1



รูปที่ 1 ตัวอย่างหนึ่งถือได้ว่าограмของเครื่องวัด พลังงานไฟฟ้าแบบอิเล็กทรอนิกส์ [4]

แรงดันและกระแสของระบบไฟฟ้าจะถูก ตรวจสอบโดยเซ็นเซอร์กระแสและวงจรแบ่งแรงดัน หลังจากนั้นจะถูกคำนวณและประมาณผลโดยวงจรรวม เฉพาะทางที่เรียกว่า Meter Engine ชื่ง Meter Engine จะทำการคูณและการคำนวณอีก 1 ชื่งภายใน Meter Engine จะประมาณตัวอักษรและวงจรประมาณผล (DSP) และ วงจรแปลงสัญญาณ analog เป็นดิจิตอล (ADC) ส่งสัญญาณต่อไปยัง หน่วย ควบคุม (Microcontroller) สร้างสัญญาณพัลส์ออกทาง หลอด LED และแสดงผลเอาไว้ทุกอย่างหน้าจอ LCD



การประชุมวิชาการเครือข่ายพัฒนาแห่งประเทศไทยครั้งที่ 8
วันที่ 2-4 พฤษภาคม พ.ศ. 2555 จังหวัดมหาสารคาม

ค่าพัฒนาไฟฟ้าที่วัดได้มีค่าความสมการดังต่อไปนี้ [3]

$$P = \frac{v_1 i_1 + v_2 i_2 + v_3 i_3 + \dots + v_n i_n}{N} \quad W \quad (1)$$

เมื่อ P คือ ค่ากำลังไฟฟ้าจริง

$v(n)$ คือ แรงดันไฟฟ้าที่สุ่มมาครั้งที่ n

$i(n)$ คือ กระแสไฟฟ้าที่สุ่มมาครั้งที่ n

N คือ จำนวนช่วงเวลาที่แบ่งเท่าๆ กันในคานเวลา T

2.2 การวัดค่าพัฒนาไฟฟ้า

เมื่อกำเนิดควบคุม (Microcontroller) สั่งสัญญาณเพลส์ออกทาง LED ซึ่งสามารถคำนวณค่าพัฒนาไฟฟ้าได้ [1] ดังนี้

$$P_M = \frac{3600 \times N \times CT_{RATIO} \times PT_{RATIO}}{(Imp/kWh) \times T} \quad (2)$$

เมื่อ P_M คือ ค่ากำลังไฟฟ้าจริงที่ได้จากการคำนวณรอบการทำงาน (กิโลวัตต์)

N คือ จำนวนรอบของการทำงาน (รอบ)

CT_{RATIO} คือ อัตราส่วนของหน่วยปล่องกระแส; หากไม่มีให้ค่าเป็น 1

PT_{RATIO} คือ อัตราส่วนของหน่วยปล่องแรงดัน; หากไม่มีให้ค่าเป็น 1

Imp/kWh คือ จำนวนรอบการทำงานของเครื่องวัดต่อ 1 กิโลวัตต์

T คือ เวลาที่วัดได้ (วินาที)

2.3 การประเมินผลความถูกต้องของเครื่องวัดพัฒนาไฟฟ้า [1]

การไฟฟ้าส่วนภูมิภาคได้กำหนดค่าความคลาดเคลื่อนของเครื่องวัดพัฒนาไฟฟ้า ค่าไม่เกิน $\pm 2.5\%$ โดยวิธีการนี้นำค่าพัฒนาไฟฟ้าที่คำนวณได้

จากการเข้ารับการทำงานของหลอด LED 併รับเทียนกับค่ากำลังไฟฟ้าจริงที่วัดได้ จากสมการที่ 1 และ 2 สามารถเขียนสมการได้ดังนี้

$$\% \text{ ความคลาดเคลื่อน} = [(P_M - P)/P] \times 100 \quad (3)$$

3. วิธีการตรวจสอบเครื่องวัดค่าพัฒนาไฟฟ้า

การประเมินผลความถูกต้องของเครื่องวัดพัฒนาไฟฟ้า สามารถแบ่งออกเป็น 2 รูปแบบคือ การตรวจสอบเครื่องวัดพัฒนาไฟฟ้าและ การทดสอบเครื่องวัดพัฒนาไฟฟ้า ซึ่งการตรวจสอบเป็นการประเมินผลของเครื่องวัดพัฒนาไฟฟ้าติดตั้งใช้งานอยู่ในสภาพภาวะใช้งานจริง ส่วนการทดสอบจะเป็นการประเมินผลโดยการนำเครื่องวัดพัฒนาไฟฟ้าไปทดสอบภายใต้สภาวะเงื่อนไข ทั้งสองรูปแบบมีวิธีการ, เครื่องมือที่ใช้และข้อต้องระวัง ดังนี้

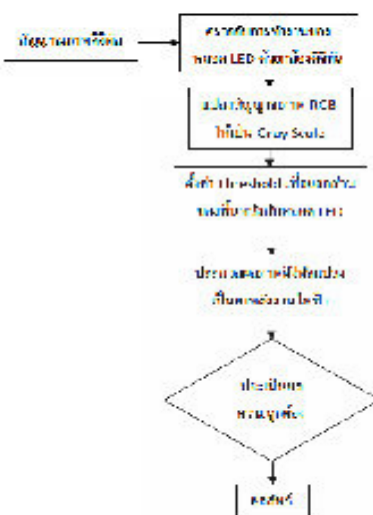
ตารางที่ 1 [1-3] เมธอดวิธีการและการใช้เครื่องมือในการตรวจสอบ

รหัสเครื่องมือ	อธิบาย	ข้อสังเกต
เครื่องทดสอบค่ากำลังไฟฟ้าต่อไปน้ำ DC clamp On Power Tester	- เครื่องทดสอบค่ากำลังไฟฟ้าต่อไปน้ำ - บานงาชติดตั้งบนวงจรไฟฟ้า - บานงาชติดตั้งบนวงจรไฟฟ้า	- ไม่สามารถใช้ทดสอบไฟฟ้าที่มีหัวต่อ - ไม่สามารถติดตั้งบนวงจรไฟฟ้าที่มีหัวต่อ
ไฟฟ้า 测量钳形表 หรือวิตกมิเตอร์	- ไฟฟ้า 测量钳形表 - วิตกมิเตอร์	- ต้องติดตั้งไฟฟ้าอย่างถูกต้อง - ต้องติดตั้งไฟฟ้าอย่างถูกต้อง - ต้องติดตั้งไฟฟ้าอย่างถูกต้อง
อุปกรณ์ติดตั้งไฟฟ้าต่อไปน้ำ DC clamp On Power Tester	- อุปกรณ์ติดตั้งไฟฟ้าต่อไปน้ำ - บานงาชติดตั้งบนวงจรไฟฟ้า	- ไม่สามารถติดตั้งไฟฟ้าต่อไปน้ำ - ไม่สามารถติดตั้งไฟฟ้าต่อไปน้ำ - ไม่สามารถติดตั้งไฟฟ้าต่อไปน้ำ
อุปกรณ์ติดตั้งไฟฟ้าต่อไปน้ำ DC clamp On Power Tester	- อุปกรณ์ติดตั้งไฟฟ้าต่อไปน้ำ - บานงาชติดตั้งบนวงจรไฟฟ้า - บานงาชติดตั้งบนวงจรไฟฟ้า	- ต้องติดตั้งไฟฟ้าอย่างถูกต้อง - ต้องติดตั้งไฟฟ้าอย่างถูกต้อง - ต้องติดตั้งไฟฟ้าอย่างถูกต้อง
Impower 200A	- Impower 200A - บานงาชติดตั้งบนวงจรไฟฟ้าต่อไปน้ำ	- ไม่สามารถติดตั้งไฟฟ้าต่อไปน้ำ - ไม่สามารถติดตั้งไฟฟ้าต่อไปน้ำ - ต้องติดตั้งไฟฟ้าอย่างถูกต้อง - ต้องติดตั้งไฟฟ้าอย่างถูกต้อง - ต้องติดตั้งไฟฟ้าอย่างถูกต้อง

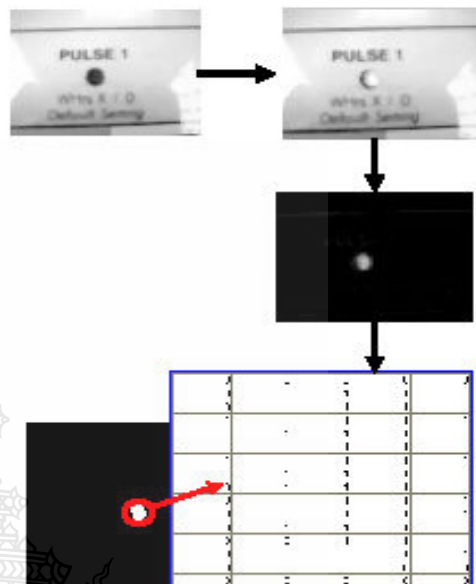


การประชุมวิชาการเครือข่ายพัฒนาแห่งประเทศไทยครั้งที่ 8
วันที่ 2-4 พฤษภาคม พ.ศ. 2555 จังหวัดมหาสารคาม

4. การประยุกต์ใช้เทคโนโลยีประมวลผลภาพ



รูปที่ 2 บล็อกໄodicของกระบวนการประยุกต์ใช้เทคโนโลยีประมวลผลภาพตรวจสอบเครื่องวัดพลังงานไฟฟ้าแบบอิเล็กทรอนิกส์



รูปที่ 4 แสดงการประมวลผลภาพดิจิทัล

จากรูปที่ 3 และ 4 แสดงถึงแผนผังการจับเวลา การทำงานของเครื่องวัดพลังงานไฟฟ้า และการประมวลผลโปรแกรม เมื่อทดสอบ LED กระพริบครั้งที่ 1 โปรแกรมประมวลผลทำการแปลงภาพเป็น ภาพขาวดำ และนับจำนวนพิกเซลที่มีค่าเป็น 1 หากจำนวนพิกเซลมีค่าเป็น 1 เกินค่าที่กำหนด ให้เริ่มทำการจับเวลาพร้อมทั้งทำการวัดค่าพลังงานจากเครื่องวัดมาตรฐาน และจะทำการหยุดจับเวลาพร้อมทั้งหยุดการวัดค่าพลังงาน เมื่อภาพที่ได้มีจำนวนพิกเซลที่มีค่าเป็น 1 เกินค่าที่กำหนดเป็นครั้งที่ 2 จากนั้นนับจำนวนเพริ่มของภาพที่อยู่ระหว่างการจับเวลาจะได้ค่าเวลาที่เครื่องวัดพลังงานไฟฟ้าครบ 1 รอบ จากนั้นจึงนำค่ามาคำนวณและประเมินผลความถูกต้องของเครื่องวัดพลังงานไฟฟ้าด้วยสมการที่ 1 – 3

5. การทดสอบ

5.1 ทดสอบโปรแกรมประมวลผลภาพ



รูปที่ 3 ตัวอย่างเครื่องวัดพลังงานไฟฟ้าแบบอิเล็กทรอนิกส์

5.2 ผลการทดสอบการทำงานของโปรแกรมประมวลผลภาพจากทดสอบ LED 1 เมื่อค่ากำลังไฟฟ้าจริง



การประชุมวิชาการเครือข่ายพัฒนาแห่งประเทศไทยครั้งที่ 8
วันที่ 2-4 พฤษภาคม พ.ศ. 2555 จังหวัดมหาสารคาม

โดยจ่ายไฟลดลงที่ 0.500 kW, วัตค่า 1 รอบ,
1000 Imp/kWh และ Ratio = 1 จะได้ $t = 7.20$ วินาที
จากสมการที่ 2

ตารางที่ 2 เปรียบเทียบค่าผลลัพธ์ในไฟฟ้าที่ได้จากการจับเวลาด้วยนาฬิกากับเทคโนโลยีประมวลผลภายนอก พร้อมทั้งค่าความค่าผลลัพธ์ในไฟฟ้าและค่าเปอร์เซ็นต์ผิดพลาดจากสมการที่ (2) และ (3)

ລົດຕີ	ເມນາຄາ ໃຫຍ່ມານຸ່ງ (ມັງກີ)	ກໍາ ພື້ນຖານ ໄວ້ເກົ່າກັບ ໃຫຍ່ມານຸ່ງ (ມັງກີ)	% ເນັດວຽກ	ເມນາຄີ ໃຫຍ່ມານຸ່ງ ພາກສິດ (ມັງກີ)	ກໍາ ພື້ນຖານ ໄວ້ເກົ່າກັບ ການປັບ ແວດ (ມັງກີ)	% ເນັດວຽກ
1	7.22	0.499	-0.20	7.71	0.467	-6.60
2	7.21	0.499	-0.20	7.04	0.511	+2.20
3	7.19	0.501	+0.20	6.96	0.517	+3.40
4	7.22	0.499	-0.20	6.91	0.521	+4.20
5	7.17	0.502	+0.40	7.71	0.467	-6.60
6	7.18	0.501	+0.20	7.24	0.497	-0.60
7	7.21	0.499	-0.20	7.19	0.501	+0.20
8	7.19	0.501	+0.20	7.37	0.488	-2.40
9	7.20	0.500	0.00	7.05	0.511	+2.20
10	7.21	0.499	-0.20	7.25	0.497	-0.60
ເມື່ອທີ	7.20	0.500	0.00	7.24	0.497	-0.60

6. ข้อเส้นอ่าน

วิธีการนี้ใช้กล้องเวปแคมจับภาพหน้าจอ LED1 ที่แสดงค่ากิกิโลวัตต์เข้ามา ซึ่งค่าความถูกต้องของการประมวลผลภาพจะขึ้นอยู่กับคุณภาพของภาพที่ตรวจจับได้ ค่าเวลาการทํางานของเครื่องวงวัดที่ขึ้นอยู่กับโหลด และคุณสมบัติของกล้อง เช่น ความไวในการรับภาพ (Frame Rate), ความละเอียดและคุณสมบัติต้านการสะท้อนแสง เป็นต้น ซึ่งงานวิจัยนี้สามารถนำไปประยุกต์ใช้กับงานตรวจสอบหรือสอบเทียบเครื่องวงวัดพลังงานไฟฟ้าทั้งแบบเห็นได้ชัดและแบบอิเล็กทรอนิกส์ งานตรวจสอบความเร็วของวัตต์

7. สุรปณา

การประมวลผลค่าพัลส์งานที่ตรวจสอบจากหลอด LED ด้วยวิธีการประมวลผลภาพนั้นสามารถจับเวลาได้ถูกต้องกว่าวิธีการจับเวลาด้วยสายยางจากตารางที่ 2 ผลการทดลองพบว่าการตรวจสอบจับเวลาด้วยสายยางได้ผลการประเมินเบอร์เซ็นต์ความผิดพลาดเกินมาตรฐาน $\pm 2.5\%$ ถึง 4 ครั้ง ทำให้การประเมินผลเครื่องวัดพัลส์งานไฟฟ้าคิดผลลัพธ์ แต่ วิธีการประมวลผลภาพสามารถตรวจสอบเครื่องวัดพัลส์งานไฟฟ้าได้ถูกต้อง ง่าย สะดวก รวดเร็ว เมื่อทราบผลการที่ทำงานของเครื่องวัดพัลส์งานไฟฟ้าที่ถูกต้องแล้ว การเปรียบเทียบกับชุดเครื่องมือวัดพัลส์งานไฟฟ้ามาตรฐานแบบ 3 เพส ที่เวลาเดียวกัน จะทำให้การประเมินผลเครื่องวัดพัลส์งานไฟฟ้าได้ถูกต้อง

8. เอกสารอ้างอิง

- [1] กองนิเวศฯไฟฟ้าการไฟฟ้าส่วนภูมิภาค, " เอกสารการอบรมการตรวจสอบมิเตอร์ "กรุงเทพฯ : การไฟฟ้าส่วนภูมิภาค, 2540
 - [2] Unipower AB, "Verification equipment for electric meters Unipower 3010" Sweden, URL: http://www.eng.unipower.se/default.asp?initid=342&menutree=404.349&toplalinkname=Products&men_ueheading=Products&mainpage=templates/04.asp?sida=268, access on 21/02/2012.
 - [3] สมชาย เมียนสูงเนิน, " ชุดทดสอบค่าความถ้วนเดลลี่ของกิโลวัตต์ชาร์มมิเตอร์โดยใช้การบันทึกภาพวิดีโอที่จำแนก " การประชุมวิชาการทางวิศวกรรมไฟฟ้าครั้งที่ 34 (EECON-34), 2554
 - [4] Forth Corporation Public Co.Ltd, "คู่มือมิเตอร์ TOU ผลิตภัณฑ์ ELSTER A1800",กรุงเทพฯ : การไฟฟ้าส่วนภูมิภาค, 2551

ประวัติผู้เขียน

ชื่อ – สกุล

นายอธิศักดิ์ เหรียญรุ่ง ใจน์

วัน เดือน ปีเกิด

29 มิถุนายน พ.ศ. 2527

ที่อยู่

13 ถนนประชาบารุง ซอย 1 ตำบลสะเดา อำเภอสะเดา จังหวัด
สงขลา 90120

การศึกษา

พ.ศ. 2551

สำเร็จการศึกษาวิศวกรรมศาสตรบัณฑิต สาขาวิชาชีวกรรมไฟฟ้า
มหาวิทยาลัยเทคโนโลยีราชมงคลล้านนา

ประสบการณ์การทำงาน

พ.ศ. 2551 – ปัจจุบัน

วิศวกรประจำแผนกมิเตอร์ การไฟฟ้าส่วนภูมิภาคเมืองพัทฯ

